



(12) BẢN MÔ TẢ SÁNG CHẾ THUỘC BẰNG ĐỘC QUYỀN SÁNG CHẾ  
(19) Cộng hòa xã hội chủ nghĩa Việt Nam (VN) (11)   
CỤC SỞ HỮU TRÍ TUỆ  
  
(51)<sup>2019.01</sup> A61K 39/12; A61K 9/00; C12N 7/00; (13) B  
A61P 31/14; C07K 14/005; A61K 39/00;  
A61K 9/19

1-0042552

- 
- (21) 1-2020-00959 (22) 19/09/2018  
(86) PCT/EP2018/075392 19/09/2018 (87) WO2019/057793 28/03/2019  
(30) 17192374.1 21/09/2017 EP  
(45) 27/01/2025 442 (43) 25/09/2020 390  
(73) VALNEVA SE (FR)  
6 Rue Alain Bombard, Saint-Herblain 44800 Nantes, France  
(72) FRITZER, Andrea (AT); MEINKE, Andreas (AT); LUNDBERG, Urban (AT);  
NEBENFUEHR, Mario (AT); HEINDL-WRUSS, Juergen (AT); SCHLEGL, Robert  
(AT); LEON, Arnaud (FR).  
(74) Công ty Luật TNHH WINCO (WINCO LAW FIRM)
- 
- (54) DƯỢC PHẨM CHỦA CÁC HẠT CHIKV-Δ5NSP3 VÀ QUY TRÌNH SẢN XUẤT  
DƯỢC PHẨM NÀY

(21) 1-2020-00959

(57) Sáng chế đề cập đến dược phẩm chứa các hạt CHIKV-Δ5NSP3 và quy trình sản xuất virut Chikungunya sống đã giảm độc lực gây miễn dịch, cũng như là dược phẩm có chứa chúng.

## Lĩnh vực kỹ thuật được đề cập

Sáng chế đề cập đến quy trình sản xuất virut Chikungunya sống đã giảm độc lực gây miễn dịch, cũng như là dược phẩm có chứa chúng.

### Tình trạng kỹ thuật của sáng chế

Virut Chikungunya (CHIKV) là virut ARN sợi đơn, có nghĩa dương tính từ chi Alphavirus, họ Togaviridae. Bệnh virut Chikungunya chủ yếu là bệnh bùng phát và đi kèm với tỉ lệ tái công cao. Virut được truyền cho người thông qua vật trung gian muỗi và gây ra sốt, phát ban, mệt mỏi và đau đa khớp nghiêm trọng. Sự lây nhiễm CHIKV thường tự tiêu tan và thường không gây tử vong, ngoại trừ trong các trường hợp hiếm gặp bao gồm sự lây nhiễm CNS, mà ở đó tỉ lệ tử vong năm trong khoảng từ 10 đến 30 phần trăm. Đặc biệt có nguy cơ bị bệnh CHIKV CNS là trẻ sơ sinh dưới một năm tuổi và người trưởng thành trên 65 năm tuổi, với tỉ lệ lây nhiễm lần lượt cao gấp 25 lần và 6 lần so với quần thể chung. Tỉ lệ khuyết tật lâu dài ở trẻ em sau khi viêm não CHIKV được ước tính nằm trong khoảng từ 30 đến 45 phần trăm (Gerardin P, et al. Chikungunya virus-associated encephalitis A cohort study on La Réunion Island, 2005–2009 (2016) Neurology 86:1-9). Ngoài ra, khoảng 30 phần trăm trong số tất cả các bệnh nhân Chikungunya chịu đựng đau khớp trong khoảng thời gian từ vài tháng đến vài năm sau khi hồi phục. Trong một số trường hợp, có thể xảy ra các biến chứng ở thần kinh, thận, tim, hô hấp hoặc gan.

Hiện nay không có vắc xin hoặc thuốc săn có để phòng hoặc điều trị bệnh virut Chikungunya. Sự bùng phát trong quá khứ đã xảy ra chủ yếu ở Châu Phi, nhưng kiểu gen Đông-Trung Nam Phi (ECSA) gần đây đã mở rộng phạm vi địa lý, dẫn đến sự bùng phát ở Ấn Độ, Châu Á, và ở cả Châu Âu vùng ôn đới (Weaver, S., Arrival of Chikungunya Virus in the New World: Prospects for Spread and Impact on Public Health (2014) PLOS Neglected Tropical Diseases 8(6):e2921). Mặc dù CHIKV đã nhiều lần xâm nhập vào Châu Mỹ từ năm 1995, sự truyền bản địa không được báo cáo cho đến năm 2013 ở vùng Caribe. Vào năm 2015, dịch bệnh đã lan rộng đến lục địa và gây ra hơn một triệu trường hợp nghi ngờ ở 27 quốc gia Châu Mỹ (Pan-American Health Organization (2015) Number of Cumulative Cases of Chikungunya Fever in the Americas). Các dịch bệnh khác có thể phần nào được hỗ trợ do bởi sự lan rộng vật trung gian muỗi CHIKV vào vùng không có dịch bệnh, cũng như là khả năng CHIKV thích ứng với các loài muỗi địa

phương (Vega-Rua A, *et al.*, Chikungunya Virus Transmission Potential by Local Aedes Mosquitoes in the Americas and Europe (2015) PLOS Neglected Tropical Diseases DOI:10.1371/journal.pntd.0003780). Tốc độ lây nhiễm cao của virut Chikungunya, sự lan rộng địa lý của nó, và tiềm năng đối với các biến chứng lâu dài nhấn mạnh nhu cầu về việc phát triển biện pháp ngăn ngừa, chẳng hạn như vắc xin.

Vắc xin kháng virut Chikungunya có thể có chứa các hạt CHIKV sống đã giảm độc lực; tức là, các hạt CHIKV sống đã được biến đổi để làm giảm độc lực, nhưng vẫn còn duy trì khả năng gây miễn dịch. Một ví dụ về CHIKV đã giảm độc lực chứa đột biến làm khuyết ở protein phi-cấu trúc 3 (CHIKV-Δ5nsP3; xem Fig.2). CHIKV-Δ5nsP3 đã được chứng minh là mang lại sự miễn dịch bảo vệ ở chuột (Hallengärd D, *et al.* Novel attenuated Chikungunya vaccine candidates elicit protective immunity in C57Bl/6 mice (2014) J. Virol. 88:2858-2866) và động vật linh trưởng không phải người (Roques P, *et al.* Attenuated and vectored vaccines protect non-human primates against Chikungunya virus (2017) J. Clin. Invest. Insight 2(6):e83527). Các nghiên cứu *in vivo* sơ bộ ở chuột và động vật linh trưởng không phải người đã được thực hiện với virut CHIKV-Δ5nsP3 được tạo ra trên tế bào BHK-21—loại tế bào thường không được ưa thích để tạo ra vắc xin ở người. Do đó, điều cần thiết là, như được bộc lộ trong bản mô tả này, điều chỉnh sự tạo ra virut CHIKV-Δ5nsP3 thích ứng với nền tảng nuôi cây tế bào phù hợp hơn. Sự thích ứng này không phải là quy trình bình thường; ví dụ, điều đã được chứng minh trong lĩnh vực là sự thích ứng của các virut với tế bào chủ cụ thể có thể dẫn đến sự đột biến làm thay đổi diện tích bề mặt của các hạt virut. Các đột biến thu được này có thể đáp ứng để làm giảm độc lực virut; trên thực tế, sự cấy chuyển liên tiếp đã được sử dụng để phát triển các hạt virut đã giảm độc lực được sử dụng trong nhiều vắc xin kháng virut. Về CHIKV, đã chứng minh được rằng sự truyền *in vitro* lặp lại nhiều lần của virut Chikungunya kiểu đạiẠI gây độc có thể dẫn đến các đột biến điểm nhất định, thu được sự giảm độc lực một phần hoặc hoàn toàn của virut (Gardner CL, *et al.*, Deliberate Attenuation of Chikungunya Virus by Adaptation to Heparan Sulfate-Dependent Infectivity: A Model for Rational Arboviral Vaccine Design (2014) PLOS Neglected Tropical Diseases 8(2): e2719).

Hiện nay đã bắt ngờ phát hiện ra rằng các đột biến điểm nhất định dẫn đến sự mất khả năng gây miễn dịch có thể xảy ra sớm trong quá trình thích ứng chất nền tế bào của CHIKV-Δ5nsP3 đã giảm độc lực, khiến cho sự kiểm soát hoặc sự làm giảm của các đột biến điểm này trở thành sự quan tâm thiết yếu để tạo ra ứng viên vắc xin thành công. Do

đó, sáng chế đề xuất quy trình có các tham số đã được xác định rõ để nhân giống ứng viên vắc xin CHIKV-Δ5nsP3, cho phép tạo ra các hạt virut gây miễn dịch mức độ cao, trong khi đồng thời đạt được hiệu giá sản xuất cao trong môi trường nuôi cấy tế bào phù hợp để ứng dụng trong công nghiệp.

### Bản chất kỹ thuật của sáng chế

Sáng chế đề cập đến dược phẩm có chứa lượng đủ của virut Chikungunya gây miễn dịch để gây ra đáp ứng miễn dịch trung hòa ở đối tượng; tức là, đáp ứng miễn dịch bảo vệ chống lại sự lây nhiễm virut Chikungunya và/hoặc bệnh do virut Chikungunya gây ra. Cụ thể là, sáng chế đề xuất dược phẩm có chứa các hạt CHIKV-Δ5nsP3 sống đã giảm độc lực trong đó tỉ lệ phần trăm của các hạt virut này có đột biến làm giảm-khả năng gây miễn dịch, cụ thể là đột biến làm giảm-khả năng gây miễn dịch ở protein E2, được làm giảm thiểu. Sáng chế còn đề xuất quy trình sản xuất dược phẩm có chứa CHIKV-Δ5nsP3 sống đã giảm độc lực, trong đó quy trình này làm giảm thiểu sự xuất hiện đột biến làm giảm-khả năng gây miễn dịch trong hệ gen virut, cụ thể là đột biến ở E168 của protein E2 ở virut và/hoặc gốc E2 khác và/hoặc các gốc ở các protein CHIKV cấu trúc hoặc phi-cấu trúc khác. Sáng chế đề xuất thêm dược phẩm có chứa virut Chikungunya sống đã giảm độc lực gây miễn dịch có thể thu được bằng quy trình theo sáng chế.

Các nỗ lực để phát triển vắc xin kháng virut Chikungunya hiện nay đang được tiến hành. Một trong số các ứng viên vắc xin tiên tiến nhất cung cấp cấu trúc khám trong nền virut sởi (xem <http://www.themisbio.com/#/news>). Vắc xin, hiện nay trong các thử nghiệm Pha 2, được phân phối ở hai liều lượng (<https://clinicaltrials.gov/ct2/show/NCT02861586?term=themis&recrs=a&rank=2>). Vắc xin một-liều thể hiện ưu điểm rõ rệt trong lĩnh vực.

Theo đó, theo một phương án, mục đích của sáng chế là đề xuất dược phẩm ổn định, đã xác định rõ, an toàn và hữu hiệu chẳng hạn như, ví dụ vắc xin, kháng virut Chikungunya, tốt hơn là vắc xin được cải thiện mang lại sự bảo vệ chỉ với một liều chủng ngừa; tức là, vắc xin được gọi là “một-liều” ở quy mô công nghiệp bằng cách sử dụng các chất nền tế bào thông thường, đề xuất quy trình sản xuất vắc xin ổn định, đã xác định rõ, an toàn và hữu hiệu này và các phương pháp và việc sử dụng vắc xin ổn định, đã xác định rõ an toàn và hữu hiệu này.

## Mô tả văn tắt các hình vẽ

Các hình vẽ kèm theo không được dự định là được vẽ theo tỉ lệ. Các hình vẽ chỉ để minh họa và không cần thiết phải có trong phần bộc lộ. Để cho rõ ràng, không phải mọi thành phần có thể được đánh dấu trên mọi hình vẽ. Trên các hình vẽ này:

Fig.1 Bản đồ của plasmit pMX được sử dụng để lắp ghép đầy đủ hệ gen CHIKV- $\Delta$ 5nsP3 từ các mảnh được tổng hợp. Để lắp ghép đầy đủ trình tự CHIKV- $\Delta$ 5nsP3, plasmit pMX có băng kháng Ampixilin (pMA) được sử dụng. Dãy vật truyền pMX được dựa trên vật truyền tách dòng giống như pUC, nhưng loại bỏ vùng khởi động không cần thiết (an toàn sinh học mức độ 1).

Fig.2 Minh họa bằng sơ đồ về cấu trúc hệ gen CHIKV- $\Delta$ 5nsP3. Hệ gen virut Chikungunya mã hóa hai polyprotein: protein phi-cấu trúc 1-4 (nsP1-4) và protein cấu trúc (C, E3, E2, 6K, E1). So sánh với trình tự hệ gen kiểu đại, trình tự CHIKV- $\Delta$ 5nsP3 chứa sự làm khuyết 183-bp ở phần 3' của trình tự mã hóa nsP3 (từ axit amin 1656 đến 1717 ở polyprotein nsP1-4), dẫn đến sự làm khuyết 60 axit amin ở protein nsP3 replicaza (được chỉ ra bởi  $\Delta$ 60aa). SP, vùng khởi động hệ gen phụ; UTR, vùng không dịch mã. (Hình vẽ này được phỏng theo Hallengärd D, et al., 2014, ở trên.)

Fig.3 Chiến lược tách dòng để lắp ghép hệ gen CHIKV- $\Delta$ 5nsP3 ở pMA. (A) Sơ đồ thiết kế của các mảnh polynucleotit được tổng hợp gồm hệ gen CHIKV- $\Delta$ 5nsP3 đầy đủ. (B) Chiến lược tách dòng để lắp ghép hệ gen CHIKV- $\Delta$ 5nsP3 trong plasmit pMA. 1. Tách dòng mảnh CHIKV- $\Delta$ 5nsP3 2 vào pMA chứa mảnh 1 (mảnh pMA 1) thông qua EcoRI và PacI. 2. Lắp ghép mảnh 4 và mảnh 3 thông qua Clal và PacI. 3. Điều chế mảnh 5 được phân cắt bằng XhoI và PacI trong pMA để lắp ghép đầy đủ cuối cùng. 4. Lắp ghép đầy đủ hệ gen CHIKV- $\Delta$ 5nsP3 trong pMA bằng cách dung hợp các mảnh 3 và 4 được phân cắt bởi AgeI/XhoI và mảnh 5 được phân cắt bởi XhoI/PacI với các mảnh pMA 1 và 2 được tạo mạch thẳng bởi AgeI/PacI. Lắp ghép hệ gen CHIKV- $\Delta$ 5nsP3 chính xác được xác minh thông qua sự giải trình tự Sanger.

Fig.4 Hiệu suất, kích thước mảng và khả năng gây miễn dịch của CHIKV- $\Delta$ 5nsP3 sau khi cấy chuyền ở các tế bào Vero. Virut được cấy chuyền ở ba bản sao song song (A, B và C) bắt đầu từ P0 thông thường (cứu sinh) như được nêu chi tiết trong **Bảng 2**. (A) Hiệu giá virut 24 giờ sau khi lây nhiễm tế bào Vero từ lần cấy chuyền 0 đến lần cấy chuyền 16. Hiệu giá trung bình của ba bản sao (A, B và C) được thể hiện. (B) Hiệu giá

tương đối của P0, P5 và P15 CHIKV- $\Delta$ 5nsP3 như được đánh giá bằng thử nghiệm mảng. Các tế bào Vero được cấy ở mật độ bằng  $4 \times 10^5$  tế bào trên mỗi giếng trong đĩa 6-giếng trong MEM có bổ sung FBS 5%, L-Glutamin 2 mM và Kháng sinh-Kháng nấm 1% (Anti-Anti) và được ủ qua đêm ở nhiệt độ 35°C và CO<sub>2</sub> 5%. Vào ngày tiếp theo, loại bỏ dịch nổi bè mặt môi trường nuôi cấy khỏi các tế bào Vero và dịch pha loãng liên tiếp của CHIKV- $\Delta$ 5nsP3 được bổ sung lên các tế bào. Sau khi ủ trong thời gian 1 giờ ở nhiệt độ 35°C/ CO<sub>2</sub> 5%, bổ sung lớp phủ methylxenluloza có nồng độ cuối cùng bằng 2% và ủ các tế bào thêm 3 ngày ở nhiệt độ 35°C/CO<sub>2</sub> 5%. Cuối cùng, các mảng được để sau khi nhuộm tím tinh thể (tím tinh thể 0,5% trong formaldehyt 5%) để đánh giá hiệu giá virut (pfu/ml) và hình thái mảng. (C) Khả năng gây miễn dịch của P0, P5B, P8B và P15C CHIKV- $\Delta$ 5nsP3 như được đánh giá bằng cách trung hòa CHIKV- $\Delta$ 5nsP3 (P0) trong PRNT trên các tế bào Vero. Các tế bào Vero được cấy trong đĩa 12-giếng ở mật độ bằng  $3 \times 10^5$  và được ủ qua đêm ở nhiệt độ 35°C/ CO<sub>2</sub> 5%. Nhóm gồm năm con chuột C57Bl/6 được gây miễn dịch một lần dưới da với liều lượng bằng  $10^5$  TCID<sub>50</sub> của sự cấy chuyển CHIKV- $\Delta$ 5nsP3 tương ứng. CHIKV- $\Delta$ 5nsP3 ở P0 (cứu sinh virut), cũng bằng  $10^5$  TCID<sub>50</sub>, được sử dụng làm đối chứng dương. Tập hợp huyết thanh ngày 21 tại dịch pha loãng liên tiếp 4-lần nằm trong khoảng từ 1:20 đến 1:327.680 được trộn với 560 pfu/ml CHIKV- $\Delta$ 5nsP3 (ở P0) và được ủ trong thời gian một giờ. CHIKV- $\Delta$ 5nsP3 /hỗn hợp trung hòa sau đó được bổ sung vào tế bào Vero và các đĩa được ủ trong thời gian 2 giờ ở nhiệt độ 35°C/ CO<sub>2</sub> 5%. Sau bước này là lớp phủ methylxenluloza 2% và các đĩa được ủ trong thời gian ~60 giờ ở nhiệt độ 35°C/ CO<sub>2</sub> 5%. Sau khi loại bỏ lớp phủ, nhuộm tế bào bằng tím tinh thể/formaldehyt 5% và đểm các mảng.

Fig.5 Ảnh hưởng của MOI được kiểm soát (0,01) trong quá trình cấy chuyển CHIKV- $\Delta$ 5nsP3 lên khả năng gây miễn dịch. (A) Minh họa bằng sơ đồ về việc cấy chuyển CHIKV- $\Delta$ 5nsP3 lên các tế bào Vero trong các điều kiện không được kiểm soát và được kiểm soát. CHIKV- $\Delta$ 5nsP3 P0 được cấy chuyển lên các tế bào Vero đến P3B trong các điều kiện không được kiểm soát với MOI thay đổi (như được phác họa trong **Bảng 2**; Bản sao B). Bằng cách sử dụng P3B làm nguyên liệu bắt đầu, quy trình lây nhiễm được kiểm soát được tiến hành cùng với tất cả các lây nhiễm sau đó tại MOI đã xác định bằng 0,01 để tạo ra một cấy chuyển P4, hai cấy chuyển P5 và một cấy chuyển P6 để phân tích khả năng gây miễn dịch ở chuột. (B) Khả năng gây miễn dịch của P0 (○), P2B (□), P5#1 (●), P5#2 (◆), P6 (■) và P15 (Δ) CHIKV- $\Delta$ 5nsP3 như được đánh giá bằng cách trung hòa CHIKV- $\Delta$ 5nsP3 (P2) trong PRNT trên tế bào Vero. Nhóm gồm mười con chuột C57Bl/6 được gây miễn dịch dưới da với liều lượng đơn lẻ của chế phẩm CHIKV- $\Delta$ 5nsP3 tương

ứng ở liều lượng được dự định bằng  $10^5$  TCID<sub>50</sub> và vào ngày 21 sau khi gây miễn dịch, huyết thanh đã được tập hợp được đánh giá về khả năng trung hòa CHIKV-Δ5nsP3 (560 pfu/ml) tại dịch pha loãng liên tiếp 4-lần nằm trong khoảng từ 1:20 đến 1:327.680 như được mô tả đối với Fig.4.

Fig.6 Khả năng gây miễn dịch và tính không đồng nhất về hệ gen được quan sát thấy của các thể phân lập mảng đơn lẻ của CHIKV-Δ5nsP3 từ P5B và P8B. Hai mẻ thu cứu sinh virut CHIKV-Δ5nsP3 (4399gr1 P0 (#1) và 4415gr1 P0 (#2)) và mẻ thu P15 CHIKV-Δ5nsP3 (P15C-DS) lần lượt có vai trò làm đối chứng gây miễn dịch và đối chứng không gây miễn dịch. (A) Khả năng gây miễn dịch của các thể phân lập mảng đơn lẻ CHIKV-Δ5nsP3 P5B-11, P5B-03 và P8B-05 như được đánh giá bằng cách trung hòa CHIKV-Δ5nsP3 (P2) trong PRNT trên tế bào Vero. Nhóm gồm mười con chuột C57Bl/6 được gây miễn dịch dưới da với liều lượng đơn lẻ của thể phân lập CHIKV-Δ5nsP3 tương ứng ở các liều lượng TCID<sub>50</sub> được chỉ ra và vào ngày 19 sau khi gây miễn dịch, huyết thanh đã được tập hợp được đánh giá về khả năng trung hòa CHIKV-Δ5nsP3 (560 pfu/ml) tại dịch pha loãng liên tiếp 4-lần nằm trong khoảng từ 1:20 đến 1:327.680 như được mô tả đối với Fig.4. (B) Hệ gen dưới dạng sơ đồ của các thể phân lập mảng đơn lẻ CHIKV-Δ5nsP3 P5B-11, P5B-03 và P8B-05 bắt nguồn từ sự giải trình tự Sanger gồm hệ gen CHIKV-Δ5nsP3 đầy đủ có đột biến điểm đã xác định được chỉ ra. (C) Khả năng gây miễn dịch của các thể phân lập mảng đơn lẻ CHIKV-Δ5nsP3 khác P5B-02, P5B-04, P5B-07 và P8B-01 được đánh giá như ở (A). (D) Hệ gen dưới dạng sơ đồ của các thể phân lập mảng đơn lẻ CHIKV-Δ5nsP3 P5B-02, P8B-01, P5B-04 và P5B-07 bắt nguồn từ sự giải trình tự Sanger gồm hệ gen CHIKV-Δ5nsP3 đầy đủ có đột biến điểm đã xác định được chỉ ra.

Fig.7 Sắc ký đồ từ sự giải trình tự Sanger của CHIKV-Δ5nsP3 ở cây chuyền 0 (P0) và bốn mẫu CHIKV-Δ5nsP3 được tạo ra độc lập ở cây chuyền 3 (P3 Ví dụ 1-4), biểu lộ tính không đồng nhất E168K và E247K ở protein E2 phát sinh ở cây chuyền 3. Bốn mẫu CHIKV-Δ5nsP3 được tạo ra độc lập ở P3 (P3 Ví dụ 1-4) tất cả đều bắt nguồn từ cùng MVSB (P1). Các vùng được thể hiện gồm các vùng ở hệ gen mã hóa các axit amin 168 và 247 của protein E2 và được giải trình tự bằng cặp mồi 16 và 17 như được chỉ ra. (Đối với các trình tự mồi, xem **Bảng 1**). Để so sánh, sắc ký đồ giải trình tự của CHIKV-Δ5nsP3 ở cây chuyền 0 (P0) được thể hiện. Các vị trí có tính không đồng nhất trình tự được chỉ ra bởi các khung.

Fig.8 Giải trình tự thể hệ kế tiếp (NGS) của Ngân Hàng Giống Virut Trưởng Thành (P1) và hai chế phẩm CHIKV-Δ5nsP3 cây chuyền ba (P3) được tạo ra độc lập: (A) P1-MVSB; (B) P3-Ví dụ 3; (C) P3-Ví dụ 4. Mức nền của tính không đồng nhất về hệ gen được đặt bằng 15% như được chỉ ra bởi đường chấm chấm. Tính không đồng nhất thường xảy ra hơn phát sinh lúc cây chuyền 3 bao gồm đột biến điểm ở các vị trí axit nucleic hệ gen 8882 và 9119, lần lượt tương ứng với các đột biến E168K và E247K, ở protein E2 như được chỉ ra ở (B) và (C).

Fig.9 Sơ định vị các vị trí axit amin có tính không đồng nhất được quan sát thấy thường xuyên (G55R, G82R, E168K và E247K) ở glycoprotein E2 được đánh dấu trên các vị trí tương đương trên cấu trúc EM-lạnh sâu của CHIKV VLP của chủng Senegal 37997 (PDB 3J2W; Sun S, et al., Structural analyses at pseudo atomic resolution of Chikungunya virus and antibodies show mechanisms of neutralization (2013) eLife 2:e00435. DOI: 10.7554/eLife.00435). G55R được chỉ ra bởi hình vuông, G82R được chỉ ra bởi hình tròn, E168K được chỉ ra bởi hình tam giác và E247K được chỉ ra bởi hình sao. Các hình vẽ thể hiện protein CHIKV bằng ô-đơn vị khi chúng được lắp ghép ở màng virut, được cấu thành bởi bốn bản sao của các đime E1/E2 với phần xuyên màng (TM) được chỉ ra bởi dấu ngoặc, và protein capsit (C) ở mặt trong (dưới) của màng. Ba tổ hợp E1/E2/capsit cấu thành gai-q3 dạng trime gần trục 5-nếp cuộn gấp và tổ hợp thứ tư là một trong ba yếu tố của gai-i3 tại trục 3-nếp cuộn gấp, tất cả đều hiển thị bề mặt và được quan sát từ ba góc khác nhau: (A) hình chiếu cạnh ô-đơn vị CHIKV; điểm nhìn ở trên mặt phẳng màng. (B) hình chiếu cạnh ô-đơn vị CHIKV; điểm nhìn ở dưới mặt phẳng màng (C) ô-đơn vị CHIKV, hình chiếu bằng.

Fig.10 Nhóm để gây miễn dịch dưới da của chuột C57Bl/6 bằng các chế phẩm virut có các tỉ lệ P3:P5B-07 (E168K) khác nhau để xác định ngưỡng mà tại đó sự có mặt của đột biến điểm E168K dẫn đến sự mất khả năng gây miễn dịch CHIKV-Δ5nsP3 ở liều lượng bằng xấp xỉ  $3 \times 10^4$  TCID<sub>50</sub>. Tỉ lệ tạo chế phẩm của P3 và P5B-07 (thể đột biến E168K) đối với các nhóm 1, 3 và 5 lần lượt là 1:0,1, 1:1 và 1:10, với liều lượng được dự định bằng  $3 \times 10^4$  TCID<sub>50</sub>. Ngoài ra, nhóm 6 và nhóm 7 lần lượt thể hiện P3 một mình và P5B-07 (E168K) một mình. Trình tự tham chiếu (kiểu đại) ở vị trí không đồng nhất (tương ứng với nucleotit 8882) là G và phụ thuộc vào tỉ lệ là 1:0,1, 1:1 hoặc 1:10, sự chuyển đổi hướng về nucleotit A, tức là, từ G>A đến G=A hoặc G<A, căn cứ theo sắc ký đồ giải trình tự. Quần thể virut P3 hiển thị ~ 20% thể đột biến E168K. Quần thể virut P5B-07 (E168K) không thể hiện tính không đồng nhất (tức là, ~100% chứa đột biến E168K protein E2).

Fig.11 Ảnh hưởng lên khả năng gây miễn dịch của các tỉ lệ CHIKV-Δ5nsP3 P3 đối với thể đột biến-E168K khác nhau được đánh giá bằng thử nghiệm trung hòa dựa trên VRP. Các huyết thanh chuột đơn lẻ được tạo ra bằng cách gây miễn dịch dưới da của chuột C57Bl/6 với liều lượng được dự định bằng  $3 \times 10^4$  TCID<sub>50</sub> của CHIKV-Δ5nsP3 P3:E168K ở các tỉ lệ 1:0,1, 1:1 và 1:10 như được phác họa trong Fig.10. Các huyết thanh đơn lẻ ngày 21 được phân tích về sự trung hòa của hạt sao chép virut (VRP) LR-CHIKV bằng cách sử dụng thử nghiệm Luxiferaza dựa trên tế bào BHK-21. VRP lắp ráp capsit hiển thị CHIKV kiểu đại không có-sự sao chép và protein vỏ của virut kiểu đại LR2006-OYPY1. Tóm lại,  $2 \times 10^4$  tế bào BHK-21 được cấy trong đĩa 96-giếng và được ủ qua đêm ở nhiệt độ 35°C/ CO<sub>2</sub> 5%. VRP CHIKV-Δ5nsP3 được ủ với dịch pha loãng liên tiếp (bắt đầu từ 1:20 đến 1:312.500) của huyết thanh chuột trong thời gian 1 giờ ở nhiệt độ 35°C. Hỗn hợp VRP CHIKV /huyết thanh được bơm sung vào tế bào BHK-21 tại MOI bằng 5 và được ủ trong thời gian 1 giờ ở nhiệt độ 35°C/CO<sub>2</sub> 5%. Rửa tế bào và bơm sung môi trường

mới. Đo hoạt tính luxiferaza trong dịch nồi bè mặt 24 giờ sau khi lây nhiễm bằng cách sử dụng Hệ Thống Thủ Nghiêm Luxiferaza Renilla (Promega). Đôi chứng dương P-MVSB (○), đôi chứng âm P5B-07 (E168K) (□) và các huyết thanh chuột riêng lẻ được gây miễn dịch với tỉ lệ P3:E168K tương ứng (hình tròn đặc). **(A)** Khả năng gây miễn dịch của CHIKV- $\Delta$ 5nsP3 P3:E168K ở tỉ lệ bằng 1:0,1 (Nhóm 1). **(B)** Khả năng gây miễn dịch của CHIKV- $\Delta$ 5nsP3 P3:E168K ở tỉ lệ bằng 1:1 (Nhóm 3). **(C)** Khả năng gây miễn dịch của CHIKV- $\Delta$ 5nsP3 P3:E168K ở tỉ lệ bằng 1:10 (Nhóm 5). **(D)** Tổng kết các kết quả khả năng gây miễn dịch được thể hiện ở A, B, và C: gây miễn dịch mạnh (++ dương tính), gây miễn dịch thấp (+dương tính thấp) và âm tính (-) khi so với P3.

Fig.12 Dòng nuôi cấy tế bào Vero từ khi rã đông đến khi lây nhiễm bằng **CHIKV- $\Delta$ 5nsP3** trong các chai hình ống lăn 850 cm<sup>2</sup>. P: Cây chuyền, M: Triệu, T75: Bình thót cỗ-T 75 cm<sup>2</sup>, T175: Bình thót cỗ-T 175 cm<sup>2</sup>, RB850: Chai Hình Ống Lăn CellBIND 850cm<sup>2</sup>.

Fig.13 Ảnh hưởng lên hiệu giá virut của nhiệt độ sinh trưởng tế bào, bội số lây nhiễm và thời gian lây nhiễm sau cây trong quá trình sản xuất CHIKV- $\Delta$ 5nsP3 ở tế bào Vero. Các tế bào Vero được mở rộng ở nhiệt độ 35°C trong MEM, glutamin 2 mM và FBS 10% và được cây trong các chai hình ống lăn 850 cm<sup>2</sup> để lây nhiễm tế bào. Để tạo ra virut, các nhiệt độ khác nhau (37°C, 35°C, 28°C), các MOI (0,1; 0,01; 0,001 TCID<sub>50</sub>/tế bào) và thời gian lây nhiễm tế bào sau khi cây tế bào Vero trong các ngày (D2, D4, D5) được thử nghiệm trong môi trường nuôi cấy thiếu FBS. Đã chứng minh được rằng sản lượng virut đo được trên tế bào Vero theo phương pháp Reed & Muench và được biểu diễn theo TCID<sub>50</sub>/ml. **(A)** 37°C; **(B)** 35°C; **(C)** 28°C.

Fig.14 Tổng sản lượng virut CHIKV- $\Delta$ 5nsP3 từ mỗi điều kiện được mô tả trong Fig.13.

Fig.15 Hiệu giá virut CHIKV- $\Delta$ 5nsP3 tối đa: Mô hình bậc hai bè mặt đáp ứng. **(A)** Phân tích ANOVA của mô hình. Hàng màu xám: số hạng mô hình có ý nghĩa (Prob(F) < 0,05; các giá trị lớn hơn 0,1 biểu thị số hạng mô hình không có ý nghĩa). **(B)** Biểu Đồ Đường Quanh của mô hình.

Fig.16 Độ ổn định virut CHIKV- $\Delta$ 5nsP3: Mô hình bậc hai bè mặt đáp ứng. **(A)** Phân tích ANOVA của mô hình. Hàng màu xám: số hạng mô hình có ý nghĩa (Prob(F) < 0,05; các giá trị lớn hơn 0,1 biểu thị số hạng mô hình không có ý nghĩa). **(B)** Biểu Đồ Đường Quanh của mô hình.

Fig.17 Tính không đồng nhất của protein virut E2 CHIKV- $\Delta$ 5nsP3 ở các vị trí axit nucleic hệ gen 8882, 9112 và 9649, lần lượt tương ứng với các axit amin E2 168, 247 và 423: Phân tích mô hình từ các mẻ thu mẫu CHIKV- $\Delta$ 5nsP3 Ngày 2. **(A)** Phân tích ANOVA của mô hình. Hàng màu xám: số hạng mô hình có ý nghĩa (Prob(F) < 0,05). **(B)** Biểu Đồ Đường Quanh của mô hình.

Fig.18 Tính không đồng nhất của protein virut E2 CHIKV- $\Delta$ 5nsP3 ở các vị trí axit nucleic hệ gen 8882, 9112 và 9649; lần lượt tương ứng với các axit amin E2 168, 247 và 423: Phân tích mô hình từ các mẻ thu mẫu CHIKV- $\Delta$ 5nsP3 Ngày 2 và Ngày 5 (28°C).

(A) Phân tích ANOVA của mô hình. Hàng màu xám: số hạng mô hình có ý nghĩa ( $\text{Prob}(F) < 0,05$ ). (B) Biểu Đồ Đường Quanh của mô hình.

### Mô tả chi tiết sáng chế

Trong quá trình công nghiệp hóa của ứng viên vắc xin virut đã giảm độc lực CHIKV- $\Delta 5\text{nsP}3$ , đã quan sát thấy rằng sự cấy chuyển virut trên tế bào Vero dẫn đến hiệu giá virut cao hơn cùng với sự cấy chuyển tăng; tuy nhiên, sự tăng đồng thời về tính không đồng nhất trình tự của hệ gen virut CHIKV- $\Delta 5\text{nsP}3$  cũng được quan sát thấy. Đột biến điểm nhất định phát sinh trong quá trình cấy chuyển trên tế bào Vero được phát hiện có thể tái sinh từ mẻ này sang mẻ khác và đã xuất hiện ở các cấy chuyển sớm trên chất nền tế bào mới. Bất ngờ quan sát thấy rằng một số đột biến trong số các đột biến này có liên quan đến sự mất hoặc giảm đáng kể trong việc trung hòa khả năng gây miễn dịch do virut CHIKV- $\Delta 5\text{nsP}3$  mang lại. Các đột biến có thể tái sinh khác không làm giảm khả năng gây miễn dịch và/hoặc hoạt động như là đột biến “cứu sinh” đối với đột biến làm giảm-khả năng gây miễn dịch. Sự tương quan giữa bội số lây nhiễm (“MOI”) thấp và sự tạo ra của tính không đồng nhất trình tự tăng ở CHIKV- $\Delta 5\text{nsP}3$  đã được xác định; tuy nhiên, bởi vì cần có nguồn virut đơn lẻ qua vài năm sản xuất, các MOI cao thường không khả thi để sử dụng trong công nghiệp. Do đó không rõ là ở khởi đầu liệu điều kiện nuôi cấy có cho phép tạo ra các hạt CHIKV- $\Delta 5\text{nsP}3$  gây miễn dịch với sản lượng sản xuất đủ để sự sản xuất có thể tái tạo và đảm bảo có thể được phát hiện (vấn đề của sáng chế).

Sáng chế đề xuất trong bản mô tả này phương pháp kiểm soát và làm giảm thiểu đột biến làm giảm-khả năng gây miễn dịch được quan sát thấy ở đây trong khi vẫn cho phép sản lượng sản xuất cao. Cũng được đề xuất trong bản mô tả này là được phẩm có chứa lượng hữu hiệu của virut Chikungunya gây miễn dịch với lượng dư của biến thể không gây miễn dịch của virut Chikungunya. Theo phương án được ưu tiên, được phẩm được tạo ra bằng cách sử dụng MOI thấp chẳng hạn như MOI nhỏ hơn 0,1, ví dụ 0,01 hoặc 0,001, nhưng được tạo ra trong các điều kiện được kiểm soát (ví dụ, số lượng cấy chuyển giảm sau khi cứu sinh, nhiệt độ được tối ưu hóa và hợp lưu tế bào chủ) để làm giảm thiểu lượng của (các) biến thể không gây miễn dịch của virut Chikungunya như được mô tả trong bản mô tả này. Theo một số phương án, hạt virut là virut sống, virut khâm, virut sống đã giảm độc lực, virut sống cải biến, hoặc virut sống tái tổ hợp. Theo một phương án, các hạt virut theo sáng chế có thể tùy ý bị bất hoạt. Theo một số phương án, hạt virut là dạng đã giảm độc lực của hạt virut. Ví dụ, virut có thể có khả năng lây

nhiễm, tính gây độc, và/hoặc sự sao chép giảm ở vật chủ, khi so sánh với virut kiếu dại. Theo một số phương án, virut là virut đã đột biến hoặc cải biến, ví dụ axit nucleic của virut có thể chứa ít nhất là một đột biến tương quan với virut kiếu dại, chẳng hạn như sự thay đổi hoặc sự làm khuyết. Theo một số phương án, virut là virut sống tái tổ hợp, có nghĩa là virut được tạo ra bằng cách tái tổ hợp và có thể chứa trình tự axit nucleic từ các nguồn khác nhau. Theo một số khía cạnh, virut Chikungunya kiếu dại bị bất hoạt. Theo phương án được ưu tiên, virut bị bất hoạt bằng formaldehyde.

Theo một phương án, virut Chikungunya gây miễn dịch là virut sống đã giảm độc lực. Theo phương án được ưu tiên, virut Chikungunya sống đã giảm độc lực là CHIKV- $\Delta$ 5nsP3 bảo vệ như được mô tả bởi Hallengärd D, *et al.* (*ở trên*), được đề cập trong bản mô tả này dưới dạng CHIKV- $\Delta$ 5nsP3 và được xác định bởi trình tự axit nucleic trong SEQ ID NO: 1. Tóm lại, hệ gen CHIKV kiếu dại mang hệ gen ARN sơ đơn có nghĩa dương tính có kích thước là 11 kb chứa hai khung đọc mở lân lượt mã hóa các protein phi cấu trúc (từ nsP1 đến nsP4) và protein cấu trúc (C, E3, E2, 6K, và E1). Virut CHIK đã giảm độc lực, CHIKV- $\Delta$ 5nsP3, dựa trên chủng CHIKV La Reunion LR2006-OPY1, được tạo cấu trúc bằng cách thay thế các gốc axit amin từ 1656 đến 1717 của polyprotein P1234 bằng cầu nối nhỏ (trình tự AA AYRAAAAG) ở vùng siêu biến của protein nsP3 (xem Fig.2). CHIKV- $\Delta$ 5nsP3 đã cho thấy rằng có tính lây nhiễm, gây miễn dịch và bảo vệ mạnh chống lại thách thức của CHIKV kiếu dại (Hallengärd D, *et al.*, *ở trên* và Hallengärd D, *et al.*, Prime-Boost Immunization Strategies against Chikungunya Virus (2014) J. Virology, 88(22):13333-13343, và Roques P, *et al.* 2017, *ở trên*). Theo một phương án, virut Chikungunya sống đã giảm độc lực có thể là biến thể của virut đột biến đã giảm độc lực CHIKV- $\Delta$ 5nsP3. Theo phương án được ưu tiên, virut Chikungunya sống đã giảm độc lực như được đề xuất trong bản mô tả này có chứa CHIKV- $\Delta$ 5nsP3 khi được mã hóa bởi trình tự axit nucleic được xác định bởi SEQ ID NO: 1. Như được sử dụng trong bản mô tả này, thuật ngữ “CHIKV- $\Delta$ 5nsP3” được sử dụng thay thế lẫn nhau với “virut CHIKV- $\Delta$ 5nsP3”, “hạt CHIKV- $\Delta$ 5nsP3”, “hạt virut CHIKV- $\Delta$ 5nsP3” hoặc các phiên bản số nhiều của chúng.

Sáng chế đề xuất trong bản mô tả này được phẩm có chứa lượng hữu hiệu của CHIKV- $\Delta$ 5nsP3. Theo một khía cạnh, lượng hữu hiệu của virut CHIKV- $\Delta$ 5nsP3 gây miễn dịch được xác định là lượng đủ để gây ra kháng thể trung hòa đối với virut Chikungunya. Theo khía cạnh khác, lượng hữu hiệu của virut CHIKV- $\Delta$ 5nsP3 gây miễn

dịch được xác định là lượng gây ra đáp ứng miễn dịch ở đối tượng được chủng ngừa mang lại sự miễn dịch bảo vệ chống lại sự lây nhiễm virut Chikungunya. Theo khía cạnh được ưu tiên, lượng hữu hiệu của CHIKV-Δ5nsP3 được xác định là ít nhất  $10^2$ , ít nhất  $10^3$ , ít nhất  $10^4$ , ít nhất  $10^5$ , ít nhất  $10^6$ , tốt hơn là ít nhất  $10^3$  hạt CHIKV-Δ5nsP3 gây miễn dịch. Theo một khía cạnh, hạt CHIKV-Δ5nsP3 ☐gây miễn dịch được xác định là hạt CHIKV-Δ5nsP3 mà biểu hiện protein cấu trúc E2 như được xác định bởi trình tự polypeptit trong SEQ ID NO: 2. Theo một khía cạnh, protein cấu trúc E2 chứa một hoặc nhiều đột biến điểm mà không ảnh hưởng đến khả năng gây miễn dịch của virut, tức là, không làm giảm khả năng gây miễn dịch. Theo một phương án, đột biến điểm không ảnh hưởng đến khả năng gây miễn dịch của virut có thể là ở các axit amin 232 và/hoặc 247 của protein E2, chẳng hạn như H232Y và/hoặc E247K. Theo một phương án, protein cấu trúc E2 của CHIKV-Δ5nsP3 chứa không nhiều hơn khoảng mười đột biến điểm. Theo một phương án, protein cấu trúc E2 của CHIKV-Δ5nsP3 chứa không nhiều hơn 9, 8, 7, 6, 5 hoặc 4 đột biến điểm. Theo phương án được ưu tiên, protein cấu trúc E2 của CHIKV-Δ5nsP3 chứa ba hoặc ít hơn ba đột biến điểm, tốt nhất là chỉ một hoặc hai đột biến điểm.

Như được xác định trong bản mô tả này, CHIKV-Δ5nsP3 gây miễn dịch là CHIKV-Δ5nsP3 mà có khả năng kích thích đáp ứng miễn dịch hữu hiệu *in vivo* khi được phân phối ví dụ ở liều lượng bằng khoảng  $3 \times 10^4$  TCID<sub>50</sub>, tức là, đáp ứng miễn dịch mà ở đó kháng thể trung hòa được tạo ra đủ để làm giảm hoặc ngăn ngừa các dấu hiệu hoặc triệu chứng của bệnh virut Chikungunya. Theo phương án được ưu tiên, CHIKV-Δ5nsP3 gây miễn dịch như được xác định trong bản mô tả này là CHIKV-Δ5nsP3 biểu hiện protein cấu trúc E2 theo trình tự axit amin được cung cấp bởi SEQ ID NO: 2. Theo phương án được ưu tiên khác, CHIKV-Δ5nsP3 gây miễn dịch như được xác định trong bản mô tả này được xác định bởi trình tự polynucleotit theo SEQ ID NO: 1. Theo định nghĩa thay thế hoặc bổ sung, CHIKV-Δ5nsP3 gây miễn dịch theo sáng chế này kích thích tạo ra kháng thể có khả năng trung hòa ở đối tượng được gây miễn dịch, tức là, sự trung hòa virut Chikungunya trong thử nghiệm *in vitro* bằng ít nhất 50%, tốt hơn là ít nhất 60%, tốt hơn là ít nhất 70%, tốt hơn nữa là ít nhất 80%, thậm chí tốt hơn nữa là ít nhất 90%, tốt nhất là ít nhất 95% tại dịch pha loãng huyết thanh 1:80 hoặc cao hơn.

Như được xác định trong bản mô tả này, CHIKV-Δ5nsP3 không gây miễn dịch là CHIKV-Δ5nsP3 gây ra hàm lượng của kháng thể trung hòa ở đối tượng được chủng ngừa không đủ để ngăn ngừa các dấu hiệu hoặc triệu chứng của bệnh virut Chikungunya. Theo

phương án được ưu tiên, CHIKV-Δ5nsP3 không gây miễn dịch là CHIKV-Δ5nsP3 biểu hiện protein cấu trúc E2 có ít nhất là một sự thay đổi axit amin, đặc biệt là sự thay đổi axit amin ở protein cấu trúc E2, đặc biệt là sự thay đổi E168K và/hoặc G55R, cụ thể là sự thay đổi E168K. CHIKV-Δ5nsP3 không gây miễn dịch còn được xác định là gây ra kháng thể ở đối tượng được gây miễn dịch mà không hiện khả năng kém để trung hòa sự lây nhiễm tế bào bằng virut Chikungunya (kiểu đại hoặc đã giảm độc lực) trong thử nghiệm *in vitro*. Cụ thể là, CHIKV-Δ5nsP3 không gây miễn dịch được xác định là gây ra hàm lượng của kháng thể trung hòa ở đối tượng được gây miễn dịch mà tạo ra ít hơn 60%, ít hơn 50%, ít hơn 40%, ít hơn 30%, ít hơn 20%, đặc biệt là ít hơn 10%, sự trung hòa virut Chikungunya trong thử nghiệm trung hòa *in vitro* tại dịch pha loãng huyết thanh 1:80 hoặc cao hơn.

Theo khía cạnh khác, lượng hữu hiệu của CHIKV-Δ5nsP3 được xác định là lượng đủ để gây ra kháng thể trung hòa kháng virut Chikungunya kiểu đại. Theo một khía cạnh, dược phẩm là dược phẩm hai-liều. Theo khía cạnh được ưu tiên, dược phẩm là dược phẩm một-liều. Theo khía cạnh được ưu tiên, dược phẩm có chứa ít nhất  $10^2$ , ít nhất  $10^3$ , ít nhất  $10^4$ , ít nhất  $10^5$ , ít nhất  $10^6$ , tốt hơn là trong khoảng từ khoảng  $10^3$  đến  $10^5$  hạt virut CHIKV-Δ5nsP3 tổng số, đặc biệt là khoảng  $10^3$  hoặc  $10^4$  CHIKV-Δ5nsP3 bao gồm toàn bộ tập hợp của các hạt có hoặc không có đột biến điểm, đặc biệt là đột biến điểm làm giảm-khả năng gây miễn dịch. Theo khía cạnh được ưu tiên, dược phẩm có chứa lượng có thể phát hiện của CHIKV-Δ5nsP3 không gây miễn dịch như được xác định trong bản mô tả này; tốt hơn là CHIKV-Δ5nsP3 không gây miễn dịch có ít nhất là một đột biến điểm so với protein E2 kiểu đại như được xác định bởi SEQ ID NO: 2.

Theo phương án được ưu tiên, dược phẩm có chứa CHIKV-Δ5nsP3 và có chứa lượng tăng của (các) biến thể không gây miễn dịch của CHIKV-Δ5nsP3, ví dụ so với hợp phần vắc xin có chứa CHIKV-Δ5nsP3 được tạo ra trong tế bào BHK-21 như được sử dụng trong các nghiên cứu ở chuột được mô tả trong tài liệu Hallengärd D, *et al.* 2014, ở trên, nhưng vẫn có chứa các hạt gây miễn dịch của CHIKV-Δ5nsP3 đủ để tạo ra sự miễn dịch bảo vệ ở đối tượng được chủng ngừa. Ví dụ, dược phẩm có thể có chứa (i) CHIKV-Δ5nsP3 biểu hiện protein cấu trúc E2 như được xác định bởi trình tự polypeptit trong SEQ ID NO: 2 ở lượng đủ để tạo ra sự miễn dịch bảo vệ ở đối tượng được chủng ngừa; (ii) lượng tăng của CHIKV-Δ5nsP3 có ít nhất một đột biến ở protein cấu trúc E2 này, ví dụ so với hợp phần vắc xin có chứa CHIKV-Δ5nsP3 được tạo ra trong BHK-21 như được

sử dụng trong các nghiên cứu ở chuột được mô tả trong tài liệu Hallengärd D, *et al.* 2014, *ở trên*; và (iii) tùy ý là tá dược được dùng.

Đã chứng minh được trong bản mô tả này rằng sự tạo ra CHIKV-Δ5nsP3 bằng cách cấy chuyển liên tiếp năm hoặc hơn năm lần ở các tế bào Vero dẫn đến mức độ không đồng nhất trình tự cao, cụ thể là ở protein cấu trúc E2 (xem ví dụ Ví dụ 2 dưới đây). Ví dụ, các đột biến E168K và/hoặc G55R của protein E2 thường xuất hiện lúc cấy chuyển 5 (xem ví dụ **Bảng 3** dưới đây), và cả hai đều có liên quan đến sự giảm khả năng gây miễn dịch. Theo đó, sự tạo ra CHIKV-Δ5nsP3 bằng cách sử dụng năm hoặc hơn năm lần cấy chuyển ở các tế bào Vero như được mô tả trong tài liệu Hallengärd D, *et al.* 2014 *ở trên* có thể dẫn đến một cách bất lợi hàm lượng cao của thể đột biến không gây miễn dịch của CHIKV-Δ5nsP3 (chẳng hạn như E168K[E2]) trong hợp phần vắc xin. Ngược lại, đã chứng minh được dưới đây rằng tính không đồng nhất trình tự ở protein cấu trúc E2 sau ít hơn năm lần cấy chuyển là thấp hơn nhiều (xem ví dụ Ví dụ 3 - mặc dù đột biến E168K có mặt sau ba lần cấy chuyển, tần suất của nó chỉ là 18%).

Theo đó, theo một khía cạnh dược phẩm có chứa (i) CHIKV-Δ5nsP3; và (ii) tùy ý là tá dược được dùng; trong đó ít nhất 30% hạt CHIKV-Δ5nsP3 có mặt trong dược phẩm biểu hiện protein cấu trúc E2 như được xác định bởi trình tự polypeptit trong SEQ ID NO: 2. Theo phương án này, ít nhất 30% hạt CHIKV-Δ5nsP3 là các thể không đột biến đối với protein cấu trúc E2, tức là biểu hiện protein cấu trúc E2 trong SEQ ID NO: 2. Nói cách khác, tần suất của sự không đồng nhất trình tự (tức là hạt CHIKV-Δ5nsP3 đột biến biểu hiện ít nhất là một đột biến ở protein cấu trúc E2 trong SEQ ID NO: 2) là 70% hoặc ít hơn. Trừ khi có chỉ dẫn khác, khi đề cập đến “CHIKV-Δ5nsP3” hoặc “hạt CHIKV-Δ5nsP3” nói chung dự định rằng bao hàm cả dạng không đột biến và dạng đột biến của CHIKV-Δ5nsP3, tức là CHIKV-Δ5nsP3 biểu hiện protein cấu trúc E2 trong SEQ ID NO: 2 và CHIKV-Δ5nsP3 biểu hiện protein cấu trúc E2 có một hoặc nhiều đột biến trong SEQ ID NO: 2. Theo một phương án, protein cấu trúc E2 của CHIKV-Δ5nsP3 chứa không nhiều hơn khoảng mười đột biến điểm. Theo một phương án, protein cấu trúc E2 của CHIKV-Δ5nsP3 chứa không nhiều hơn 9, 8, 7, 6, 5 hoặc 4 đột biến điểm. Theo phương án được ưu tiên, protein cấu trúc E2 của CHIKV-Δ5nsP3 chứa ba hoặc ít hơn ba đột biến điểm, tốt nhất là chỉ một hoặc hai đột biến điểm.

Theo các phương án được ưu tiên, ít nhất 35%, 40%, 45%, 50%, 55%, 60%, 65%, 70%, 75%, 80%, 85%, 90%, 95%, 96%, 97%, 98% hoặc 99% hạt CHIKV-Δ5nsP3 có mặt trong dược phẩm là các thể không đột biến, tức là biểu hiện protein cấu trúc E2 như được xác định bởi trình tự polypeptit trong SEQ ID NO: 2.

Theo một khía cạnh, dược phẩm có chứa (i) CHIKV-Δ5nsP3; và (ii) tùy ý là tá dược dược dụng; trong đó ít hơn 70% hạt CHIKV-Δ5nsP3 có mặt trong dược phẩm biểu hiện protein cấu trúc E2 có một hoặc nhiều đột biến đối với trình tự polypeptit trong SEQ ID NO: 2.

Theo một khía cạnh, dược phẩm có chứa (i) CHIKV-Δ5nsP3; và (ii) tùy ý là tá dược dược dụng; trong đó ít hơn 70% hạt CHIKV-Δ5nsP3 có mặt trong dược phẩm biểu hiện protein cấu trúc E2 có đột biến E168K ở trình tự polypeptit trong SEQ ID NO: 2.

Theo phương án được ưu tiên, các đột biến (ví dụ đột biến E168K) ở protein cấu trúc E2 có mặt ở tần suất là 70% hoặc ít hơn, ví dụ, ít hơn 70% hạt CHIKV-Δ5nsP3 tổng số có chứa một hoặc nhiều đột biến (hoặc đột biến E168K) và 30% hoặc lớn hơn của các hạt CHIKV-Δ5nsP3 tổng số biểu hiện protein cấu trúc E2 không đột biến hoặc protein cấu trúc E2 không có chứa đột biến E168K.

Theo phương án được ưu tiên, ít hơn 65%, 60%, 55%, 50%, 45%, 40%, 35%, 30%, 25%, 20%, 15%, 10%, 5%, 4%, 3%, 2% hoặc 1% hạt CHIKV-Δ5nsP3 có mặt trong dược phẩm biểu hiện protein cấu trúc E2 có một hoặc nhiều đột biến (chẳng hạn như, ví dụ, E168K) đối với trình tự polypeptit trong SEQ ID NO: 2. Ví dụ, dược phẩm có thể có chứa 1-70%, 1-50%, 1-30%, 1-20%, 5-70%, 5-50%, 5-30%, 5-20%, 10-70%, 10-50%, 10-30% hoặc 10-20% hạt đột biến (tức là hạt CHIKV-Δ5nsP3 biểu hiện protein cấu trúc E2 có một hoặc nhiều đột biến (chẳng hạn như, ví dụ, E168K) đối với trình tự polypeptit trong SEQ ID NO: 2), so với tổng số các hạt CHIKV-Δ5nsP3 (đột biến và không đột biến) có mặt trong dược phẩm. Theo một phương án, các hạt CHIKV-Δ5nsP3 biểu hiện protein cấu trúc E2 có đột biến E168K còn có chứa đột biến mà giảm thiểu sự mất khả năng gây miễn dịch do đột biến E168K mang lại. Theo một phương án, đột biến là ở protein nsP1, đặc biệt là ở gốc A38. Theo phương án được ưu tiên, các hạt CHIKV-Δ5nsP3 biểu hiện protein cấu trúc E2 có đột biến E168K cũng biểu hiện nsP1 có đột biến A38S.

Cũng được đề xuất trong bản mô tả này là quy trình sản xuất dược phẩm theo sáng chế, bao gồm các bước 1) nuôi cấy virut CHIKV- $\Delta$ 5nsP3 trên dòng tế bào, và 2) làm giảm thiểu sự có mặt của đột biến làm giảm-khả năng gây miễn dịch của virut CHIKV- $\Delta$ 5nsP3. Theo một phương án, virut CHIKV- $\Delta$ 5nsP3 gây miễn dịch được nhân giống trong dòng tế bào được chọn từ nhóm gồm có dòng tế bào EB66, dòng tế bào Vero, dòng tế bào Vero- $\alpha$ His, dòng tế bào HeLa, dòng tế bào HeLa-S3, dòng tế bào 293, dòng tế bào PC12, dòng tế bào CHO, dòng tế bào 3T3, dòng tế bào PerC6, dòng tế bào MDSK, dòng tế bào nguyên bào sợi phôi gà, dòng tế bào vịt và dòng tế bào gia cầm lưỡng bội. Theo một số phương án, dòng tế bào này là dòng tế bào vịt. Theo một số phương án, dòng tế bào này là dòng tế bào gia cầm lưỡng bội. Theo một số phương án, dòng tế bào này là dòng tế bào EB66. Theo phương án được ưu tiên, dòng tế bào này là dòng tế bào Vero.

Theo một phương án, sự có mặt của đột biến làm giảm-khả năng gây miễn dịch được làm giảm thiểu bằng cách cấy chuyển CHIKV- $\Delta$ 5nsP3 ít hơn 5 lần, tốt hơn là ít hơn 4 lần, tốt hơn là ít hơn 3 lần, tốt hơn là ít hơn 2 lần, tốt hơn nữa là chỉ một lần, tốt nhất là nhiều nhất 3 lần. Như được sử dụng trong bản mô tả này, số lượng cấy chuyển dùng để chỉ số lượng cấy chuyển *in vitro* sau khi cứu sinh virut (P0). Theo phương án được ưu tiên, virut được cấy chuyển trên tế bào Vero. Theo một khía cạnh, virut được sinh trưởng ở nhiệt độ tối ưu. Theo phương án được ưu tiên, nhiệt độ tối ưu này nằm trong khoảng từ khoảng 28°C đến 37°C, tốt hơn là khoảng 35°C.

Theo một phương án, môi trường nuôi cấy tế bào chủ được lây nhiễm bằng CHIKV- $\Delta$ 5nsP3 tại MOI tối ưu. Theo một khía cạnh, MOI tối ưu được xác định là MOI đủ thấp để không cần lượng dư của dịch nuôi cấy ngân hàng giống virut hoạt động, nhưng đủ cao để làm giảm thiểu đột biến làm giảm-khả năng gây miễn dịch như được mô tả trong bản mô tả này. Theo khía cạnh được ưu tiên, MOI tối ưu hóa là MOI nhỏ hơn 0,1, tốt hơn là MOI nằm trong khoảng từ khoảng 0,1 đến 0,001, tốt hơn nữa là MOI nằm trong khoảng từ khoảng 0,09 đến 0,0011, thậm chí tốt hơn nữa là MOI nằm trong khoảng từ khoảng 0,05 đến 0,005, tốt nhất là MOI bằng khoảng 0,01. Theo một khía cạnh, hợp lưu tế bào chủ được đánh giá trước khi lây nhiễm. Theo một khía cạnh, hợp lưu tế bào chủ nằm trong khoảng từ khoảng 20 đến 90%, tốt hơn là trong khoảng từ khoảng 30 đến 75%, tốt hơn nữa là trong khoảng từ khoảng 40 đến 60%, đặc biệt là trong khoảng từ khoảng 50 đến 60%. Theo một khía cạnh, môi trường nuôi cấy tế bào được lây nhiễm ở thời điểm tối ưu sau khi cấy tế bào chủ; tức là, trong khoảng từ ngày 2 đến ngày 5 sau khi

cấy tế bào chủ, tốt hơn là trong khoảng 4 ngày sau khi cấy tế bào chủ. Theo một khía cạnh, các hạt virut được thu hoạch trong khoảng từ ngày một đến ngày 6 sau khi lây nhiễm té bào, tốt hơn là trong khoảng từ ngày một đến ngày 4, tốt hơn là vào ngày một hoặc ngày 2 sau khi lây nhiễm té bào, tốt hơn là vào cả hai ngày một và ngày 2 sau khi lây nhiễm té bào.

Theo một khía cạnh, đột biến làm giảm-khả năng gây miễn dịch là đột biến điểm ở vị trí bất kỳ trong hệ gen của CHIKV- $\Delta$ 5nsP3 như được xác định bởi trình tự polynucleotit trong SEQ ID NO: 1. Theo một phương án, đột biến làm giảm-khả năng gây miễn dịch có mặt trong hệ gen ở vị trí không phải protein E2. Theo phương án được ưu tiên, đột biến làm giảm-khả năng gây miễn dịch được định vị ở protein E2, tốt hơn là ở gốc axit amin 55 và/hoặc 168, ví dụ, đột biến G55R và/hoặc E168K, đặc biệt là E168K. Theo một số phương án, đột biến làm giảm-khả năng gây miễn dịch như được mô tả trong bản mô tả này được giảm thiểu hoặc “cứu sinh” bằng các đột biến khác trong hệ gen. Theo một phương án, đột biến làm giảm thiểu E168K là đột biến A38S của protein phi cấu trúc 1 (nsP1).

Theo một khía cạnh, tần suất của đột biến E168K của protein E2 của CHIKV- $\Delta$ 5nsP3 là ít hơn 90%, ít hơn 80%, ít hơn 70%, ít hơn 60%, ít hơn 50%, ít hơn 40%, ít hơn 30%, ít hơn 20%, ít hơn 10%, tốt hơn là ít hơn 50% trong toàn bộ tập hợp CHIKV- $\Delta$ 5nsP3 thu hoạch được.

Theo một khía cạnh, sáng chế đề xuất CHIKV- $\Delta$ 5nsP3 gây miễn dịch có thể thu được bằng quy trình được đề xuất trong bản mô tả này. Theo một khía cạnh khác, sáng chế này đề xuất được phẩm có chứa CHIKV- $\Delta$ 5nsP3 gây miễn dịch có thể thu được bằng quy trình được đề xuất trong bản mô tả này.

Các khía cạnh của sáng chế đề xuất việc sử dụng quy trình được mô tả trong bản mô tả này để sản xuất hợp phần để gây miễn dịch chống lại sự lây nhiễm virut Chikungunya. Theo phương án được ưu tiên, hợp phần là vắc xin. Theo một phương án, vắc xin được dùng cho đối tượng một lần, hai lần hoặc ba lần hoặc nhiều hơn. Theo một khía cạnh, hạt virut CHIKV- $\Delta$ 5nsP3 được phân lập từ đối tượng được gây miễn dịch có biên dạng đột biến điểm tương tự với hợp phần vắc xin được dùng, cụ thể là đối với đột biến điểm ở protein cấu trúc E2. Theo một phương án, vắc xin được dùng một lần hoặc hai lần. Theo phương án được ưu tiên, vắc xin được dùng chỉ một lần; ví dụ, vắc xin một-

liều. Theo một khía cạnh, chủng ngừa tăng cường được dùng tùy ý. Theo các khía cạnh được ưu tiên nhất định, dược phẩm được đề xuất ở dạng khô lạnh.

Các khía cạnh khác đề xuất hợp phần có chứa các hạt virut có thể thu được bằng quy trình được mô tả trong bản mô tả này để điều trị và/hoặc ngăn ngừa sự lây nhiễm virut Chikungunya. Theo một khía cạnh, các hợp phần là để sử dụng trong phương pháp kích thích đáp ứng miễn dịch ở đối tượng và/hoặc trong phương pháp điều trị hoặc ngăn ngừa sự lây nhiễm virut Chikungunya. Như được sử dụng trong bản mô tả này, thuật ngữ “ngăn ngừa” cũng có nghĩa là “bảo vệ khỏi”. Sự lây nhiễm virut Chikungunya theo một khía cạnh có thể là do kiểu gen ở Tây Phi, Đông/Trung/Nam Phi (ECSA) và/hoặc Châu Á của virut Chikungunya gây ra.

Chế phẩm virut được tạo ra bằng cách sử dụng quy trình bất kỳ trong số các quy trình được mô tả trong bản mô tả này có thể còn được đưa vào các bước xử lý bổ sung, bao gồm bước lọc bổ sung và/hoặc sự làm khô lạnh. Chế phẩm virut có thể được đưa vào phân tích độ tinh sạch của chế phẩm. Ví dụ, chế phẩm virut có thể được đánh giá về sự có mặt của tạp chất và chất gây ô nhiễm, chẳng hạn như, ví dụ, ADN hệ gen tế bào chủ, và/hoặc protein tế bào chủ. Có thể đánh giá độ tinh sạch của chế phẩm virut bằng cách sử dụng phương pháp bất kỳ đã biết trong lĩnh vực, chẳng hạn như sắc ký loại trừ kích thước (SEC), mật độ quang ở các bước sóng khác nhau, điện di gel protein (ví dụ, SDS-PAGE), Thảm tách Western, ELISA, PCR, và/hoặc qPCR.

Theo một số phương án, chế phẩm virut được đánh giá về tạp chất hoặc chất gây ô nhiễm còn lại. Theo một số phương án, lượng tạp chất hoặc chất gây ô nhiễm còn lại được so với lượng tạp chất hoặc chất gây ô nhiễm ở giai đoạn đầu trong quy trình tinh chế, chẳng hạn như, ví dụ, ngay sau khi thu hoạch virut. Theo một số phương án, sự giảm tương đối của tạp chất trong chế phẩm virut cuối cùng là trong khoảng từ 60 đến 95% tương quan với sự có mặt của tạp chất ở giai đoạn đầu trong quy trình tinh chế. Theo một số phương án, sự giảm tương đối của tạp chất trong chế phẩm virut cuối cùng xấp xỉ 60, 61, 62, 63, 64, 65, 66, 67, 68, 69, 70, 71, 72, 73, 74, 75, 76, 77, 78, 79, 80, 81, 82, 83, 84, 85, 86, 87, 88, 89, 90, 91, 92, 93, 94, hoặc 95%. Theo một số phương án, chế phẩm virut cuối cùng chứa ít hơn 5% tạp chất hoặc chất gây ô nhiễm. Theo một số phương án, chế phẩm virut cuối cùng chứa ít hơn 5, 4, 3, 2, 1, 0,9, 0,8, 0,7, 0,6, 0,5, 0,4, 0,3, 0,2, hoặc ít

hơn 0,1% tạp chất. Theo phương án được ưu tiên, chế phẩm virut cuối cùng chứa ít hơn 1% tạp chất.

Quy trình bất kỳ trong số các quy trình được mô tả trong bản mô tả này có thể được sử dụng trong việc sản xuất hợp phần có chứa virut đã tinh chế để dùng cho đối tượng. Theo một số phương án, đối tượng là đối tượng thuộc động vật có vú, chẳng hạn như người hoặc động vật không phải người, bao gồm gia súc, thú cưng hoặc động vật làm bạn. Theo một số phương án, hợp phần được dùng cho đối tượng cần gây miễn dịch kháng virut hoặc virut tương tự như virut của chế phẩm virut. Theo một số phương án, các chế phẩm virut hoặc hợp phần có chứa các virut đã tinh chế bằng cách sử dụng quy trình được mô tả trong bản mô tả này là để điều trị hoặc ngăn ngừa sự lây nhiễm bằng virut hoặc virut tương tự như virut của chế phẩm virut. Theo phương án được ưu tiên, các chế phẩm virut hoặc hợp phần có chứa các virut đã tinh chế bằng cách sử dụng quy trình được mô tả trong bản mô tả này là để điều trị hoặc ngăn ngừa sự lây nhiễm virut Chikungunya, cụ thể là sự lây nhiễm virut Chikungunya là do kiểu gen ở Tây Phi, Đông/Trung/Nam Phi (ECSA) và/hoặc Châu Á của virut Chikungunya gây ra.

Dược phẩm CHIKV-Δ5nsP3 hoặc virut CHIKV-Δ5nsP3 đã tinh chế bằng cách sử dụng quy trình được mô tả trong bản mô tả này có thể được dùng cho đối tượng bằng đường dùng bất kỳ đã biết trong lĩnh vực. Theo một số phương án, các chế phẩm hoặc hợp phần có thể được dùng thông qua đường dùng thông thường, chẳng hạn như ngoài đường tiêu hóa hoặc qua đường miệng. Như được sử dụng trong bản mô tả này, việc dùng “ngoài đường tiêu hóa” bao gồm, mà không giới hạn ở, dưới da, trong da, nội bì, trong tĩnh mạch, trong cơ, trong khớp, trong màng bụng, nội tủy mạc hoặc bằng cách truyền.

Trừ khi được định nghĩa theo cách khác trong bản mô tả này, các thuật ngữ về khoa học và kỹ thuật được sử dụng liên quan đến sáng chế sẽ có nghĩa như thường được hiểu bởi người có hiểu biết trung bình trong lĩnh vực. Ngoài ra, trừ khi ngữ cảnh đòi hỏi có nghĩa khác, các thuật ngữ số ít bao gồm nghĩa số nhiều và các thuật ngữ số nhiều bao gồm nghĩa số ít. Các phương pháp và kỹ thuật trong sáng chế thường được tiến hành theo phương pháp thông thường đã biết rõ trong lĩnh vực. Thường là, các danh pháp được sử dụng liên quan đến, và các kỹ thuật về hóa sinh, enzym học, sinh học phân tử và sinh học tế bào, vi sinh vật học, virut học, nuôi cấy tế bào hoặc nuôi cấy mô, di truyền học và hóa

học protein và hóa học nucleic được mô tả trong bản mô tả này là các danh pháp và kỹ thuật đã biết rõ và thường được sử dụng trong lĩnh vực. Các phương pháp và kỹ thuật trong sáng chế thường được tiến hành theo phương pháp thông thường đã biết rõ trong lĩnh vực và như được mô tả trong các tài liệu tham khảo chung và tài liệu tham khảo cụ thể hơn khác nhau được viện dẫn và thảo luận trong toàn bộ bản mô tả này trừ khi có chỉ dẫn khác.

**Bảng A-1.** Các chữ viết tắt

Chữ viết tắt	Định nghĩa	Chữ viết tắt	Định nghĩa
CHIKV	Virut Chikungunya	MVSB hoặc P1-MVSB	Ngân hàng giống virut trưởng thành (Cây chuyển 1 sau cấy sinh)
CHIKV-Δ5nsP3	CHIKV có đột biến làm khuyết đã xác định ở nsP3 (SEQ ID NO: 1)	WVSB hoặc P2-WVSB	Ngân hàng giống virut hoạt động (Cây chuyển 2 sau cấy sinh)
ECSA	Đông-trung nam Phi	VRP	Hạt sao chép virut
Protein E (1, 2, 3)	Protein vỏ	TCID <sub>50</sub>	Liều lượng lây nhiễm nuôi cây mô
Protein C	Protein capsit	LR-VRP	VRP dựa trên thế phân lập CHIKV La Reunion
Protein 6K	Protein 6 kilodalton	BHK(-21)	Tế bào thận chuột đồng con
nsP	Protein phi-cấu trúc	MOI	Bội số lây nhiễm
MEM	Môi trường thiết yếu tối thiểu	M	Triệu
EMEM	MEM của Eagle	T75, T150, T175	Bình thót cỗ T 75, 150, 175 cm <sup>2</sup>
FBS	Huyết thanh thai bò	RB850	Chai hình ống lăn 850 cm <sup>2</sup>
PBS	Nước muối đệm photphat	Prob.F	Xác suất như được xác định bằng kiểm định F trong phân tích biến thiên một-chiều
Pfu	Đơn vị tạo mảng	ANOVA	Phân tích biến thiên
PRNT	Thử nghiệm trung hòa sự giảm mảng	DS	Chất thuốc
NGS	Giải trình tự thế hệ kế tiếp	GLuc	Gaussia luxiferaza
h	giờ	GMP	Thực hành sản xuất tốt
d	Ngày	R&D	Nghiên cứu và phát triển
AA	Axit amin	SEC	Sắc ký loại trừ kích thước
PCR	Phản ứng chuỗi polymeraza	SDS-PAGE	Điện di trên gel polyacrylamit-natri đodexyl sulfat

qPCR	PCR định lượng	ELISA	Thử Nghiệm Hấp Thụ Miễn Dịch Liên Kết Enzym
s.c.	Dưới da	w/w	Khối lượng/khối lượng
TSE	Bệnh Não Thê Bợt Biển Có Thê Truyền Nhiễm	ml	Mili lít
p.i.	Sau khi lây nhiễm	CPE	Tác dụng gây bệnh tế bào
PP	Polypropylen	V	Vôn
$\mu F$	Micro-Fara	mM	mili mol
$\mu m$	micro mét	TBS	Nước muối đậm Tris
kDa	kilodalton	NaCl	Natri clorua
mg	mili gam	LR2006-OPY1	Thể phân lập CHIKV La Reunion
ARN	Axit ribonucleic	D-PBS	Nước muối đậm photphat Dulbecco
Anti-anti	Kháng sinh-Kháng nấm	RPM	Vòng trên phút
SINV	Virut Sindbis	RRV	Virut Ross River
SFV	Virut Semliki Forest	MCB	Ngân hàng tế bào trưởng thành
WHO	Tổ Chức Y Tế Thế Giới	ATCC	Bảo Tàng Giống Chuẩn Hoa Kỳ

### Ví dụ thực hiện sáng chế

#### Ví dụ 1. Các thử nghiệm ban đầu để sản xuất Chất Thuốc (DS) CHIKV-Δ5nsP3

*Lắp ghép hệ gen CHIKV-Δ5nsP3 được tổng hợp*

Hệ gen virut CHIKV-Δ5nsP3 được tổng hợp trong năm mảnh ở MWG Eurofins (Đức) và được lắp ghép đầy đủ trong plasmit pMA (vật truyền pMX có tính kháng ampixilin), vật truyền tách dòng tiêu chuẩn. Khung vật truyền pMX được thể hiện trong Fig.1. Tất cả quy trình tách dòng và quy trình điều chế plasmit được tiến hành trong các điều kiện không có TSE bằng cách sử dụng tế bào *E. coli* NEB10 $\beta$  điện-khả nạp. Chiến lược tách dòng được sử dụng để lắp ghép đầy đủ hệ gen CHIKV-Δ5nsP3 trong pMA được phác họa trong Fig.3B. Tóm lại, plasmit pMA chứa mảnh 1, gồm nsP1 và một phần của nsP2 (như được thể hiện trong Fig.3A), được tạo mạch thẳng thông qua sự cắt giới hạn *EcoRI/PacI* và mảnh 2 gồm các phần của nsP2 và nsP3 được dung hợp với mảnh 1. Song song với đó, mảnh 3 (gồm nsP4 và C) được dung hợp với mảnh 4 (gồm C và E2) thông qua việc tách dòng *Clal/PacI*. Trong bước tách dòng thứ ba, các mảnh 3 và 4 được tách dòng thông qua *AgeI/XhoI* và mảnh 5 thông qua *XhoI/PacI* vào pMA được *AgeI/PacI* - tạo mạch thẳng đã chứa các mảnh 1 và 2. Việc tách dòng tạo ra vật truyền

pMA\_CHIKV-Δ5nsP3 mã hóa CHIKV-Δ5nsP3, như được xác minh bằng cách giải trình tự.

### *Cứu sinh CHIKV-Δ5nsP3 từ các tế bào Vero (“cứu sinh virut”)*

Để tạo ra hạt virut CHIKV-Δ5nsP3 từ vật truyền pMA\_CHIKV-Δ5nsP3 được thiết kế trên tế bào Vero (cứu sinh virut), plasmid pMA\_CHIKV-Δ5nsP3 được tạo mạch thẳng bằng cách cắt giới hạn *NotI* và được đưa đi phiên mã *in vitro* bằng cách sử dụng Bộ Kit Ambion’s mMessage mMachine SP6 (AM130). Xác nhận tính nguyên vẹn ARN thông qua điện di gel (không được thể hiện). Song song với đó, điều chế các tế bào Vero để xung điện với ARN virut. Tóm lại, các tế bào Vero được tách ra khỏi bình thót cỗ nuôi cấy tế bào bằng cách sử dụng TrypLESelect (Gibco) và được rửa hai lần bằng PBS. Tất cả các bước ly tâm được tiến hành ở 300g ở nhiệt độ trong phòng. ARN virut được trộn với 8x10<sup>6</sup> tế bào Vero trong 800 µl PBS và hỗn hợp tế bào Vero/ARN được chuyển vào cuvet xung điện 0,4 cm. Tiến hành hai xung ở 850 V, 25 µF, 200 Ôm. Sau khi xung điện, tế bào Vero được giữ ở nhiệt độ trong phòng trong thời gian 10 phút và cuối cùng được tái tạo huyền phù trong MEM/ FCS 5%/ Kháng sinh-Kháng nấm (Anti-Anti) 1%/ L-Glutamin 2 mM và được ủ trong bình thót cỗ T75 trong thời gian 48 giờ ở nhiệt độ 35°C/CO<sub>2</sub> 5%. Dịch nổi bề mặt môi trường nuôi cấy tế bào chứa CHIKV-Δ5nsP3 cứu sinh (cấy chuyển 0; P0) được thu hoạch và ly tâm ở 3.000g trong thời gian 10 phút ở nhiệt độ 4°C. Hiệu giá virut được xác định bằng mảng và thử nghiệm TCID<sub>50</sub> trên tế bào Vero. CHIKV-Δ5nsP3 cứu sinh (P0) được lưu trữ ở nhiệt độ -80°C. Cấu trúc hệ gen của ứng viên vắc xin virut CHIKV-Δ5nsP3 thu được theo đó, cũng được gọi là VLA1553, được thể hiện trong Fig.2.

### *Sự xác minh trình tự CHIKV-Δ5nsP3*

Để xác minh trình tự hệ gen virut, axit nucleic virut được tách chiết khỏi dịch nổi bề mặt môi trường nuôi cấy tế bào thu được bằng cách sử dụng Bộ Kit Quay Virut QIAamp MinElute (QIAGEN #57704) và thực hiện tổng hợp cADN bằng cách sử dụng Hệ Thống Tổng Hợp Sợi-Thú Nhát SuperScript III (Life Technologies, Catalog# 18080-051) bằng cách sử dụng các hexamer ngẫu nhiên. PCR có Polymeraza Độ Tin Cậy Cao Phusion được tiến hành với các mồi khuếch đại các vùng chòng lên nhau của hệ gen CHIKV-Δ5nsP3, và sản phẩm PCR được đưa vào giải trình tự Sanger ở MWG Eurofins, Đức. Các trình tự của cặp mồi được sử dụng để PCR và giải trình tự được thể hiện trong **Bảng 1**.

**Bảng 1.** Cặp mồi được sử dụng để giải trình tự hệ gen CHIKV-Δ5nsP3.

Cặp Mồi	Vị trí giới hạn trình tự mồi xuôi (5'-3') (chữ thường)	SEQ ID NO:	Vị trí giới hạn trình tự mồi ngược (5'-3') (chữ thường)	SEQ ID NO:
1	ttaggatccGATGGCTGCGTG AGACAC	8	taactcgagCCGTCAAGTCTG TTGAACAT	9
2	ttaggatccTACCACCAAGGCG	10	taactcgagCTTGCCCCACTT	11

Cặp Mồi	Vị trí giới hạn trình tự mồi xuôi (5'-3') (chữ thường)	SEQ ID NO:	Vị trí giới hạn trình tự mồi ngược (5'-3') (chữ thường)	SEQ ID NO:
	ATTAAAG		ACTGAAGG	
3	ttaggatccTGCTACAGAAGT CACGCC	12	taactcgagGCCAAAGCGTG AATCAG	13
4	ttaggatccAACAGCTTGAGG ACAGAGCG	14	taactcgagCTCTGTCTCATC ACGTCGG	15
5	ttaggatccAAATTGCAGTCA TAGGAGTCTTC	16	taactcgagAGTACGTTGACG TGCTCTGA	17
6	ttaggatccGTGGGTTAAACA ACTGCAA	18	taactcgagGGTTAAAGTCTT CTATCCTCCTGG	19
7	ttaggatccGGATAACCACTG GGATAATAGG	20	taactcgagAGTTGTGAAATT CCTTCTGCC	21
8	ttaggatccCGCAGATAGAAC CAGTGAAC	22	taactcgagCAGCAGCTCTAC TTGGGTC	23
9	ttaggatccAGGAGGGAAAG ACAGGCT	24	taactcgagCCCTCGCCTCT TCTG	25
10	ttaggatccCAAAATAGAAC GAGTGCAAAAAG	26	taactcgagCCTGGAGTTCT TAAGTAATAGTTGC	27
11	ttaggatccACCGGTCCAGGT CATTAA	28	taactcgagGCAGCAAATTCT TCCCAG	29
12	ttaggatccCCATTCCAGAAC ACACTACAG	30	taactcgagATACCTGATTTC ATCATGGC	31
13	ttaggatccCCTTGATAAGA GCCAAGATG	32	taactcgagTACAAAGTTATG ACGGGTCCT	33
14	ttaggatccCACCGAACAGG GCTAATTG	34	taactcgagGACCGCTTAAAG GCCAG	35
15	ttaggatccGTGCATGAAAAT CGAAAATG	36	taactcgagTGGTCTTGTGGC TTTATAGACA	37
16	ttaggatccAACCGGAGGAA ACCCTAC	38	taactcgagGTACCGCACCGT CTGG	39
17	ttaggatccAGCTACCTTGCA GCACGT	40	taactcgagCCCACCATCGAC AGG	41
18	ttaggatccCGAGCCGTATAA GTATTGGC	42	taactcgagCGCCGGTGAAG ACCTTAC	43
19	ttaggatccACTACTGTCAGT CACTTGGAGC	44	taactcgagTACCGGGTTTGT TGCTATT	45
20	ttaggatccCACAACTGGTAC TGCAGAGAC	46	taactcgagGCGTAGCCCTTT GATCTATAG	47
21	ttaggatccGGTGTATGCGT GTCGT	48	taactcgagATCTCCTACGTC CCTGTGGG	49

Sự truyền CHIKV-Δ5nsP3 trên tế bào Vero

Sau khi cấy sinh CHIKV-Δ5nsP3, các tế bào Vero được lây nhiễm và virut được cấy truyền liên tiếp trong ba bản sao (xem **Bảng 2**). Để cấy truyền, các tế bào Vero được cấy trong bình thót cỗ T150 và được sinh trưởng đến hợp lưu (1-3 ngày) được rửa hai lần bằng 1x DPBS trước khi bổ sung 20 ml môi trường lây nhiễm (EMEM không có

huyết thanh). Chất để chủng được bổ sung trực tiếp vào bình thót cổ ở thể tích được chỉ định và tế bào được ủ trong thời gian 24 giờ ở nhiệt độ 35°C, CO<sub>2</sub> 5%. Thực hiện cấy chuyển trong ba bản sao (A, B và C) với sự lây nhiễm tế bào Vero tại MOI bằng 0,01 đối với cấy chuyển lần thứ nhất từ cừu sinh virut (P0). Mẻ thu 20 ml được chuyển vào ống PP 50 ml 24 giờ sau lây nhiễm, mảnh vỡ tế bào được loại bỏ bằng cách ly tâm (3000g, 10 phút) và dịch nổi bề mặt được chuyển vào ống PP 50 ml mới. Bổ sung dung dịch sucroza 49% (khối lượng/khối lượng) đến nồng độ cuối cùng bằng 10% (khối lượng/khối lượng) và các phần phân ước 1 ml của mẻ thu đã làm ổn định được lưu trữ ở nhiệt độ ≤ -70°C.

Các lần lây nhiễm tiếp được thực hiện bằng mẻ thu không có sucroza. Tiến hành lây nhiễm bằng cách sử dụng các thể tích khác nhau của mẻ thu được tính đại khái dựa trên tác dụng gây bệnh tế bào được quan sát thấy trong cấy chuyển trước đó và trong các bản sao song song. Thể tích mẻ thu được sử dụng để lây nhiễm thay đổi trong khoảng từ 5 µl đến 1 ml. Tiếp theo sự lây nhiễm là mẻ thu đơn lẻ sau 24 giờ. Lưu ý rằng MOI được sử dụng để tạo ra các cấy chuyển 2-16 được xác định theo cách hồi cứu sau khi có các kết quả TCID<sub>50</sub>, thu được khoảng giới hạn rộng (“không được kiểm soát”) của các MOI trong suốt thí nghiệm (Xem **Bảng 2**). Quy trình này được tiến hành lên đến 16 cấy chuyển trong ba bản sao song song (các bản sao A, B và C) cho phép quan sát có hệ thống các tham số khác nhau trong quá trình thích ứng của CHIKV-Δ5nsP3 với sự cấy chuyển tế bào Vero. Trong quá trình thí nghiệm này, sản lượng (TCID<sub>50/ml</sub>), thể tích lây nhiễm, số lượng tế bào Vero trên mỗi bình thót cổ, số cấy chuyển tế bào Vero và tác dụng gây bệnh tế bào (CPE) được ghi lại. Bội số lây nhiễm (MOI) được xác định theo cách hồi cứu dựa trên TCID<sub>50</sub> đã đo và cũng được ghi lại. Cấy chuyển CHIKV-Δ5nsP3 được đánh giá đồng thời về kích thước mảng trong tất cả ba bản sao.

**Bảng 2. Sự cấy chuyển liên tiếp CHIKV-Δ5nsP3 trên tế bào Vero sau khi cừu sinh virut, được tiến hành trong ba bản sao.** Dữ liệu được thể hiện bao gồm sản lượng thu hoạch (24 giờ; TCID<sub>50</sub>), thể tích lây nhiễm (ml), số lượng tế bào/bình thót cổ, số cấy chuyển tế bào Vero, bội số lây nhiễm (MOI) và tác dụng gây bệnh tế bào (CPE) được quan sát thấy lúc 24 giờ sau khi lây nhiễm.

Bản sao A						
Cấy chuyển	TCID <sub>50/ml</sub>	Lây nhiễm (ml)	Tế bào @T150	Cấy chuyển Vero	MOI (TCID <sub>50</sub> )	CPE @ 24 giờ
P0	9,77E+06					không có

P1A	2,59E+07	0,02	2,00E+07	149	0,010	50
P2A	1,90E+07	1	2,90E+07	149	0,893	50
P3A	2,92E+07	0,1	2,80E+07	149	0,068	20
P4A	2,14E+08	0,37	2,00E+07	150	0,540	90
P5A	1,01E+08	0,1	2,70E+07	150	0,792	60
P6A	3,50E+08	0,1	2,60E+07	150	0,390	60
P7A	7,43E+08	0,037	1,30E+07	151	0,997	50
P8A	8,02E+08	0,05	1,60E+07	151	2,323	90
P9A	1,51E+09	0,01	2,40E+07	151	0,334	60
P10A	3,60E+09	0,005	1,98E+07	152	0,381	80
P11A	1,88E+09	0,005	1,84E+07	152	0,982	90
P12A	6,94E+08	0,005	1,30E+07	152	0,724	90
P13A	4,22E+09	0,01	1,44E+07	153	0,482	60
P14A	3,05E+09	0,01	1,90E+07	153	2,219	90
P15A	3,03E+09	0,01	2,20E+07	153	1,384	90
P16A	2,91E+09	0,01	1,70E+07	154	1,781	90

**Bản sao B**

Cây chuyển	TCID <sub>50</sub> /ml	Lây nhiễm (ml)	Té bào @T150	Cây chuyển Vero	MOI (TCID <sub>50</sub> )	CPE @ 24 giờ
P0	9,77E+06					không có
P1b	6,47E+07	0,02	2,00E+07	149	0,010	50
P2B	5,32E+07	1	2,90E+07	149	2,232	50
P3B	2,27E+07	0,1	2,80E+07	149	0,190	20
P4B	1,65E+08	0,08	2,00E+07	150	0,091	80
P5B	1,65E+08	0,1	2,70E+07	150	0,613	60
P6B	4,06E+08	0,1	2,60E+07	150	0,636	60
P7B	9,19E+08	0,092	1,30E+07	151	2,875	60
P8B	7,43E+08	0,1	1,60E+07	151	5,744	90
P9B	2,14E+09	0,025	2,40E+07	151	0,774	75
P10B	4,06E+09	0,01	1,98E+07	152	1,080	90
P11B	2,09E+09	0,01	1,84E+07	152	2,214	90
P12B	8,76E+08	0,01	1,30E+07	152	1,608	90
P13B	2,91E+09	0,01	1,44E+07	153	0,609	60
P14B	4,22E+09	0,01	1,90E+07	153	1,530	90
P15B	3,79E+09	0,01	2,20E+07	153	1,917	95
P16B	3,79E+09	0,01	1,70E+07	154	2,232	90

**Bản sao C**

Cây chuyển	TCID <sub>50</sub> /ml	Lây nhiễm (ml)	Té bào @T150	Cây chuyển Vero	MOI (TCID <sub>50</sub> )	CPE @ 24 giờ
P0	9,77E+06					không có
P1C	3,24E+07	0,02	2,00E+07	149	0,010	50
P2C	3,29E+07	1	2,90E+07	149	1,117	50
P3C	2,54E+07	0,1	2,80E+07	149	0,118	20
P4C	1,29E+08	0,15	2,00E+07	150	0,191	90

P5C	4,13E+08	0,1	2,70E+07	150	0,477	60
P6C	5,91E+08	0,1	2,60E+07	150	1,587	60
P7C	1,85E+09	0,185	1,30E+07	151	8,415	70
P8C	4,83E+08	0,2	1,60E+07	151	23,073	90
P9C	1,03E+09	0,1	2,40E+07	151	2,013	90
P10C	5,14E+09	0,015	1,98E+07	152	0,783	90
P11C	1,51E+09	0,015	1,84E+07	152	4,205	90
P12C	1,15E+09	0,015	1,30E+07	152	1,738	90
P13C	4,22E+09	0,01	1,44E+07	153	0,802	65
P14C	3,81E+09	0,01	1,90E+07	153	2,219	90
P15C	1,07E+09	0,01	2,20E+07	153	1,730	90
P16C	2,48E+09	0,01	1,70E+07	154	0,631	90

Xu hướng được quan sát thấy trong quá trình cấy chuyển liên tiếp trong điều kiện MOI “không được kiểm soát”

Trong quá trình CHIKV-Δ5nsP3 thích ứng với sự cấy chuyển tế bào Vero, đã quan sát thấy rằng tổng sản lượng virut CHIKV-Δ5nsP3 về cơ bản là tăng cùng với số cấy chuyển tăng trên tế bào Vero như được thể hiện trong **Bảng 2**. Như được thể hiện trong Fig.4A, các cấy chuyển 6 và trở lên thu được hiệu giá tăng xấp xỉ 100-lần so với cựu sinh virut (P0) và các cấy chuyển đầu. Cũng được quan sát thấy sự giảm đồng thời về kích thước mảng CHIKV-Δ5nsP3 (Fig.4B). Ảnh hưởng của sự cấy chuyển *in vitro* virut Chikungunya kiểu đại lên kích thước mảng ở các dòng tế bào khác đã được mô tả trước đó bởi Gardner CL, và cộng sự (Gardner CL, et al., 2014, ở trên). Sản lượng virut cao là điều được mong muốn cao để tạo ra virut đã bắt hoạt trong công nghiệp; tuy nhiên, cũng được quan sát thấy trong bản mô tả này CHIKV-Δ5nsP3 trở nên ít gây miễn dịch hơn cùng với sự cấy chuyển tăng như được thể hiện trong Fig.4C. Tóm lại, để xác định khả năng gây miễn dịch trong các cấy chuyển khác nhau của CHIKV-Δ5nsP3 như được tạo ra trong **Bảng 2**, ở trên, nhóm gồm năm con chuột C57Bl/6 được gây miễn dịch một lần dưới da với liều lượng bằng  $10^5$  TCID<sub>50</sub> CHIKV-Δ5nsP3 cấy chuyển 5 (P5B), cấy chuyển 8 (P8B) hoặc P15 (P15C). CHIKV-Δ5nsP3 ở P0 (cựu sinh virut), cũng tại  $10^5$  TCID<sub>50</sub>, được sử dụng làm đối chứng dương. Tập hợp huyết thanh ngày 21 được đánh giá về khả năng trung hòa CHIKV-Δ5nsP3 (P0) của chúng trong thử nghiệm PRNT trên tế bào Vero, bằng cách thử nghiệm dịch pha loãng huyết thanh liên tiếp 4-lần nằm trong khoảng từ 1:20 đến 1:327.680. Như được thể hiện trong Fig.4C, khả năng gây miễn dịch ở chuột có CHIKV-Δ5nsP3 P5B thể hiện khả năng gây miễn dịch dịch chuyển nhỏ so với CHIKV-Δ5nsP3 (P0) không được cấy chuyển, trong khi đó virut P8B thể hiện khả năng gây miễn dịch về cơ bản là giảm tương đương với virut P15C. (Vì virut P15C không gây miễn dịch, nó có vai trò làm đối chứng âm trong thử nghiệm PRNT sau đó.)

Cuối cùng, sự cấy chuyển CHIKV-Δ5nsP3 đã chọn được thử nghiệm về độ ổn định di truyền bằng cách giải trình tự Sanger. Khi cấy chuyển CHIKV-Δ5nsP3 trên tế bào Vero lên đến 16 lần, đã xác minh rằng sự làm khuyết 60 axit amin ở gen nsP3 chịu trách nhiệm về sự giảm độc lực của virut ổn định về mặt di truyền, chỉ ra rằng virut không

quay trở lại kiêu dại, cân nhắc về tính an toàn quan trọng đối với vắc xin sống đã giảm độc lập.

*Xu hướng được quan sát thấy trong quá trình cấy chuyển liên tiếp trong điều kiện MOI được kiểm soát*

Việc sử dụng MOI cao (ví dụ, cao hơn 0,1) không có lợi cho quy trình có quy mô công nghiệp vì cần quá nhiều nguyên liệu bắt đầu. Trong vấn đề này, việc sử dụng MOI thấp hơn (0,01) qua ba cấy chuyển được thử nghiệm và khả năng gây miễn dịch của các cấy chuyển thu được được xác định. Như được thể hiện trong Fig.5A, ba cấy chuyển từ Bản sao B trong **Bảng 2**, được cấy chuyển trong các điều kiện không được kiểm soát, với các MOI nằm trong khoảng giới hạn từ 0,01 đến 2,23. Từ cấy chuyển 3 (P3B) thu được theo đó, thực hiện các cấy chuyển khác lên đến P6 bằng cách sử dụng MOI bằng 0,01 đối với mỗi cấy chuyển và được thể hiện là “các điều kiện được kiểm soát tại MOI 0,01” trong Fig.5A. Trong điều kiện sử dụng MOI bằng 0,01, khả năng gây miễn dịch của virut thu được bị mất rất nhanh như được thể hiện trong Fig.5B. Lúc cấy chuyển 5, CHIKV- $\Delta$ 5nsP3 đã được biểu hiện không gây miễn dịch. Kết quả này trái ngược với các kết quả được thấy ở P5B trong Fig.4C, được tạo ra có MOI cao hơn nhiều (xem **Bảng 2**, Bản sao B) và vẫn gây miễn dịch. Sự quan sát thấy này dường như chỉ ra rằng MOI thấp hơn dẫn đến sự chọn lựa nhanh hơn trong quá trình cấy chuyển tế bào Vero đối với các đột biến ảnh hưởng khả năng gây miễn dịch của CHIKV- $\Delta$ 5nsP3.

#### **Ví dụ 2. Xác định tính không đồng nhất trình tự của CHIKV- $\Delta$ 5nsP3 mà ảnh hưởng đến khả năng gây miễn dịch**

Do sự giảm/sự mất khả năng gây miễn dịch được quan sát thấy (hiệu giá kháng thể trung hòa) và kích thước mảng giảm ở các cấy chuyển CHIKV- $\Delta$ 5nsP3 cao hơn, điều quan tâm đến là phân tích tính không đồng nhất trình tự có thể xảy ra trong các quần thể virut ở các số cấy chuyển khác nhau. Ngoài ra, điều quan tâm đến là phân tích trình tự của các mảng riêng lẻ của quần thể virut. CHIKV- $\Delta$ 5nsP3 (P0) không được cấy chuyển không thể hiện tính không đồng nhất trình tự dựa trên sự giải trình tự Sanger. Nhìn chung, với số cấy chuyển tăng sự tăng lên của tính không đồng nhất trình tự đối với tất cả 3 bản sao được quan sát thấy (các Bản sao A, B và C; **Bảng 3**). Trong trường hợp cấy chuyển bản sao C ở cấy chuyển 8 (P8C), quần thể virut vẫn không đồng nhất (tính không đồng nhất trình tự được thể hiện trong **Bảng 3**), trong khi đó cấy chuyển P15C thể hiện quần thể virut đồng nhất hơn với đột biến điểm được xác định (được chỉ ra bằng \*). Dữ liệu khả năng gây miễn dịch được thể hiện trong Fig.4C (Ví dụ 1, ở trên) tập trung vào P5B và P8B, thể hiện tính không đồng nhất trình tự ở protein phi-cấu trúc (nsP) CHIKV- $\Delta$ 5nsP3 và protein vỏ E2 như được thể hiện trong **Bảng 3** dưới đây.

#### **Bảng 3. Tính không đồng nhất trình tự ở CHIKV- $\Delta$ 5nsP3 ở các cấy chuyển P5, P8 và P15 (các Bản sao A, B và C như được tạo ra trong **Bảng 2**).**

Tính không đồng nhất trình tự được xác định bằng cách giải trình tự Sanger. Để đạt mục đích đó, axit nucleic virut được tách chiết khỏi dịch nổi bề mặt môi trường nuôi cấy tế bào thu được bằng cách sử dụng Bộ Kit Quay Virut QIAamp MinElute (Qiagen).

cADN được tổng hợp bằng cách sử dụng Hệ Thống Tổng Hợp Sợi-Thứ Nhát SuperScript III (ThermoFischer) bằng cách sử dụng các hexame ngẫu nhiên. PCR với Polymeraza Độ Tin Cậy Cao Phusion được tiến hành bằng mồi khuếch đại các vùng chòng lên nhau của hệ gen CHIKV-Δ5nsP3 (**Bảng 1**), được giải trình tự bằng cách giải trình tự Sanger ở MWG Eurofins, Đức. Kết quả đọc cho thấy các kết quả của việc kêu gọi bazơ tự động (>20%) cũng như là tính không đồng nhất được phát hiện bởi các phân tích trực quan của sắc ký đồ giải trình tự. \* Đột biến đầy đủ (tức là, 100%) được chỉ ra bằng dấu hoa thị.

Gen	Bản sao A			Bản sao B			Bản sao C		
	P5A	P8A	P15A	P5B	P8B	P15B	P5C	P8C	P15C
<b>Tính Không Đồng Nhất Trình Tự</b>									
<b>nsP2</b>						L494I			
		G577W	G577W		G577W	G577W		G577W	G577W*
<b>nsP3</b>						G621R			
					R470S	R470S			
<b>nsP4</b>					V113I				
<b>E2</b>		G55R	G55R		G55R	G55R	G55R	G55R	G55R*
					H99Y	H99Y			
	E168K			E168K	E168K	E168K			
		M171V							
		T230I	T230I		T230I	T230I		T230I	T230I*
		H232Y	H232Y						
	E247K						E247K		
		E247D			E247D			E247D	
	A423A			A423A					

#### *Sự mở rộng và giải trình tự các mảng CHIKV-Δ5nsP3 đơn lẻ*

Để hiểu rõ ảnh hưởng của các đột biến riêng lẻ lên khả năng gây miễn dịch và do đó phát triển quy trình sản xuất được kiểm soát và có thể tái tạo đối với vắc xin CHIKV-Δ5nsP3 gây miễn dịch cao, các mảng riêng lẻ từ các thể phân lập CHIKV-Δ5nsP3 P5B và P8B được tinh chọn. Tóm lại, dịch pha loãng liên tiếp của CHIKV-Δ5nsP3 P5B và P8B được sử dụng để lây nhiễm tế bào Vero trong thử nghiệm mảng (được mô tả dưới Fig.4) và sau khi ủ 72 giờ, các mảng đơn lẻ có các hình thái khác nhau được tinh chọn (các mảng nhỏ ưu tiên được tinh chọn, bởi vì chúng bắt đầu xuất hiện sau một vài cây chuyển trên tế bào Vero) và mở rộng thông qua sự tái lây nhiễm tế bào Vero ( $5 \times 10^5$ ) trong đĩa 6-giêng. Các mẫu CHIKV-Δ5nsP3 khác nhau bắt nguồn từ các mảng đơn lẻ được chọn dựa trên đột biến trong trình tự gen E2 trước khi mở rộng thêm trên tế bào Vero. Các dòng P5B-02, P5B-03, P5B-04, P5B-07, P5B-11, P8B-01 và P8B-05 được mở rộng và tinh chế để thí nghiệm khả năng gây miễn dịch *in vivo*. Các mảng riêng lẻ được mở rộng trên tế bào Vero sinh trưởng trong các Chai Hình Ông Lăn bằng cách sử dụng Chai Hình Ông Lăn  $850\text{cm}^2$  đơn lẻ có bề mặt CellBIND đối với mỗi thể phân lập. Khi đạt đến hợp lưu, tế bào được rửa hai lần bằng 100ml D-PBS + Ca+ Mg trước khi 100 ml môi trường lây nhiễm (EMEM không có huyết thanh) chứa chất để chủng tại MOI bằng 0,01 được bổ sung và tế bào được ủ trong thời gian 24 giờ ở nhiệt độ  $35^\circ\text{C}$ ,  $\text{CO}_2$  5%. 100 ml mè thu được chuyển vào ống PP 50 ml 24 giờ sau lây nhiễm và mảnh vỡ tế bào được loại

bỏ băng cách ly tâm, theo sau là lọc  $0,2\mu\text{m}$  băng cách sử dụng thiết bị lọc chân không Steriflip® (Merck). Các mẻ thu virut đã làm sạch riêng lẻ được cô đặc lần thứ nhất băng cách sử dụng thiết bị Lọc Ly Tâm Amicon®, được lọc pha loãng với đậm TBS và tinh chế băng protamin sulphat và xử lý Capto™ Core700. Các dòng CHIKV- $\Delta$ 5nsP3 đã tinh chế sau đó được sử dụng cho các nghiên cứu khác.

Trình tự hệ gen đầy đủ của các mẫu CHIKV- $\Delta$ 5nsP3 được mở rộng, P5B+1 và P8B+1; cụ thể là P5B-02, P5B-03, P5B-04, P5B-07, P5B-11, P8B-01 và P8B-05 như được mô tả ở trên, bắt nguồn từ các mảng đơn lẻ, P5B và P8B, lần lượt, được đánh giá bằng cách giải trình tự Sanger. Các đột biến điểm được quan sát thấy của các mảng riêng lẻ được tóm tắt trong **Bảng 4** và trình tự gen bằng sơ đồ được thể hiện trong Fig.6B và Fig.6D.

Để đánh giá ảnh hưởng của các đột biến điểm cụ thể lên khả năng gây miễn dịch của CHIKV- $\Delta$ 5nsP3, huyết thanh chuột ngày 19 từ các con chuột được gây miễn dịch bởi virut bắt nguồn từ mảng riêng lẻ được tạo ra và phân tích trong PRNT. Tóm lại, liều lượng đơn lẻ của CHIKV- $\Delta$ 5nsP3 tại liều lượng TCID<sub>50</sub> được dự định bằng  $10^5$  được dùng dưới da cho chuột C57Bl/6 (10 trong mỗi nhóm điều trị) và tập hợp huyết thanh ngày 19 được phân tích trong thử nghiệm PRNT ở dịch pha loãng liên tiếp 4-lần nằm trong khoảng từ 1:20 đến 1:327.680 về khả năng trung hòa virut của chúng. Virut được trung hòa trong PRNT tương ứng với cây chuyền 2 CHIKV- $\Delta$ 5nsP3 (P2, 560 pfu/ml) không thể hiện tính không đồng nhất trình tự và do đó giống về trình tự với CHIKV- $\Delta$ 5nsP3 không được cây chuyền (P0). Hỗn hợp trung hòa (560 pfu/ml CHIKV- $\Delta$ 5nsP3 P2 và dịch pha loãng huyết thanh liên tiếp) được ủ trong thời gian 1 giờ ở nhiệt độ trong phòng và được bơm sang trên tế bào Vero, tiếp theo là ủ trong thời gian 2 giờ. Cuối cùng, lớp phủ methylxenluloza (0,8%) được bơm sang sau đó là ủ trong thời gian 72 giờ. Sự hiển thị mảng được thực hiện sau khi nhuộm tím tinh thể (tím tinh thể 0,5% trong Formaldehyd 5%).

**Bảng 4. Đột biến ở các mảng được tinh chọn đơn lẻ của cây chuyền CHIKV- $\Delta$ 5nsP3 P5 và P8.** Giải trình tự hệ gen CHIKV- $\Delta$ 5nsP3 đầy đủ được tiến hành ở MWG Eurofins, Đức, bằng cách sử dụng mồi trong **Bảng 1**. Tất cả các dòng P5B và P8B lần lượt tương ứng với CHIKV- $\Delta$ 5nsP3 P6 (P5B+1) và P9 (P8+1), mở rộng trên tế bào Vero. Hiệu giá PRNT<sub>50</sub> được tính trong GraphPad Prism bằng cách sử dụng sự làm khớp phi-tuyến tính – phép tính 3 tham số. Protein virut mà đột biến điểm tương ứng được xác định trong đó được thể hiện trong dấu ngoặc. Giá trị PRNT<sub>50</sub> đối với các thể phân lập không gây miễn dịch không thể đo được như được chỉ ra.

Thí nghiệm #	Thể phân lập	Cây chuyền	(Các) đột biến điểm	Tính gây miễn dịch	PRN T <sub>50</sub>
4399gr1	P0 #1	0	Không có	Đối chứng dương	386
4415gr1	P0 #2	0	Không có	Đối chứng dương	4215
4415gr2	P5B-02	5+1	E168K[E2]+A38S[nsP1]	được giữ lại	373

4415gr3	P5B-03	5+1	H232Y[E2]	được giữ lại	112
4415gr4	P5B-04	5+1	E168K[E2]	bị mất	-
4415gr5	P5B-07	5+1	E168K[E2]	bị mất	-
4415gr6	P5B-11	5+1	E247K[E2]	được giữ lại	219
4415gr7	P8B-01	8+1	H99Y/E168K[E2]+R470S[nsP3]	bị mất	-
4415gr8	P8B-05	8+1	G55R/H232Y[E2]+G577W[nsP2]	bị mất	-
4399gr2	P15C-DS	15	G55R/T230I[E2]+G577W[nsP2]	Đối chứng âm	-

- = không thể đo được

Như có thể được nhìn thấy trong Fig.6A, khả năng gây miễn dịch của CHIKV- $\Delta$ 5nsP3 P5B-11 và P5B-03, cả hai có đột biến điểm đơn lẻ ở protein E2, E247K và H232Y (Fig.6B), lần lượt, không bị ảnh hưởng khi so với khả năng gây miễn dịch của CHIKV- $\Delta$ 5nsP3 P0. Khả năng trung hòa của huyết thanh P0 được thể hiện từ hai thí nghiệm ở chuột độc lập (4415; P0 #2 và 4399; P0 #1) phác họa khoảng giới hạn có thể chấp nhận của khả năng gây miễn dịch. Mặt khác, P8B-05, được đặc trưng bởi 3 đột biến điểm, G577W, G55R và H232Y ở nsP2 và E2, lần lượt, không gây miễn dịch ở chuột. Đột biến G55R đã được mô tả trong tài liệu bởi Gardner CL, và công sự, dưới dạng là kết quả của cây chuyển CHIKV *in vitro*. Hạt virut bị ảnh hưởng bởi sự phụ thuộc vào liên kết heparan sulfat *in vitro* tăng dẫn đến sự giảm độc lực *in vivo* (Gardner CL, et al., 2014, ở trên).

Như có thể thấy trong Fig.6C, chỉ một trong bốn mẫu CHIKV- $\Delta$ 5nsP3 bắt nguồn từ các mảng đơn lẻ (P5B-02) vẫn còn gây miễn dịch và được đặc trưng bởi hai đột biến điểm, A38S và E168K ở nsP1 và E2 (Fig.6D), lần lượt. Ngoài ra, P8B-01 có ba đột biến điểm, R470S ở nsP3 và H99Y và E168K ở protein E2, không gây miễn dịch ở chuột và tương đương với đối chứng âm P15C. Mỗi P5B-04 và P5B-07 có đột biến điểm đơn lẻ ở E2, tức là, axit Glutamic 168 bị đột biến thành Lysin (E168K), cũng được thể hiện là có ảnh hưởng trực tiếp lên khả năng gây miễn dịch, bởi vì khả năng trung hòa CHIKV- $\Delta$ 5nsP3 đã bị mất.

Tóm lại, đã quan sát thấy rằng nhiều đột biến phát sinh trong quá trình cây chuyển trên tế bào Vero được định vị ở protein E2. Một số đột biến điểm trong số các đột biến điểm đã xác định ở protein E2 và/hoặc các phần khác của hệ gen về cơ bản là không ảnh hưởng đến khả năng gây miễn dịch của virut; cụ thể là đột biến H232Y[E2] và đột biến E247K[E2]. Tuy nhiên, một số đột biến trong số các đột biến đã xác định khác ở CHIKV- $\Delta$ 5nsP3 dẫn đến sự mất khả năng gây miễn dịch; cụ thể là đột biến E168K[E2] thường xuyên xảy ra, một mình hoặc ở dạng kết hợp với các đột biến khác. Điều ngoại trừ đáng chú ý là đột biến có cả hai đột biến E168K[E2] và đột biến A38S[nsP1], duy trì khả năng gây miễn dịch. Quan sát này cho thấy rằng đột biến A38S[nsP1] có ảnh hưởng làm giảm thiểu lên khả năng gây miễn dịch giảm do đột biến E168K[E2] mang lại. Ngoài ra, thể phân lập có đột biến G55R/H232Y[E2] và đột biến G577W[nsP2] cũng chứng tỏ khả năng gây miễn dịch kém, có lẽ chủ yếu là do đột biến G55R ở E2, bởi vì một mình đột biến H232Y có ảnh hưởng ít (xem P5B-03).

Đột biến E168K và đột biến G55R ở protein E2 virut Chikungunya được mô tả trước đó là làm điện tích bề mặt dương tăng lên, dẫn đến sự tương tác với heparan sulfat và/hoặc các Glycosaminoglycan (GAG) khác tăng, cuối cùng là thu được khả năng lây nhiễm cụ thể tăng. Trên nền tảng của CHIKV kiêu dại, các đột biến được cho thấy là gây ra kích thước mảng nhỏ hơn, do mở rộng kém hơn trên các đĩa qua trung gian bởi sự liên kết với heparan sulfat. Ngoài ra, các đột biến dẫn đến sự giảm độc lực của CHIKV ở mô hình chuột bị bệnh cơ xương (MSD), có sự lan rộng ở chuột đến các cơ quan giảm đi và do đó mức độ virut xâm nhập vào máu thấp hơn (Gardner CL, *et al.*, 2014, *ở trên*; Silva LA, *et al.*, A single-amino-acid polymorphism in Chikungunya virus E2 glycoprotein influences glycosaminoglycan utilization (2014) J Virol.; 88(5):2385-97). Thực tế là sự có mặt của đột biến E168K và đột biến G55R ở CHIKV kiêu dại khác dẫn đến sự giảm độc lực trung gian phù hợp với sáng chế về mặt kích thước mảng giảm hoặc khả năng gây miễn dịch *in vivo* giảm. Tuy nhiên, điều không mong đợi là hai đột biến này trên nền tảng của CHIKV-Δ5nsP3 đã giảm độc lực dẫn đến mất khả năng gây miễn dịch ở chuột như được báo cáo trong bản mô tả này.

Cũng được báo cáo là hiện tượng thông thường đôi với môi trường nuôi cây tế bào khác được cây chuyển các alphavirus chẳng hạn như virut Sindbis (SINV; Klimstra WB, *et al.*, Infection of neonatal mice with Sindbis virus results in a systemic inflammatory response syndrome (1999) J. Virol.; 73(12):10387-98; Klimstra WB, *et al.*, The furin protease cleavage recognition sequence of Sindbis virus PE2 can mediate virion attachment to cell surface heparan sulfate (1999) J. Virol.; 73(8):6299-306; Byrnes and Griffin, Binding of Sindbis virus to cell surface heparan sulfate (1998) J. Virol.; 72(9):7349-56), virut Ross River (RRV; Heil ML, *et al.*, An amino acid substitution in the coding region of the E2 glycoprotein adapts Ross River virus to utilize heparan sulfate as an attachment moiety (2001) J. Virol.; 75(14):6303-9) và virut Semliki Forest (SFV; Smit JM, *et al.*, Adaptation of alphaviruses to heparan sulfate: interaction of Sindbis and Semliki forest viruses with liposomes containing lipid-conjugated heparin (2002) J. Virol.; 76(20):10128-37) là sự thay đổi với các gốc tích điện-dương ở E2 mang lại khả năng lây nhiễm phụ thuộc heparan-sulfat *in vitro* tăng và các đột biến này có thể được chọn lọc trong cây chuyển *in vitro* ít dãy. Ngoài ra, đã thấy rằng các đột biến này dẫn đến sự giảm độc lực virut *in vivo* (Byrnes AP and DE Griffin, Large-plaque mutants of Sindbis virus show reduced binding to heparan sulfate, heightened viremia, and slower clearance from the circulation (2000) J. Virol.; 74(2):644-51; Klimstra WB, *et al.* 1999, *ở trên*).

Bởi vì tính không đồng nhất trình tự, cùng với sự giảm đồng thời về khả năng gây miễn dịch, đã rõ ràng ở cây chuyển P5 và P8 của CHIKV-Δ5nsP3, tính không đồng nhất trình tự ở các cây chuyển sớm hơn, cũng như là các ảnh hưởng của chúng lên khả năng gây miễn dịch, được thử nghiệm kỹ lưỡng hơn như được phác họa dưới đây.

**Ví dụ 3. Xác định tính không đồng nhất trình tự và khả năng gây miễn dịch của CHIKV-Δ5nsP3 ở cây chuyển P3**

Sự xuất hiện ở các cây chuyền sau của tính không đồng nhất trình tự với các ảnh hưởng bất lợi lên khả năng gây miễn dịch của CHIKV-Δ5nsP3 như đo được bằng hiệu giá kháng thể trung hòa xác đáng phát hiện cây chuyền tối ưu đặc trưng bởi cả khả năng gây miễn dịch cao cũng như là hiệu giá virut đủ để tạo ra vắc xin hữu hiệu.

Để xác định độ ổn định di truyền của CHIKV-Δ5nsP3 trong quá trình tạo ra MVSB (P1), WVS (P2) và chất thuốc CHIKV-Δ5nsP3 (“VLA1553”) (P3), các cây chuyền 1, 2 và 3 được tạo ra độc lập được giải trình tự. Như được xác định bằng cách giải trình tự Sanger, P0 (cứu sinh virut), P1 (MVSB) và P2 (WVS) không thể hiện tính không đồng nhất trình tự rõ ràng bất kỳ. Bước tiếp theo là để chứng tỏ khả năng tái tạo có độ ổn định di truyền của chất thuốc (DS) đã tinh chế bắt nguồn từ P3 bằng cách sử dụng P2 (WVS) để lây nhiễm. Tổng cộng, bốn mẻ thu P3 độc lập, gồm có các mẻ thu ngày 1 và ngày 2 kết hợp, được tạo ra trong hai bình thót cỗ-T T150 bằng cách sử dụng P2 (WVS) để lây nhiễm (MOI 0,01). Đối với mỗi bản sao, các mẻ thu riêng lẻ vào ngày 1 và ngày 2 được tập hợp (tổng thể tích ~50 ml) và cô đặc xấp xỉ gấp 10-lần (thiết bị siêu lọc 100 kDa Amicon). Thực hiện lọc pha loãng dựa trên 25 mM Tris/150 mM NaCl, độ pH 7,4, tiếp theo là xử lý protamin sulfat (nồng độ cuối cùng 2 mg/ml) để kết tủa ADN tế bào chủ. Sau đó dịch nổi bề mặt sạch được tinh chế thêm bằng sắc ký hấp thụ theo mẻ bằng cách sử dụng nhựa CaptoCore 700 (bổ sung ~1 ml bột nhão 50% trong đậm Tris/NaCl). Loại bỏ nhựa bằng cách ly tâm và bổ sung sucroza đến nồng độ cuối cùng bằng 10% để cho phép kết đông và rã đông CHIKV-Δ5nsP3. Sau đó chế phẩm cuối cùng được lọc tiệt trùng 0,2 µm và lưu trữ đông lạnh (<-65°C) đến khi xử lý tiếp.

Ở cây chuyền 3 (P3), không có tính không đồng nhất bởi việc kêu gọi bazơ tự động được phát hiện (Eurofins – tất cả < 20%). Tuy nhiên, bằng cách kiểm tra bằng mắt, phân đoạn nhỏ của quần thể virut thể hiện sự tăng phù hợp về tính không đồng nhất trình tự E168K và E247K ở gen đối với CHIKV glycoprotein E2, không có trong CHIKV-Δ5nsP3 (P0) cứu sinh cũng như là các mẫu MVSB và WVS. Fig.7 thể hiện sắc ký đồ giải trình tự đối với bốn mẫu P3 DS được tạo ra độc lập (các Ví dụ 1-4) so với virut lúc cây chuyền 0 (P0). Như được chỉ ra bằng bối cảnh khói, tính không đồng nhất G/A ở bộ ba mã hóa đối với axit amin 168 (vị trí axit nucleic hệ gen 8882) có thể phát hiện được trong cả bốn bản sao và được xác minh bằng phản ứng giải trình tự ngược, mà phát hiện thấy tính không đồng nhất như nhau. Cùng vị trí ở mẫu P0 thể hiện đỉnh nhọn đối với G ở phản ứng giải trình tự xuôi (và C ở phản ứng giải trình tự ngược). Mặt khác, tính không đồng nhất E247K (vị trí axit nucleic hệ gen 9119) có mặt nhưng có thể phát hiện vừa đủ trong sắc ký đồ giải trình tự.

Ngoài ra, sự giải trình tự thứ hệ tiếp theo của P3 được tiến hành và so sánh với việc giải trình tự cây chuyền 1 (P1-MVSB) để định lượng lượng của E168K và E247K trong quần thể virut. Như có thể được nhìn thấy trong Fig.8, ở giai đoạn P1-MVSB, chỉ mức độ không đồng nhất trình tự rất thấp có thể phát hiện được (tất cả ở dưới mức nền; giới hạn 15% được chỉ ra bởi đường chấm chấm). Tuy nhiên, hai mẫu P3 tiêu biểu thể hiện sự tăng tổng thể về tính không đồng nhất trình tự, có hai đột biến ở gen E2 mà đạt

đến hoặc tăng lên trên mức nền (E168K ở 18% và 15% của quần thể virut – vị trí axit nucleic hệ gen 8882 và, đến mức độ thấp hơn, E247K – vị trí axit nucleic hệ gen 9119).

Tóm lại, sự có mặt của đột biến E168K ở protein E2 của CHIKV-Δ5nsP3 đã được xác định bằng cách giải trình tự Sanger và NGS ở tám mẫu P3 được tạo ra độc lập, chứng tỏ khả năng tái tạo của kết quả này. Các ví dụ giải trình tự tiêu biểu được thể hiện trong Fig.7 và Fig.8. Các dữ liệu này chứng tỏ rằng sự xuất hiện đột biến E168K ở protein E2 của virut CHIKV-Δ5nsP3 có khả năng tái tạo cao khi cây chuyển trong tế bào Vero và nó làm giảm bớt khả năng gây miễn dịch của virut CHIKV-Δ5nsP3 đã giảm độc lực như được thể hiện trong Ví dụ 2 mà ở đó các virut bắt nguồn từ mảng P5B(P5B-04 và P5B-07 trong Fig.6) không gây miễn dịch. Hai đột biến bổ sung, G55R và G82R, được quan sát thấy trong quá trình cây chuyển CHIKV-Δ5nsP3 trên tế bào Vero, giống như E168K đã được báo cáo là ảnh hưởng đến tính gây độc của CHIKV (Gardner CL, et al., 2014, *ở trên*, Silva LA, et al., 2014, *ở trên* và Gorchakov R, et al., Attenuation of Chikungunya virus vaccine strain 181/clone 25 is determined by two amino acid substitutions in the E2 envelope glycoprotein (2012) J. Virol.; 86(11):6084-96; Epub 2012/03/30), dẫn đến sự giảm độc lực của virut. Vì hai đột biến này cũng tác động tiêu cực lên khả năng gây miễn dịch của CHIKV-Δ5nsP3, nên sự xuất hiện của chúng để tạo ra ứng viên vắc xin CHIKV-Δ5nsP3 gây miễn dịch cao.

Các vị trí của axit amin dễ xảy ra đột biến trong đime E1/E2 được thể hiện trong Fig.9. Ba axit amin E2 G55, G82 và E168 đều có thể tiếp cận được trên bề mặt và do đó đột biến của chúng có thể có khả năng ảnh hưởng đến sự tương tác của CHIKV với thụ thể tế bào của nó. Ngược lại, E247[E2] dễ bị che lấp trong cấu trúc protein và do đó có thể không phải được bộc lộ trên bề mặt đến cùng mức độ. Vị trí của E247 có thể là một lý do tại sao đột biến E247K không ảnh hưởng đáng kể đến khả năng gây miễn dịch của CHIKV-Δ5nsP3 như được thể hiện ở trên.

#### **Ví dụ 4. Xác định ngưỡng của đột biến E168K để làm mất khả năng gây miễn dịch của quần thể virut CHIKV-Δ5nsP3 không đồng nhất**

Các quan sát ở trên cho thấy rằng đột biến E168K[E2] xuất hiện sớm và thường xuyên trong quá trình cây chuyển CHIKV-Δ5nsP3 trên tế bào Vero và có liên quan đến sự mất khả năng gây miễn dịch. Để phát triển quy trình sản xuất đảm bảo của vắc xin virut Chikungunya sống-đã giảm độc lực gây miễn dịch, hữu hiệu, sự dung chịu đối với đột biến này ở mẫu vắc xin CHIKV-Δ5nsP3 được thử nghiệm bằng cách điều chế các tỉ lệ khác nhau của chất thuốc P3 và virut P5B-07 (thể đột biến đơn lẻ E168K; xem **Bảng 3**).

Chất thuốc cây chuyển 3 (P3), mà thể hiện khoảng 20% tính không đồng nhất E168K (dữ liệu không được thể hiện), được trộn với chế phẩm của CHIKV-Δ5nsP3 từ thể phân lập P5B-07 (thể đột biến E168K) ở các tỉ lệ bằng 1:0,1, 1:1 và 1:10. Hỗn hợp được giải trình tự để xác minh tần suất xấp xỉ của đột biến E168K ở mỗi chế phẩm virut. Như được thể hiện trong Fig.10 (xem hàng được gắn nhãn tính không đồng nhất), lượng tương đối của nucleotit A, so với nucleotit G kiểu đại, được thể hiện là tăng lên cùng với

hàm lượng tăng của thể phân lập P5B-07 được bổ sung (lên đến 100% A trong nhóm đối chứng E168K 7).

Để xác định ảnh hưởng của đột biến E168K lên khả năng gây miễn dịch, chuột C57Bl/6 được gây miễn dịch dưới da bằng các mẫu CHIKV-Δ5nsP3 khác nhau được định rõ trong Fig.10 với liều lượng được dự định bằng  $3 \times 10^4$  TCID<sub>50</sub> (liều lượng thực sự được thể hiện trong Fig.11D). Huyết thanh chuột ngày 21 được thu lấy và huyết thanh riêng lẻ từ các nhóm 1:0,1, 1:1 và 1:10 được thử nghiệm và so sánh với huyết thanh được tập hợp từ hai nhóm đối chứng, P3 (Nhóm 6) và P5B-07 (E168K; Nhóm 7) bằng cách sử dụng thử nghiệm trung hòa dựa trên – hạt sao chép virut (VRP) (Fig.11). VRP giống như CHIKV kiểu đại thiếu khả năng sao chép thể hiện protein capsit và protein vỏ của virut LR2006-O PY1. Thực hiện phương pháp này về cơ bản như được mô tả bởi Gläsker S, và công sự. (Virus replicon particle based Chikungunya virus neutralization assay using Gaussia luciferase as readout (2013) Virol. J.; 10:235). VRP được tạo ra bằng cách đồng biến nạp tế bào BHK-21 với bản sao CHIKV biểu hiện Gaussia luxiferaza (GLuc) và hai ARN trợ giúp lần lượt biểu hiện protein capsit CHIKV kiểu đại và các protein cấu trúc còn lại (E3, E2, 6K và E1). Hạt lây nhiễm một chu kỳ thu được được sử dụng trong thử nghiệm trung hòa CHIKV bằng cách sử dụng GLuc được tiết ra dưới dạng kết quả đọc. Khi trung hòa VRP trong thử nghiệm Luxiferaza, có thể đo sự giảm biểu hiện GLuc bởi tế bào BHK-21. Đã quan sát thấy rằng khả năng gây ra sự miễn dịch trung hòa giảm đi theo lượng thể đột biến E168K cao hơn (lần lượt các Fig.11A, B và C). Số lượng chuột riêng lẻ thể hiện đáp ứng miễn dịch dương tính, dương tính thấp hoặc âm tính với virut Chikungunya được thể hiện trong Fig.11D.

Phát hiện này xác nhận rằng, vì tỉ lệ của thể đột biến E168K với các hạt virut kiểu đại trong quần thể virut tăng, khả năng gây miễn dịch của CHIKV-Δ5nsP3 ở chuột giảm bớt. Do đó điều thiết yếu là giám sát kỹ lưỡng vị trí E168 ở E2 để đảm bảo khả năng gây miễn dịch cao của vắc xin CHIKV-Δ5nsP3. Dựa trên các quy trình cây chuyển trước đó và sự định lượng E168K trong quần thể virut ở cây chuyển 8, đã quan sát thấy rằng ở tỉ lệ bằng khoảng 70% của đột biến E168K trong quần thể CHIKV-Δ5nsP3, khả năng gây miễn dịch bị mất đi khi phân tích tập hợp huyết thanh chuột trong PRNT.

#### **Ví dụ 5. Quy trình ngược dòng để làm giảm đột biến E168K ở CHIKV-Δ5nsP3**

Mục đích của ví dụ này là để xác định đặc điểm quy trình dựa trên nuôi cây tế bào Vero được tối ưu hóa để tạo ra CHIKV-Δ5nsP3 trong các chai hình ống lăn. Ảnh hưởng của một vài tham số quy trình ngược dòng (MOI, ngày lây nhiễm tế bào Vero sau khi lâng ra đĩa và nhiệt độ ủ) lên sản lượng virut và tính không đồng nhất trình tự của protein E2 được thử nghiệm bằng cách sử dụng Ngân Hàng Giống Virut Hoạt Động GMP (GMP WVS B3005044; cây chuyển 2, cũng được đề cập trong bản mô tả này dưới dạng “CHIKV-Δ5nsP3 P2”) và ngân hàng tế bào hoạt động Vero R&D để tạo ra chất thuốc (DS; cây chuyển 3, tức là cũng được đề cập trong bản mô tả này dưới dạng “CHIKV-Δ5nsP3 P3”).

*Điều chế GMP WVS B3005044*

Ngân Hàng Giống Virut Tiền-Trưởng Thành đã xác định đặc điểm (PMVSB, Ngân Hàng Giống Virut Tiền-Trưởng Thành AFR886/197579 từ cừu sinh virut từ các tế bào Vero) được thiếp lập trong điều kiện R&D và Ngân Hàng Giống Virut Tiền-Trưởng Thành được sử dụng để tạo ra Ngân Hàng Giống Trưởng Thành của CHIKV-Δ5nsP3 trong điều kiện GMP. Ngân Hàng Giống Virut Hoạt Động GMP, VLA78-1553-WVSB-2016, mẻ B3005044 được tạo ra ở Halix B.V. trong cùng điều kiện GMP và phương pháp tạo ra như được mô tả đối với VLA78-1553-MVSB-2016, mẻ #B3005567. Tóm lại, Ngân Hàng Tế Bào Hoạt Động VERO (ký hiệu nội bộ: ICB 2014/002) được mở rộng trong bốn giai đoạn ở chủng giống bằng cách sử dụng bình thót cỗ T75cm<sup>2</sup> (1X), sau đó bình thót cỗ T175cm<sup>2</sup> (3X) và trong giai đoạn cuối 6xchai hình ống lăn 850cm<sup>2</sup> như được thể hiện trong Fig.12. Bốn trong sáu chai hình ống lăn được sử dụng để tạo ra ngân hàng giống CHIKV-Δ5nsP3. Tổng lượng tế bào trong bốn chai hình ống lăn được xác định. Ngân Hàng Giống Virut Tiền-Trưởng Thành được sử dụng để tạo ra Ngân Hàng Giống Virut Trưởng Thành CHIKV-Δ5nsP3. Sau đó, Ngân Hàng Giống Virut Trưởng Thành CHIKV-Δ5nsP3 được sử dụng để tạo ra Ngân Hàng Giống Virut Hoạt Động CHIKV-Δ5nsP3. Thực hiện lây nhiễm ở tất cả giai đoạn tại MOI bằng 0,01. Sau 24 giờ lây nhiễm (35°C; CO<sub>2</sub> 5%; 0,5 VÒNG/PHÚT) thu hoạch CHIKV-Δ5nsP3. Bổ sung dung dịch dự trữ Tris và sucroza đến nồng độ cuối cùng bằng 5% Sucroza và 25 mM Tris trong tập hợp thu hoạch. Sau khi tạo chế phẩm, tập hợp được lọc qua thiết bị lọc 0,22 μm được tiệt trùng bằng hơi nước vào vật chứa xử lý sinh học 500 ml tiệt trùng bằng cách sử dụng bơm nhu động. Việc nạp vào các lọ được thực hiện từng lọ một với 0,7 ml mẻ thu được lọc và tạo chế phẩm bằng cách sử dụng bơm nạp nhu động. Sử dụng thiết bị đóng nắp / mở nắp ThermoFisher để mở và đóng các lọ Lạnh Sâu Chất Nền 2 D. Các lọ đã nạp ngân hàng giống GMP được lưu trữ ở nhiệt độ <-65°C.

#### *Nuôi cây tế bào Vero*

Nuôi cây tế bào Vero được tiến hành ở nhiệt độ 35°C và CO<sub>2</sub> 5% trong các Bình thót cỗ-T T75 cm<sup>2</sup> (T75), T175 cm<sup>2</sup> (T175) và chai hình ống lăn 850cm<sup>2</sup> (850RB). Các tế bào Vero được sử dụng trong các thí nghiệm khác nhau bắt nguồn từ ngân hàng tế bào trưởng thành GMP MCB ICB/2014/001. Ký hiệu nội bộ của ngân hàng tế bào hoạt động nghiên cứu này là Bk5685. Ngân hàng tế bào trưởng thành GMP bắt nguồn từ ngân hàng tế bào Vero WHO 10-87 P134 có nguồn gốc từ ngân hàng Institut Merieux (Aventis Pasteur) P129 và cuối cùng là từ ngân hàng ATCC CCL 81 P113 gốc. Chi tiết hơn về dòng nuôi cây tế bào được thể hiện trong Fig.12. Duy trì tế bào trong môi trường MEM có bổ sung FBS 10% và L-glutamin 2 mM.

#### *Sự Tạo Ra Virut Trong Các Chai Hình Ống Lăn 850cm<sup>2</sup>*

Sau hai, bốn hoặc năm ngày mở rộng tế bào ở nhiệt độ 35°C trong 850RB, tế bào được rửa bằng PBS và được lây nhiễm bằng CHIKV-Δ5nsP3 (WVSB B3005044) tại các MOI bằng 0,1, 0,01 hoặc 0,001 TCID<sub>50</sub>/tế bào. Để tạo ra virut, tế bào đã lây nhiễm được ủ ở nhiệt độ 37°C, 35°C hoặc 28°C trong 100 ml môi trường MEM có bổ sung glutamin 2 mM.

### *Chuẩn độ virut*

Xác định hiệu giá virut trên tế bào Vero bằng cách sử dụng thử nghiệm TCID<sub>50</sub>. Tế bào được cấy trong vi đĩa và được lây nhiễm bằng các mẫu virut pha loãng liên tiếp gấp 10-lần trong EMEM có bổ sung FBS 0,5% và glutamin 2 mM. Sau một tuần ủ ở nhiệt độ 35°C / CO<sub>2</sub> 5%, giám sát tác dụng gây bệnh tế bào do virut gây ra và tính toán hiệu giá virut theo phương pháp Reed và Muench (Reed, L.J.; Muench, H. A simple method of estimating fifty percent endpoints (1938) The American Journal of Hygiene 27:493–497).

### *Tách chiết hệ gen virut và giải trình tự*

Axit nucleic virut được tách chiết và tinh chế từ dịch nỗi bề mặt môi trường nuôi cấy tế bào Vero tại các thời điểm được chỉ định bằng cách sử dụng Bộ Kit Quay Virut QIAamp MinElute (Qiagen) và tiến hành tổng hợp cADN bằng cách sử dụng Hệ Thống Tổng Hợp Sợi-Thứ Nhất SuperScript III (ThermoFischer) bằng cách sử dụng các hexamer ngẫu nhiên. Để giải trình tự vùng gen E2, trước hết, PCR với Polymeraza Độ Tin Cậy Cao Phusion (ThermoFischer) được thực hiện bằng cách sử dụng các mồi 16F, 16R, 17F, 17R, 18F và 18R (đối với các trình tự mồi xem Bảng 1) để khuếch đại các vùng chòng lên nhau của gen E2 CHIKV. Sau khi tinh chế sản phẩm khuếch đại PCR, tiến hành giải trình tự Sanger ở MWG Eurofins, Đức. Ngoài việc phân tích tính không đồng nhất trình tự được phát hiện bằng cách kêu gọi bazơ tự động (>20%), tất cả sắc ký đồ giải trình tự được đọc thủ công cũng để phát hiện tính không đồng nhất dưới giới hạn phát hiện (< 20%).

### *Sự tối ưu hóa quy trình sản xuất Chất Thuốc CHIKV-Δ5nsP3 P3 gây miễn dịch*

Để tối ưu hóa quy trình sản xuất CHIKV-Δ5nsP3 cấy chuyển 3 trên tế bào Vero, các MOI khác nhau, thời gian lây nhiễm tế bào Vero sau khi cấy và nhiệt độ ủ được thử nghiệm ở tất cả các dạng kết hợp như được thể hiện trong **Bảng 5**. Ngoài ra, phân tích sản lượng vào các ngày khác nhau sau khi lây nhiễm. Ba khía cạnh của virut đã thu hoạch được giám sát: sản lượng virut, tính ổn định của hiệu giá cũng như là mức độ của tính không đồng nhất trình tự của protein cấu trúc E2.

**Bảng 5.** Tham số thử nghiệm về việc tạo ra CHIKV-Δ5nsP3 trên tế bào Vero trong các chai hình ống lăn 850cm<sup>2</sup> và tham số của quy trình đã tối ưu hóa được chỉ ra.

	Được Thử Nghiệm*	Quy Trình Được Tối Ưu Hóa
<b>MOI (TCID<sub>50</sub>/tế bào)</b>	0,1, 0,01, 0,001	0,01
<b>Thời gian lây nhiễm tế bào (sau khi cấy tế bào)</b>	D2, D4, D5	D4
<b>Nhiệt độ (°C)</b>	37, 35, 28	35

\* tất cả các kết hợp được tiến hành.

### *Sự Tạo Ra Virut*

Động lực của sự tạo ra CHIKV-Δ5nsP3 đạt được đối với tất cả các điều kiện được thử nghiệm được thể hiện trong Fig.13. Quy trình tối ưu hiện nay được sử dụng để tạo ra CHIKV-Δ5nsP3 (35°C, MOI 0,01, lây nhiễm vào ngày 4 sau khi cấy tế bào Vero) cũng được bao gồm trong thí nghiệm, thể hiện sản lượng virut ở mức độ được mong đợi bằng  $10^{8,0-8,5}/\text{ml}$  24 giờ sau khi lây nhiễm (Fig.13B).

So với MOI và thời gian lây nhiễm, nhiệt độ có tác động nhiều nhất lên động lực của sự tạo ra virut. Ở nhiệt độ 37°C và 35°C (lần lượt Fig.13A và 13B), đạt được sản lượng tối đa vào ngày một sau khi lây nhiễm. Khả năng lây nhiễm CHIKV-Δ5nsP3 giảm đáng kể trong suốt 24 giờ sau đó, cùng với hiệu giá virut ít rõ rệt một chút bị mất ở nhiệt độ 35°C. Sự giảm nhiệt độ đến 28°C dẫn đến sự thay đổi đáng chú ý về động học virut. Sản lượng virut tối đa bị trì hoãn từ một đến bốn ngày phụ thuộc vào MOI được sử dụng; và tính ổn định hiệu giá virut cải thiện đáng kể được quan sát thấy (Fig.13C). Tổng sản lượng virut được tạo ra từ tất cả các mẻ thu được thể hiện trong Fig.14. Đối với điều kiện 28°C như được thể hiện trong Fig.13A, sản lượng của hai mẻ thu được kết hợp (ngày 1 và ngày 2 sau khi lây nhiễm); đối với điều kiện 35°C (Fig.13B), sản lượng của tất cả ba mẻ thu được kết hợp (ngày 1-3) và đối với điều kiện 37°C (Fig.13C), sản lượng của năm mẻ thu (ngày 1-5) được kết hợp.

Để hoàn thiện các quan sát ban đầu, sản lượng virut và dữ liệu tính ổn định hiệu giá được phân tích bằng cách sử dụng mô hình bậc hai bề mặt đáp ứng (các Fig.15 và 16). Đối với sản lượng virut, sử dụng giá trị hiệu giá virut tối đa. Đối với tính ổn định hiệu giá virut, giá trị delta là kết quả từ phép trừ của hiệu giá tối đa từ hiệu giá đo được một ngày sau trong quy trình sản xuất được tính toán và sử dụng. Đối với tổng sản lượng virut, bổ sung các hiệu giá riêng lẻ tại mỗi thời điểm.

Với phân tích ANOVA của cả hai mô hình, có thể chỉ ra các yếu tố ảnh hưởng đáng kể về mặt thống kê (các Fig.15A và 16A). Xác nhận các quan sát trước đó, nhiệt độ là yếu tố ảnh hưởng nhiều nhất đến sản lượng virut và tính ổn định. Cụ thể là, nhiệt độ thấp (28°C) cho phép hiệu giá virut cao hơn trong khi đó vẫn giữ hiệu giá virut khá ổn định theo thời gian. Tuy nhiên, không có toàn bộ tổng sản lượng virut cao hơn đáng kể ở nhiệt độ này so với 35°C (cụ thể xem Fig.14).

Thời gian lây nhiễm sau khi cấy tế bào Vero cũng ảnh hưởng đến sự đáp ứng, nhưng đến mức độ thấp hơn. MOI không có ảnh hưởng đáng kể. Đối với cả hai mô hình, sự lây nhiễm lúc 72 giờ sau khi cấy tế bào là thời gian phù hợp để lây nhiễm tế bào. Ngược lại, nhiệt độ đơn lẻ không cho phép kết hợp sự tạo ra virut tối ưu và tính ổn định hiệu giá bởi vì sản lượng virut cao nhất được phát hiện ở nhiệt độ 35°C và hàm lượng ổn định nhất được quan sát thấy ở nhiệt độ 28°C (các Fig.15B và 16B). Tổng sản lượng virut tối đa trong thời gian ngắn nhất sau khi lây nhiễm đạt được ở nhiệt độ 35°C (xem Fig.14).

#### *Phân tích trình tự gen protein E2*

Các mẫu virut được thu vào ngày 2 hoặc ngày 5 sau khi lây nhiễm tế bào Vero (lây nhiễm vào ngày 4 sau khi cấy) được chọn để thực hiện phân tích trình tự ARN hệ gen của protein cấu trúc E2 virut. Các mẫu này là tiêu biểu nhất để hợp lưu tế bào Vero

trên các chai hình ống lăn. Bảng 6 và Bảng 7 dưới đây tóm tắt tỉ lệ phần trăm của tính không đồng nhất được ước tính đối với bốn vị trí axit amin (AA) dựa trên trình tự axit nucleic được xác định bằng cách giải trình tự Sanger. Bảng 6 thể hiện dữ liệu đối với **CHIKV-Δ5nsP3** sinh trưởng ở ba nhiệt độ khác nhau và thu hoạch hai ngày sau khi lấy nhiễm và Bảng 7 thể hiện dữ liệu đối với **CHIKV-Δ5nsP3** sinh trưởng ở nhiệt độ 28°C và thu hoạch 5 ngày sau khi lấy nhiễm.

**Bảng 6. Phân tích trình tự hệ gen ARN đối với protein virut E2 từ mẻ thu mẫu D2 sau khi lấy nhiễm.** Đã thấy rằng tỉ lệ phần trăm của độ không đồng nhất axit nucleic được ước tính tương ứng với bốn vị trí AA (được chỉ ra trong dấu ngoặc), như được xác định bằng cách giải trình tự Sanger. Tính không đồng nhất ở vị trí axit nucleic 9649 là đột biến câm.

Thời gian sau cấy trong các chai hình ống lăn	D4								
Nhiệt độ	28°C			35°C			37°C		
MOI (TCID <sub>50</sub> /tế bào)	0,1	0,01	0,00 1	0,1	0,01	0,00 1	0,1	0,01	0,00 1
Vị trí 8543 (G55R)	0	0	0	0-5	0-5	0-5	0	0	0
Vị trí 8882 (E168K)	30	30	40- 50	25	25	30- 50	25	25	30- 50
Vị trí 9119 (E247K)	0-5	0-5	0-5	5-10	10	10- 20	10- 20	10- 20	10- 20
Vị trí 9649 (A423, Câm)	0-5	5-10	10- 20	5	5	5-10	0-5	0-5	5-10

**Bảng 7. Phân tích trình tự hệ gen ARN đối với protein virut E2 từ mẻ thu mẫu D5 sau khi lấy nhiễm.** Đã thấy rằng tỉ lệ phần trăm của độ không đồng nhất axit nucleic được ước tính tương ứng với bốn vị trí AA (được chỉ ra trong dấu ngoặc), như được xác định bằng cách giải trình tự Sanger. Tính không đồng nhất ở vị trí axit nucleic 9649 là đột biến câm.

Thời gian sau cấy trong các chai hình ống lăn	D4		
Nhiệt độ	28°C		
MOI (TCID <sub>50</sub> /tế bào)	0,1	0,01	0,001
Vị trí 8543 (G55R)	0	0	0
Vị trí 8882 (E168K)	30-40	40-50	50
Vị trí 9119 (E247K)	0-5	0-10	10
Vị trí 9649 (A423, Cám)	0-5	0-5	10-20

MOI, nhiệt độ, ngày lây nhiễm sau khi cấy tế bào Vero và ngày thu hoạch mẫu đều ảnh hưởng đến sản lượng và chất lượng của CHIKV-Δ5nsP3 khi được tạo ra ở các tế bào Vero. Tuy nhiên, độ mạnh của mỗi tham số có tầm quan trọng khác nhau. Ví dụ, các kết quả cho thấy sự tương quan giữa MOI và mức độ không đồng nhất; tức là, đầu vào virut lúc lây nhiễm càng thấp, mức độ không đồng nhất được quan sát thấy lúc thu hoạch càng cao. Nhiệt độ ủ dường như không ảnh hưởng đến tính ổn định của trình tự nucleotit, ngoại trừ Vị trí 9119 (E247K) mà tại đó mức độ cao hơn của tính không đồng nhất được quan sát thấy ở nhiệt độ 37°C (**Bảng 6**). Ngoài ra, mẻ thu mẫu được thu lấy sau đó trong động học virut kích hoạt mức độ cao hơn một chút của tính không đồng nhất đối với cùng vị trí AA.

Để hoàn thiện phân tích thứ nhất này, việc lập mô hình toán học dữ liệu thô cũng được tiến hành (**các Fig.17 và 18**). Chỉ ba vị trí axit nucleic (Vị trí 8882, 9119, 9649) có thể được phân tích vì không có mô hình đáng kể được tính đổi với vị trí 8543. Như được chỉ ra trong Fig.17, nhiệt độ và MOI có ảnh hưởng khác nhau tùy thuộc vào vị trí axit nucleic được xem xét. MOI ảnh hưởng đánh kể đến tính không đồng nhất được quan sát thấy đối với vị trí axit nucleic 8882 và 9649, nhưng không có ảnh hưởng đối với 9112. Nhiệt độ ảnh hưởng đến các vị trí 9112 và 9649, nhưng không có ảnh hưởng đối với 8882 (Fig.17). MOI được cho thấy là có ảnh hưởng nhất quán đến mức độ không đồng nhất khi các mẫu thu D2 và D5 sau khi lây nhiễm từ virut được tạo ra ở 28°C được so sánh—làm giảm thiểu mức độ của tính không đồng nhất AA được quan sát thấy khi tế bào được cấy truyền với lượng virut cao (MOI 0,1 TCID<sub>50</sub>/tế bào). Quan sát này có thể gợi ý sự thiết lập của các cài đặt tham số quy trình mới với MOI cao hơn nhằm để đạt được sự tạo ra virut tối đa/tính ổn định hiệu giá trong khi đảm bảo mức độ không đồng nhất thấp trong protein E2. Tuy nhiên, MOI bằng 0,1 dẫn đến sự tiêu thụ ngân hàng giống virut hoạt động GMP cao hơn đáng kể, do đó làm giới hạn khả năng ứng dụng trong công nghiệp thực tế.

Ngày thu hoạch sau khi lây nhiễm chỉ ảnh hưởng đến sự biến đổi của vị trí axit nucleic 9119 (Fig.18).

## CÁC TRÌNH TỰ

SEQ ID NO: 1

Trình tự nucleotit của CHIKV-Δ5nsP3

GATGGCTCGTGAGACACACGTTACCAAGTCTACTGCTCTACTCTGCAAAGCAAGAGATTAA  
TAACCCATCATGGATCCTGTGTACGGACATAGACGCTGACAGCGCTTTGAAGGCCCTGCAACG  
TGCATCCCCATGTTGAGGGAGCAAGGAGGTACACCGAATGACCATGCTAATGCTAGAGCGT  
TCTCGCATCTAGCTATAAAACTAATAGAGCAGGAAATTGACCCGACTCAACCACCTGGATATCGGC  
AGTGCAGCCAGCAAGGAGGATGATGTCGGACAGGAAGTACCAACTGCGTCTGCCGATGCGCAGTGC  
AAGATCCCAGAGAGACTCGCAATTATGCGAGAAAGCTAGCATCTGCCGAGGAAAAGTCTGGACAG  
AAACATCTGGAAAGATCGGGACTTACAAGCAGTAATGGCCGTGCCAGACACGGAGACGCCAAC  
TTCTGCTTACACACAGACGCTCATGAGACAGAGAGCAGACGTCGCTATATACCAAGACGTC  
TGTACACGCACCCACGTCGCTATACCACAGGGATTAAAGGGTCCGAGTGGCGTACTGGGTTGGGT  
TCGACACAACCCGTTCATGTACAATGCCATGGCGGGTGCCTACCCCTCATACTCGACAAACTGGGCA  
GATGAGCAGGTACTGAAGGCTAAGAACATAGGATTATGTTAACAGACGTCGCTATACCAAGACGTC  
GCAAGTTGTCTATTATGAGAGGGAAAAAGCTAAAACCGTGCACCGTGTGCTTCAAGAGGTCA  
ACGCTCTACCCGAAAGCCGCAAGCTACTTAAGAGCTGGCACCTGCCATCGGTGTTCCATTAAAGGG  
CAAACTCAGCTTACATGCCGCTGTGATACAGTGGTTCTGAGGGCTACGTCGTTAACAGAAC  
CGATGAGCCCAGGCCTTATGGAAAAAACACAGGGTATGCCGTAACCCACCGCAGACGGATTCC  
GATGTGCAAGACTACCGACACGGTTGACGGCGAAAGAACATGTCATTCTCGGTGTCACATACGTGCC  
CGACCATTGTGATCAAATGACGGCATCCTGCTACAGAACGTCACGCCGGAGGATGACAGAAC  
TTGGTGGGGCTGAACCAGAGAACATAGTGGTTACGGCAGAACGCAACGGAACATCGAACACC  
ATTATCTGCTTCCCGTGGTCGCCAACGCTTCAGTAAGTGGCAAAGGAGTGGCGAACAGAC  
GATGAAAAACTCTGGGGCTAGAGAACACTGACCTGCTGTCTATGGCATTCAAGAAC  
AGAAAACACACACGGTCTACAAGAGGCCTGATACCCAGTCATTAGAACGTTAGGGCCAG  
CAGCTTGTGGTACCGAGTCTGTTGCGGCCAGGGAGGTATGCCGAGACAGAGCGGGCG  
GTTAAGCAAGGTGCCAAAACCGACCTGATCCCATACAGCGGAGACGCCGAGAAC  
GAAAAAGAACGAGGAGAACGAGAACGAGAACGAGAAC  
GCACAGGAAGATGTCAGGTCGAAATCGACGTGGAACAGCTGAGGACAGAGCGGGCG  
TAGAGACTCCGAGAGGAGCTAAAGTTACTGCCAACCAACAGACCACTGCGTGGGAGAGTAC  
GGTACTCTCCCCGAGACCGTACTACGTAGCCAGAACGCTCAGTCTGATTACGCTTGGCG  
TGAAGACGTGACGCACAACGGACGAGCAGGGAGGTATGCCGAGACAGAGCG  
AGTGCCCTCAGGCTATGCAATCTGCCCTGAAGACTTCCAGAGTCTAACGCAAAGCG  
ATAACGAAAGAGAGAGTCGAAACAGAAAGCTACACCATTGCGATGCA  
CGACGAAGAGTCGATGAGCTGGTGGGGAGAGAGAACACGAGTACGTC  
GGTACTAGCGGAAAGAACGAGAACACTGCCAACAAATCACCACCG  
AGAGAACATGCTGAGAACAGAACGAGAAC  
GGTACTAGCGGAAAGAACGAGAACACTGCCAACAAATCACCACCG  
AGAGAACATGCTGAGAACAGAAC  
ACGTAGACGAGGGTGTGACTCGCTGCTTGAATGGATGCA  
CAGAAAGTTGTACTTGTGGTACCCGAAGCAGTGC  
CTGACTGGTACTGGTGGGAGAGAAC  
CTATAACACATCTGCACCCAAAGTGTACCAAAAGTATCTC  
CCGCAATTGTGTCATCGTTGCATTACGAAGGCAAATGCG  
GTAGTGGACACTACAGGCTAACAAAACCTGAC  
GGTAAACAACTGCAAATTGACTATCGTGGATACGAGG  
CCAGAAAAGGAGTTACGAGTTAGACAAAAGTTAATG  
GCACGTCAACGTACTCCTAACCGTACGG  
GGATAAAAGACGCTGCAGAACCCACCG  
GCATGCATCAATAATGGCGGGCATCTGCAGTC  
ACGTTGTTGGCTAAGAGCTTGGCCCTATCCTCG  
39

TGGTCTCAGATAATTCAAGCCTCAAAGAAGACAAAGCATACTCACCTGAAGTAGCCCTGAATGAAAT  
 ATGTACCGCATGTATGGGTGGATCTAGACAGCGGGCTATTTCTAAACCGTTGGTCTGTGTATT  
 CGCGATAACCCTGGATAATAGGCCTGGAGGGAAAATGTTGGATTAAACCCGAGGCAGCATCC  
 ATTCTAGAAAGAAAGTATCCATTACAAAAGGGAAAGTGGAACATCAACAAGCAGATCTCGTGACTA  
 CCAGGAGGAAGAAGACTTTAACCTTACCAACATCATACCGGCCAACAGGAGACTACCACACTC  
 ATTAGTGGCGAACACCGCCCAGTAAAAGGGAAAGAATGGAATGGCTGGTAACAAGATAAACGGC  
 CACCACGTGCTCGGTAGTGGCTATAACCTGCACTGCCTACTAACAGAGACTCACTGGGTAGCGCC  
 GTTAGGTGTCGCGGAGCGGACTACACATACAAACCTAGAGTTGGGTCTGCCAGCAACGCTTGGTAGGT  
 ATGACCTAGTGGTCATAAACATCCACACACCTTCGCATACACCATTACCAACAGTGCCTGAC  
 GCAATGAAACTGCAAATGCTCGGGGTGACTCATTGAGACTGCTCAAACCGGGCGCTCTATTGAT  
 CAGAGCATATGGTTACGAGATAGAACCACTAGTGAACGAGTCATCTCGTATTGGGACGCAAGTTAGAT  
 CGTAGAGCGTTGAAACCACTGTGTCACAGCAACACTGAGATGTTTCCTATTCAACACTTTG  
 ACAATGGCAGAAGGAATTCAACAACATGTGTCATGAAACAATCAACTGAATGCGACGCCCTCGTAGGACAG  
 GTCACCCGAGCAGGATGTGACCGTGTACCGGGTAAACGCATGGACATCGGAAGAACGATGAAG  
 AGTGCCTAGTCACGCCGTAACCCCGTACCGGGTACCGGGTGGCGGTGTTGCAAGGCAGTATA  
 AAATGGCCGGAGTCCTTAAGAACAGTGCACACCCAGTGGAACCGCAAAACAGTTATGCGGTA  
 CGTATCCAGTAATCCACGCTGTGGACCAAACCTCTTAATTATCGGAGTCTGAAGGGACCGGGAA  
 TTGGCAGCTGCCTATCGAGAACGAAAGTAACACTGAGCTGGAGTAAATAGTAGCTATAC  
 CTCTCCTCTCCACAGGTGTACTCAGGAGGGAAAGACAGGCTGACCCAGTCAGTGAACCACCT  
 ACAGCCATGGACTCGACGGATGCGACAGTGGTCATCTACTGCCGCACAAAGAACGATGGAGAAC  
 TATCTGAGGCCATACAGATCGGACCCAAGTAGAGCTGCTGGATGAGCACATCTCCATAGACTGCGAT  
 ATTGTTCGCGTGCACCCCTGACAGCAGCTGGCAGGCAAAAGGATAACGACACCAGGAAGGCGC  
 TGACTCATATCTAGAAGGGACCGTTTCATCAGACGGCTGTGGATATGGCGGAGATACTACTATG  
 TGGCCAAGCAAACAGAGGCCATGAGCAAGTCTGCCTATATGCCCTGGGGAAAGTATTGAATCGA  
 TCAGGCAGAAATGCCGGTGGATGATGCGACAGCAGCTGGCAGGCAAAACTGTCCTGCGCTTTGC  
 CGTTACGCTATGACTCCAGAACCGTCACCCGGCTTCGATGAACCACGTACAAGCATAATTGTGTG  
 TTCTCGTTCCCCCTCCAAAGTACAAAATAGAAGGAGTGCAAAAGTCAAATGCTCTAAGGTAATGC  
 TATTGACCACACGTGCCATCGCGTAAGTCCAAGGGCTTATAGAGGTGCCGTGGTAACCTT  
 GCGGCGTGTCTGATTGGTAATGAGCACCCTGCGCAGGCAAGAACGGCGAGGAGAA  
 ACCTGACTGTGACATGTGACGAGAGAGAACGGGAATATAACACCCATGGCTAGCGTCCGATTCTTAGG  
 GCAGAGCTGTGTCGGTGTACAAGAACAGCGGAGACCGTGTACACAGCAATGCTCTCAGGCAC  
 CACCGAGTACCGCCACGGAACCGAATCATCCGCCGATCTCCTCGGAGCATCAAGCAGACGTT  
 ATTACATTGGGACTTCACGAAGGAGAAATCGAAAGCTTGTCTTGAGCTACTAACCTGGAGA  
 CTTCTTACCAAGGAGAAGTGGATGACTTGACAGACAGCGACTGGTCCACGTGCTCAGACACGG  
 GAGTTAAGACTAGACAGGGCAGGTGGTATATATTCTCGTCGGACACCGGTCCAGGT  
 ATTACAACAAGTCAGTACGCCAGTCAGTGTGCTGGAGAGTCCACGAGGAGAACGTTAC  
 CCACCTAAGCTGGATGAAGCAAAGGAGCAACTATTACTTAAGAAACTCCAGGAGAGTG  
 CACACCGACGAC  
 CCAACAGAACGAGGTATCAGTCGCGCAAAGTAGAAAACATGAAAGCAGCAATCATCCAGAGACTAAA  
 GAGAGGCTGTAGACTATACTTAATGTCAGAGACCCAAAAGTCCCTACTTACCGGACTACATATCCGG  
 CGCCTGTGTACTCGCCTCCGATCAACGTCCGATTGTCCAATCCGAGTCCGAGTGGCAGCATGCAAT  
 GAGTTCTTAGCTAGAAACTATCCAACGTCTCATCATACCAAATTACGACGAGTATGATGC  
 ATATCTA  
 GACATGGTGGACGGGTGGAGAGTGTGCTGGACCGAGCGACATTCAATCCGTAAA  
 ACTCAGGAGCT  
 ACCCGAAACAGCACGCTTACCAACGCGCCCTCCATCAGAACGCGTGTACCGTCCCCATT  
 CCAGAACACA  
 CTACAGAACATGTACTGGCAGCAGCCACGAAAAGAACACTGCAACGT  
 ACACAGATGAGGAAATTACCA  
 CTTTGGACTCAGCAGTATTCAACGTGGAGTGTTCAAAAAATT  
 CGCATGCAACCAAGAAC  
 ACTGGAA  
 GAATTGCTGCCAGCCATTAGGATAACAAACTGAGAATT  
 TAGCAACCTATGTTACTAAACTAAAAGG  
 GCCAAAAGCAGCAGCGTATT  
 CGCAAAACCCATAATCTACTGCCACTACAGGAAGTACCA  
 ATGGGAT  
 AGGTTCACAGTAGATATGAAAGGGACGTAAGGTGACTCCTGGTACAAAGC  
 ATACAGAGGAAAGAC  
 CTAAGGTGAGGTTATACAGGCCGTGAACCC  
 TTGGCGACAGC  
 ATACCTATGTGGGATT  
 ACAGAGAG  
 CTGGTTAGGAGGCTGAACGCCGTCT  
 CCTACCC  
 AATGTACATACACTATT  
 TGACATGTCTGCCGAGGA  
 TTTCGATGCC  
 CATAGGCC  
 ACAC  
 TTAAGCC  
 AGGAGAC  
 ACTGT  
 GTTTGATGCT  
 TAGAGGATT  
 TAGGGTGGATC  
 TTGATAAGAGCCAAGATGATT  
 CACTTGCGCT  
 ACTGCTT  
 GATGCT  
 TAGAGGATT  
 TAGGGTGGATC

ACTCCCTGCTGGACTTGATAGAGGCTGTTGGAGAGATTCCAGCTGTACCTACCGACAGGTACG  
 CGCTTCAAGTTGCCGCCATGATGAAATCAGGTATGTTCTTAACCTGTTCGTCAACACATTGTTAAC  
 ATCACCATGCCAGCGAGTGCTGGAAGATCGTCTGACAAAATCCGCGTGCACGGCCTCATCGCGA  
 CGACAACATAATACTGGAGTCGTCTCGATGAATTGATGGCAGCCAGATGTGCCACTTGGATGAACA  
 TGGAAAGTGAAGATCATAGATGCAGTTGATCCTGAAAGCCCCTACTTTGTGGAGGGTTATACTG  
 ACGATACTGTGACAGGAACAGCTTGAGGTGGCAGACCCGCTAAAAGGCTTTAAACTGGCAA  
 ACCGCTAGCGGCAGGTGACGAACAAGATGAAGATAGAAGACGAGCGCTGGCTGACGAAGTGTACAG  
 ATGGCAACGAACAGGGCTAATTGATGAGCTGGAGAAAGCGGTATACTCTAGGTACGAAGTGCAGGG  
 ATATCAGTTGTTGTAATGTCCATGGCCACCTTGCAAGCTCCAGATCCAACCTCGAGAAGCTCAGAG  
 ACCCGTCATAACTTGTACGGCGGTCTAAATAGGTACGCACATACAGCTACCTATTTGCAGAAGCCG  
 ACAGCAAGTATCTAACACTAATCAGCTACAATGGAGTTCATCCAAACCCAACTTTACAATAGGA  
 GGTACCAGCCTCGACCCCTGGACTCCGCCCTACTATCCAAGTCATCAGGCCAGACCGCGCCCTCAG  
 AGGCAAGCTGGCAACTTGCCCAGCTGATCTCAGCAGTTAATAAACTGACAATGCGCGCGTACCA  
 ACAGAAGCCACGAGGAATCGGAAGAATAAGAAGCAAAAGCAACAGGGCCACAAAACAA  
 CACAAATCAAAGAAGCAGCACCTAAAAAGAAACCGGCTAAAAGAAAAAGAAGCCGGCCCGCAG  
 AGAGAGGATGTGATGAAAATCGAAAATGATTGATTTCGAAGTCAAGCACGAAGGTAAGGTAACA  
 GGTTACCGCGTGCCTGGTGGGGACAAAGTAATGAAACCAGCACAGTAAAGGGGACCATCGATAACG  
 CGGACCTGGCAAACACTGGCTTAAGCGGTATCTAAGTATGACCTTGAATGCGCGAGATAACCGTG  
 CACATGAAGTCCGACGCTCGAAGTTCACCCATGAGAAACCGGAGGGTACTACAACCTGGCACCACG  
 GAGCAGTACAGTACTCAGGAGGCCGGTTACCATCCCTACAGGTGCTGGCAAACCCAGGGACAGCG  
 CAGACCGATCTCGACAACAAGGGACGCGTGGGCCATAGTCTAGGAGGGACTAATGAAGGAGCC  
 CGTACAGCCCTCTCGGTGGTACCTGGAATAAGACATTGTCACTAAAATCCCCGAGGGGGCCGA  
 AGAGTGGAGTCTGCCATCCAGTTATGCTGTGCTGGCAAACACCACGTTCCCTGCTCCAGCCCC  
 TTGCACGCCCTGCTGCTACGAAAAGGAACCGGAGGAAACCCCTACGCATGCTTGAGGACAACGTCATG  
 AGACCTGGGTACTATCAGCTGCTACAAGCATCCTAACATGTTCTCCCACGCCAGCGCAGCAC  
 CAAGGACAACCTCAATGTCTATAAAGCCACAAGACCAACTTAGCTACTGTCCGACTGTGGAGAAG  
 GGCACTCGTGCATAGTCCGTAGCACTAGAACGCATCAGAAATGAAGCGACAGACGGGACGCTGAA  
 AATCCAGGTCTCCTGCAAATCGAATAAGACGGATGACGCCAGATTGGACCAAGCTCGTTATA  
 TGGACAACCACATGCCAGCAGACGAGAGGGGGCTATTGTAAGAACATCAGCACCGTGTAC  
 GATTACTGGAACAATGGGACACTTCATCCTGGCCGATGTCCAAAAGGGAAACTCTGACGGTGGGAT  
 TCACTGACAGTAGGAAGATTAGTCACTCATGTACGCACCCATTCAACGACCCCTGTGCTGACATTG  
 CGGGAAAAATTCCATTCCGACCGCAGCACGGTAAAGAGACTACCTGAGCACGTACGTGAGAGCA  
 CCGCCGCAACTACCGAGGAGATAGAGGTACACATGCCAGACGGTGGCTACATTAAATGTCA  
 CAACAGTCCGGCAACGTAAAGATCACAGTCAATGCCAGACGGTGGTACAAGTGTAAATTGCGGT  
 GCTCAAATGAAGGACTAACAACTACAGACAAAGTGTAAATAACTGCAAGGTTGATCAATGTATGCC  
 GCGGTACCAATACAAAAAGTGGAGTATAACTCCCTCTGGTCCCGTAATGCTGAACCTGGG  
 CCGAAAAGAAAAATTACATCCGTTCCGCTGGCAAATGTAACATGCAAGGGTGCCTAAAGCAAGG  
 AACCCACCGTGACGTACGGAAAAACCAAGTCATCATGCTACTGTATCCTGACCACCAACACTCCT  
 GTCCCTACCGGAATATGGGAGAAGAACCAAACATCAAGAACAGTGGGTGATGCATAAGAAGGAAGTC  
 GTGCTAACCGTGGCAGTGAAGGGCTCGAGGTACGTGGGCAACAACCGAGCCGTATAAGTATTGGC  
 CGCAGTTATCTACAAACGGTACAGCCATGCCACCCGATGAGATAATTCTGTATTATTGAGCTG  
 TACCCCACTATGACTGTAGTTGTCAGTGGCCACGTTCACTCTGTGATGGTGGGTATGGCA  
 GCGGGGATGTGATGTGTCACGACGCAGATGCATCACACCGTATGAACTGACACCAGGAGCTACCG  
 TCCCTTCTGCTTAGCCTAACATGCTGATCAGAACAGCTAAAGCGGCCACATACCAAGAGGCTGCG  
 ATATACTGTGGAACGAGCAGCAACCTTGTGCTACAAGCCCTATTCCGCTGGCAGCCCTGATT  
 GTTCTATGCAACTGTCTGAGACTCTTACCATGCTGCTGAAACCGTGGCTTTTAGCGTAATGAGC  
 GTCGGTGCCTACACTGTGAGCGCGTACGAACACGTAACAGTGTACCCGAACACGGTGGAGTACCGT  
 ATAAGACTCTAGTCATAGACCTGGCTACAGCCCCATGGTATTGGAGATGGAACACTGTCACT  
 TTGGAGCCAACACTATCGCTGATTACATCACGTGCGAGTACAAACCGTACCCGTCTCCGTACGT  
 GAAGTGTGCGGTACAGCAGAGTGAAGGACAACACCTACCTGACTACAGCTGTAAGGTCTCACC  
 GGCCTACCCATTATGTGGGGCGCGCCTACTGCTCTGCGACGCTGAAAACACCGCAGTTGAGCGA  
 AGCACACGTGGAGAAGTCCGAATCATGCAAAACAGAATTGCACTCAGCATAAGGGCTACCGCA

TCTGCATCAGCTAAGCTCCCGTCCTTACCAAGGAAATAACATCACTGTAACTGCCTATGCAAACGG CGACCATGCCGTACAGTTAAGGACGCCAATTCTATTGTGGGGCCAATGTCTTCAGCCTGGACACCTT TCGACAACAAAATTGTGGTGTACAAAGGTGACGTCTATAACATGGACTACCCGCCCTTGGCGCAGGA AGACCAGGACAATTGGCGATATCCAAAGTCGCACACCTGAGAGTAAAGACGTCTATGCTAACAC AACTGGTACTGCAGAGACCGGCTGTGGGTACGGTACACGTGCCACTCTCAGGCACCATCTGGCTTT AAGTATTGGCTAAAAGAACGCCGGCGCTGCAGCACACAGCACCATTTGGCTGCCAAATAGCAA CAAACCCGGTAAGAGCGGTGAACGTGCACCTAGGGAACATGCCCATCTCCATCGACATACCGGAAGC GGCCTTCACTAGGGCGTGCAGCGCCCTTTAACGGACATGTCGTGCGAGGTACAGCCTGCACCC ATTCCCTCAGACTTGGGGCGTGCATTAAATATGCAAGCAAGAAAGGCAAGTGTGCGGTG CATTGATGACTAACGCCGTCACTATTGGAAAGCTGAGATAGAAGTTGAAGGGATTCTCAGCTGCA AATCTCTTCTCGACGGCCTAGCCAGCGCCATTCCCGTACAAGTCTGTTCTACACAAGTACACTG TGCAGCCGAGTGCCACCCCCGAAGGACCATAGTCAACTACCCGGCGTCACATACCACCCCTGGGG TCCAGGACATCTCGCTACGGCGATGTCATGGGTGCAGAAGATCACGGGAGGTGTGGACTGGTTGTT GCTGTTGCCGCACTGATTCTAATCGTGGTGCTATGCGTGTGTCAGCAGGACTAACTGACAATTAA GTATGAAGGTATATGTCCTAAGAGACACACTGTACATAGCAAATAATCTATAGATCAAAGGGCT ACGCAACCCCTGAATAGTAACAAAATACAAAATCACTAAAAATTATAAAAACAGAAAATACATAAA TAGGTATACGTGCCCCTAAGAGACACATTGTATGAGGTGATAAGTATAGATCAAAGGGCGAATAA CCCCTGAATAGTAACAAAATATGAAAATCAATAAAATCATAAAATAGAAAACATAACAGAAGT AGTTCAAAGGGCTATAAAACCCCTGAATAGTAACAAAACATAAAATTATAAAAATCAAATGAATAC CATAATTGGCAAACGGAAGAGATGTAGGTACTTAAGCTTCTAAAAGCAGCCGAACACTTGGAA GTAGGCATAGCATACCGAACTCTTCCACGATTCTCGAACCCACAGGGACGTAGGAGATGTTATTTG TTTTAATATTCAAAAAAAAAAAAAAA

#### SEQ ID NO: 2

Trình tự axit amin của protein E2 từ chủng virut Chikungunya LR2006\_OPY1—các axit amin 339-742 từ polyprotein cấu trúc Mã Số Truy Cập GenBank: ABD95938.1 (1-1248 aa)

STKDNFNVYKATRPYLAHCPDCGEGHSCHPVALERIRNEATDGLKIQVSLQIGIKTDDSHDWTKLRYMD NHMPADAERAGLFVRTSAPCTITGTMGHFILARCPKGELTVGFTDSRKISHSCTHPFHHDPPIGREKFHS RPQHGKELPCSTYVQSTAATTEIEVHMPPDTPDHTLMSQQSGNVKITVNGQTFRYKCNCGGSNEGLTT DKVINNCKVDQCHAATVNHKWQYNSPLVPRNAELGDRKGKIHIPFPLANVCRVPKARNPTVTYGNQ VIMLLYPDHPTLLSYRNMGEEPNYQEEWMHKKEVVLTVPTEGLEVWGNNEPYKYWPQLSTNGTAHG HPHEIILYYYELYPMTVVVSVATFILLSMVGMAAGMCMCARRRCITPYELPGATVPFLSLICCIRTAK A

Một số biến thể E2 được xác định trong bản mô tả này

#### SEQ ID NO: 3

Biến thể E168K của protein E2 từ virut Chikungunya

STKDNFNVYKATRPYLAHCPDCGEGHSCHPVALERIRNEATDGLKIQVSLQIGIKTDDSHDWTKLRYMD NHMPADAERAGLFVRTSAPCTITGTMGHFILARCPKGELTVGFTDSRKISHSCTHPFHHDPPIGREKFHS RPQHGKELPCSTYVQSTAATTEIEVHMPPDTPDHTLMSQQSGNVKITVNGQTFRYKCNCGGSNEGLTT DKVINNCKVDQCHAATVNHKWQYNSPLVPRNAELGDRKGKIHIPFPLANVCRVPKARNPTVTYGNQ VIMLLYPDHPTLLSYRNMGEEPNYQEEWMHKKEVVLTVPTEGLEVWGNNEPYKYWPQLSTNGTAHG HPHEIILYYYELYPMTVVVSVATFILLSMVGMAAGMCMCARRRCITPYELPGATVPFLSLICCIRTAK A

#### SEQ ID NO: 4

Biến thể G55R của protein E2 từ virut Chikungunya

STKDNFNVYKATRPYLAHCPDCGEGHSCHPVALERIRNEATDGLKIQVSLQIRIKTDDSHDWTKLRYMD NHMPADAERAGLFVRTSAPCTITGTMGHFILARCPKGELTVGFTDSRKISHSCTHPFHHDPPIGREKFHS RPQHGKELPCSTYVQSTAATTEIEVHMPPDTPDHTLMSQQSGNVKITVNGQTFRYKCNCGGSNEGLTT DKVINNCKVDQCHAATVNHKWQYNSPLVPRNAELGDRKGKIHIPFPLANVCRVPKARNPTVTYGNQ VIMLLYPDHPTLLSYRNMGEEPNYQEEWMHKKEVVLTVPTEGLEVWGNNEPYKYWPQLSTNGTAHG

HPHEIILYYYELYPTMTVVVSVATFILLSMVGMAAGMCMCARRRCITPYELTPGATVPFLLSLICCIRTAK  
A

SEQ ID NO: 5

Biến thể E247K của protein E2 từ virut Chikungunya

STKDNFNVYKATRPYLAHCPDCGEGHSCHPVALERIRNEATDGTLSIQVSLQIGIKTDDSHDWTKLRYMD  
NHMPADAERAGLFVRTSAPCTITGMGHFILARCPKG**E**LTVGFTDSRKISHSCTHPFHDP*P*VIGREKFHS  
RPQHGKELPCSTYVQSTAATTEEIEVHMPPDTPDHTLMSQQSGNVKITVNGQT<sup>R</sup>VYKCNC*G*GSNEG<sup>L</sup>TT  
DKVINNCKVDQCHA<sup>A</sup>VTNHKKWQYNPLVPRNAKLGDRKGKIHIPFPLANVTCVPKARNPTVTYGKNQ  
VIMLLYPDHPTLLSYRNMGEEPNYQEEWVMHKKEVVLTVPTEGLEVTWGNNEPYKYWPQLSTNGTAHG  
HPHEIILYYYELYPTMTVVVSVATFILLSMVGMAAGMCMCARRRCITPYELTPGATVPFLLSLICCIRTAK  
A

SEQ ID NO: 6

BIÉN THẾ G82R của protein E2 từ virut Chikungunya

STKDNFNVYKATRPYLAHCPDCGEGHSCHPVALERIRNEATDGTLSIQVSLQIGIKTDDSHDWTKLRYMD  
NHMPADAERARLFVRTSAPCTITGMGHFILARCPKG**E**LTVGFTDSRKISHSCTHPFHDP*P*VIGREKFHS  
RPQHGKELPCSTYVQSTAATTEEIEVHMPPDTPDHTLMSQQSGNVKITVNGQT<sup>R</sup>VYKCNC*G*GSNEG<sup>L</sup>TT  
DKVINNCKVDQCHA<sup>A</sup>VTNHKKWQYNPLVPRNAELGDRKGKIHIPFPLANVTCVPKARNPTVTYGKNQ  
VIMLLYPDHPTLLSYRNMGEEPNYQEEWVMHKKEVVLTVPTEGLEVTWGNNEPYKYWPQLSTNGTAHG  
HPHEIILYYYELYPTMTVVVSVATFILLSMVGMAAGMCMCARRRCITPYELTPGATVPFLLSLICCIRTAK  
A

SEQ ID NO: 7

BIÉN THẾ H232Y của protein E2 từ virut Chikungunya

STKDNFNVYKATRPYLAHCPDCGEGHSCHPVALERIRNEATDGTLSIQVSLQIGIKTDDSHDWTKLRYMD  
NHMPADAERAGLFVRTSAPCTITGMGHFILARCPKG**E**LTVGFTDSRKISHSCTHPFHDP*P*VIGREKFHS  
RPQHGKELPCSTYVQSTAATTEEIEVHMPPDTPDHTLMSQQSGNVKITVNGQT<sup>R</sup>VYKCNC*G*GSNEG<sup>L</sup>TT  
DKVINNCKVDQCHA<sup>A</sup>VTNHKKWQYNPLVPRNAYLGDRKGKIHIPFPLANVTCVPKARNPTVTYGKNQ  
VIMLLYPDHPTLLSYRNMGEEPNYQEEWVMHKKEVVLTVPTEGLEVTWGNNEPYKYWPQLSTNGTAHG  
HPHEIILYYYELYPTMTVVVSVATFILLSMVGMAAGMCMCARRRCITPYELTPGATVPFLLSLICCIRTAK  
A

SEQ ID NO: 8

Mồi 1F để giải trình tự CHIKV-Δ5nsP3

TTAGGATCCGATGGCTCGTGAGACAC

SEQ ID NO: 9

Mồi 1R để giải trình tự CHIKV-Δ5nsP3

TAACTCGAGCGTCAGGTCTGTTGAACAT

SEQ ID NO: 10

Mồi 2F để giải trình tự CHIKV-Δ5nsP3

TTAGGATCCTACCACCAGGCGATTAAAG

SEQ ID NO: 11

Mồi 2R để giải trình tự CHIKV-Δ5nsP3

TAACTCGAGCTTGCCCACTTACTGAAGG

SEQ ID NO: 12

Mồi 3F để giải trình tự CHIKV-Δ5nsP3

TTAGGATCCTGCTACAGAACGTCACGCC

SEQ ID NO: 13

Mồi 3R để giải trình tự CHIKV-Δ5nsP3  
TAACTCGAGGCCAAAGCGTGAAATCAG

SEQ ID NO: 14

Mồi 4F để giải trình tự CHIKV-Δ5nsP3  
TTAGGATCCAACAGCTTGAGGACAGAGCG

SEQ ID NO: 15

Mồi 4R để giải trình tự CHIKV-Δ5nsP3  
TAACTCGAGCTCTGTCTCATCACGTCGG

SEQ ID NO: 16

Mồi 5F để giải trình tự CHIKV-Δ5nsP3  
TTAGGATCCAAATTGCAGTCATAGGAGTCTTC

SEQ ID NO: 17

Mồi 5R để giải trình tự CHIKV-Δ5nsP3  
TAACTCGAGAGTACGTTGACGTGCTCTGA

SEQ ID NO: 18

Mồi 6F để giải trình tự CHIKV-Δ5nsP3  
TTAGGATCCGTGGGTTAACAACTGCAA

SEQ ID NO: 19

Mồi 6R để giải trình tự CHIKV-Δ5nsP3  
TAACTCGAGGGTTAAAGTCTTATCCTCCTGG

SEQ ID NO: 20

Mồi 7F để giải trình tự CHIKV-Δ5nsP3  
TTAGGATCCGGATAACCACTGGGATAATAGG

SEQ ID NO: 21

Mồi 7R để giải trình tự CHIKV-Δ5nsP3  
TAACTCGAGAGTTGTGAAATTCTCTGCC

SEQ ID NO: 22

Mồi 8F để giải trình tự CHIKV-Δ5nsP3  
TTAGGATCCCGCAGATAGAACCAAGTGAAC

SEQ ID NO: 23

Mồi 8R để giải trình tự CHIKV-Δ5nsP3  
TAACTCGAGCAGCAGCTACTTGGGTC

SEQ ID NO: 24

Mồi 9F để giải trình tự CHIKV-Δ5nsP3  
TTAGGATCCAGGAGGGAAAGACAGGGCT

SEQ ID NO: 25

Mồi 9R để giải trình tự CHIKV-Δ5nsP3  
TAACTCGAGCCCTCGCCTTCTTG

SEQ ID NO: 26

Mồi 10F để giải trình tự CHIKV-Δ5nsP3

TTAGGATCCAAAATAGAAGGAGTGCAAAAG

SEQ ID NO: 27

Mồi 10R để giải trình tự CHIKV-Δ5nsP3

TAACTCGAGCCTGGAGTTCTTAAGTAATAGTTGC

SEQ ID NO: 28

Mồi 11F để giải trình tự CHIKV-Δ5nsP3

TTAGGATCCACCGGTCCAGGTCAATTAA

SEQ ID NO: 29

Mồi 11R để giải trình tự CHIKV-Δ5nsP3

TAACTCGAGGCAGCAAATTCTCCCAG

SEQ ID NO: 30

Mồi 12F để giải trình tự CHIKV-Δ5nsP3

TTAGGATCCCCATTCCAGAACACACTACAG

SEQ ID NO: 31

Mồi 12R để giải trình tự CHIKV-Δ5nsP3

TAACTCGAGATAACCTGATTTCATCATGGC

SEQ ID NO: 32

Mồi 13F để giải trình tự CHIKV-Δ5nsP3

TTAGGATCCCCTTGATAAGAGCCAAGATG

SEQ ID NO: 33

Mồi 13R để giải trình tự CHIKV-Δ5nsP3

TAACTCGAGTACAAAGTTATGACGGGTCT

SEQ ID NO: 34

Mồi 14F để giải trình tự CHIKV-Δ5nsP3

TTAGGATCCCAACGAACAGGGCTAATTG

SEQ ID NO: 35

Mồi 14R để giải trình tự CHIKV-Δ5nsP3

TAACTCGAGGACCGCTTAAAGGCCAG

SEQ ID NO: 36

Mồi 15F để giải trình tự CHIKV-Δ5nsP3

TTAGGATCCGTGCATGAAAATCGAAAATG

SEQ ID NO: 37

Mồi 15R để giải trình tự CHIKV-Δ5nsP3

TAACTCGAGTGGTCTTGTGGTTATAGACA

SEQ ID NO: 38

Mồi 16F để giải trình tự CHIKV-Δ5nsP3

TTAGGATCCAACCGGAGGAAACCCTAC

SEQ ID NO: 39

Mồi 16R để giải trình tự CHIKV-Δ5nsP3  
TAAACTCGAGGTACCGCACCGTCTGG

SEQ ID NO: 40

Mồi 17F để giải trình tự CHIKV-Δ5nsP3  
TTAGGATCCAGCTACCTTGACGACGT

SEQ ID NO: 41

Mồi 17R để giải trình tự CHIKV-Δ5nsP3  
TAAACTCGAGCCCACCATCGACAGG

SEQ ID NO: 42

Mồi 18F để giải trình tự CHIKV-Δ5nsP3  
TTAGGATCCCGAGCCGTATAAGTATTGGC

SEQ ID NO: 43

Mồi 18R để giải trình tự CHIKV-Δ5nsP3  
TAAACTCGAGCGCCGGTGAAGACCTTAC

SEQ ID NO: 44

Mồi 19F để giải trình tự CHIKV-Δ5nsP3  
TTAGGATCCACTACTGTCAGTCACTTGGAGC

SEQ ID NO: 45

Mồi 19R để giải trình tự CHIKV-Δ5nsP3  
TAAACTCGAGTACCGGGTTGTTGCTATTT

SEQ ID NO: 46

Mồi 20F để giải trình tự CHIKV-Δ5nsP3  
TTAGGATCCCACAACGGTACTGCAGAGAC

SEQ ID NO: 47

Mồi 20R để giải trình tự CHIKV-Δ5nsP3  
TAAACTCGAGGCGTAGCCCTTGATCTATAG

SEQ ID NO: 48

Mồi 21F để giải trình tự CHIKV-Δ5nsP3  
TTAGGATCCGGTGCTATGCGTGTGCGT

SEQ ID NO: 49

Mồi 21R để giải trình tự CHIKV-Δ5nsP3  
TAAACTCGAGATCTCCTACGTCCCTGTGGG

## YÊU CẦU BẢO HỘ

### 1. Dược phẩm chứa

- (i) các hạt CHIKV-Δ5nsP3 biểu hiện protein cấu trúc E2 như được xác định bởi trình tự axit amin nêu trong SEQ ID NO: 2;
- (ii) các hạt CHIKV-Δ5nsP3 biểu hiện protein cấu trúc E2 có sự đột biến E168K trong trình tự axit amin nêu trong SEQ ID NO: 2; và
- (iii) tùy ý, tá dược dược dụng;  
trong đó từ 1 đến 50% hạt CHIKV-Δ5nsP3 trong dược phẩm này biểu hiện protein cấu trúc E2 có sự đột biến E168K nêu trên.

### 2. Dược phẩm chứa (i) các hạt CHIKV-Δ5nsP3; và (ii) tùy ý, tá dược dược dụng; trong đó ít nhất 30% hạt CHIKV-Δ5nsP3 có mặt trong dược phẩm này biểu hiện protein cấu trúc E2 như được xác định bởi trình tự axit amin nêu trong SEQ ID NO: 2.

### 3. Dược phẩm theo điểm 1 hoặc 2, trong đó ít nhất 50%, ít nhất 75% hoặc ít nhất 90% hạt CHIKV-Δ5nsP3 có mặt trong dược phẩm này biểu hiện protein cấu trúc E2 như được xác định bởi trình tự axit amin nêu trong SEQ ID NO: 2.

### 4. Dược phẩm theo điểm bất kỳ trong số các điểm từ 1 đến 3, trong đó ít hơn 40%, ít hơn 25% hoặc ít hơn 10% hạt CHIKV-Δ5nsP3 có mặt trong dược phẩm này biểu hiện protein cấu trúc E2 có sự đột biến E168K nêu trên.

### 5. Dược phẩm theo điểm bất kỳ trong số các điểm từ 1 đến 4, trong đó từ 5 đến 30% hoặc từ 10 đến 20% hạt CHIKV-Δ5nsP3 có mặt trong dược phẩm này biểu hiện protein cấu trúc E2 có sự đột biến E168K nêu trên.

### 6. Dược phẩm theo điểm bất kỳ trong số các điểm từ 1 đến 5, thu được hoặc có thể thu được bằng cách tạo ra các hạt CHIKV-Δ5nsP3 ở tế bào Vero.

7. Dược phẩm theo điểm bất kỳ trong số các điểm từ 1 đến 6, trong đó dược phẩm này gây cảm ứng kháng thể làm trung hòa chống lại CHIKV-Δ5nsP3 ở chuột được gây miễn dịch bằng dược phẩm này làm cho huyết thanh chứa kháng thể làm trung hòa và trong đó huyết thanh này làm trung hòa sự nhiễm virut Chikungunya (CHIKV) của các tế bào Vero ít nhất là 80% trong thử nghiệm làm trung hòa *in vitro*, với hệ pha loãng huyết thanh theo tỷ lệ 1:80.

8. Dược phẩm theo điểm bất kỳ trong số các điểm từ 1 đến 7, trong đó các hạt CHIKV-Δ5nsP3 trong mục (i) nêu trên được xác định bởi trình tự polynucleotit nêu trong SEQ ID NO: 1.

9. Dược phẩm theo điểm bất kỳ trong số các điểm từ 1 đến 8, trong đó dược phẩm này chứa lượng hữu hiệu của các hạt CHIKV-Δ5nsP3 biểu hiện protein cấu trúc E2 như được xác định bởi trình tự axit amin nêu trong SEQ ID NO: 2, trong đó lượng hữu hiệu này được xác định là ít nhất  $10^3$  hoặc ít nhất  $10^4$  hạt CHIKV-Δ5nsP3 biểu hiện protein cấu trúc E2 như được xác định bởi trình tự axit amin nêu trong SEQ ID NO: 2.

10. Dược phẩm theo điểm 9, trong đó lượng hữu hiệu nêu trên được xác định là khoảng  $10^4$  hạt CHIKV-Δ5nsP3 biểu hiện protein cấu trúc E2 như được xác định bởi trình tự axit amin nêu trong SEQ ID NO: 2.

11. Dược phẩm theo điểm bất kỳ trong số các điểm từ 1 đến 10, trong đó dược phẩm này được bào chế ở dạng dược phẩm một-liều.

12. Dược phẩm theo điểm bất kỳ trong số các điểm từ 1 đến 11, trong đó dược phẩm này được bào chế ở dạng vacxin.

13. Dược phẩm theo điểm bất kỳ trong số các điểm từ 1 đến 12, trong đó dược phẩm này được bào chế ở dạng đông khô nhanh.

14. Dược phẩm theo điểm bất kỳ trong số các điểm từ 1 đến 13, trong đó dược phẩm

này được bào chế ở dạng sử dụng dưới da.

15. Quy trình sản xuất dược phẩm chứa các hạt CHIKV-Δ5nsP3 biểu hiện protein cấu trúc E2 như được xác định bởi trình tự axit amin nêu trong SEQ ID NO: 2 bao gồm bước:

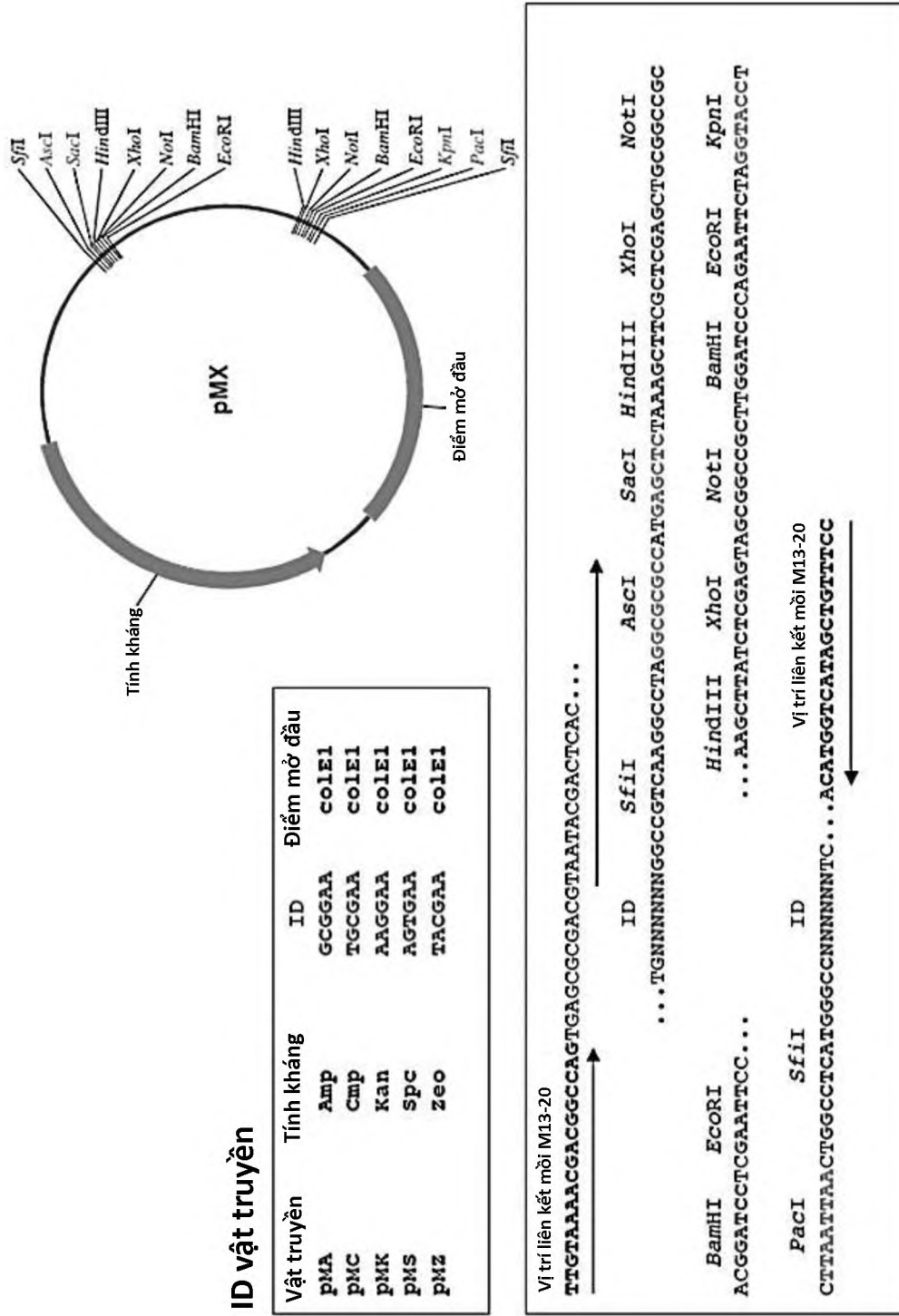
- nuôi cấy CHIKV-Δ5nsP3 trên tế bào chủ theo cách để làm giảm đến mức tối thiểu sự có mặt của đột biến làm giảm khả năng gây miễn dịch của virut.

16. Quy trình theo điểm 15, trong đó các hạt CHIKV-Δ5nsP3 nêu trên được xác định bởi trình tự polynucleotit nêu trong SEQ ID NO: 1 và được cấy chuyển trên tế bào chủ trong môi trường nuôi cấy ít hơn 5 lần sau khi tách khỏi virut.

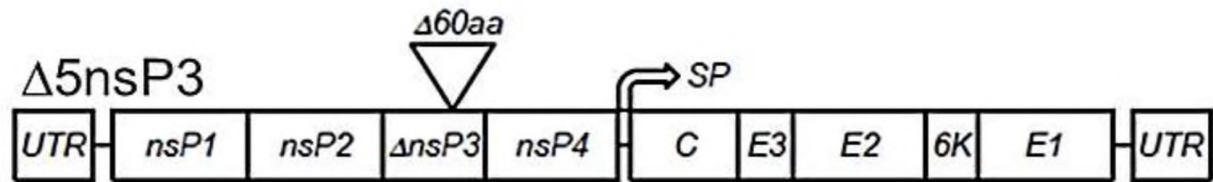
17. Quy trình theo điểm 15 hoặc 16, trong đó các hạt CHIKV-Δ5nsP3 nêu trên được cấy chuyển trên tế bào chủ trong môi trường nuôi cấy tối đa ba lần.

1/23

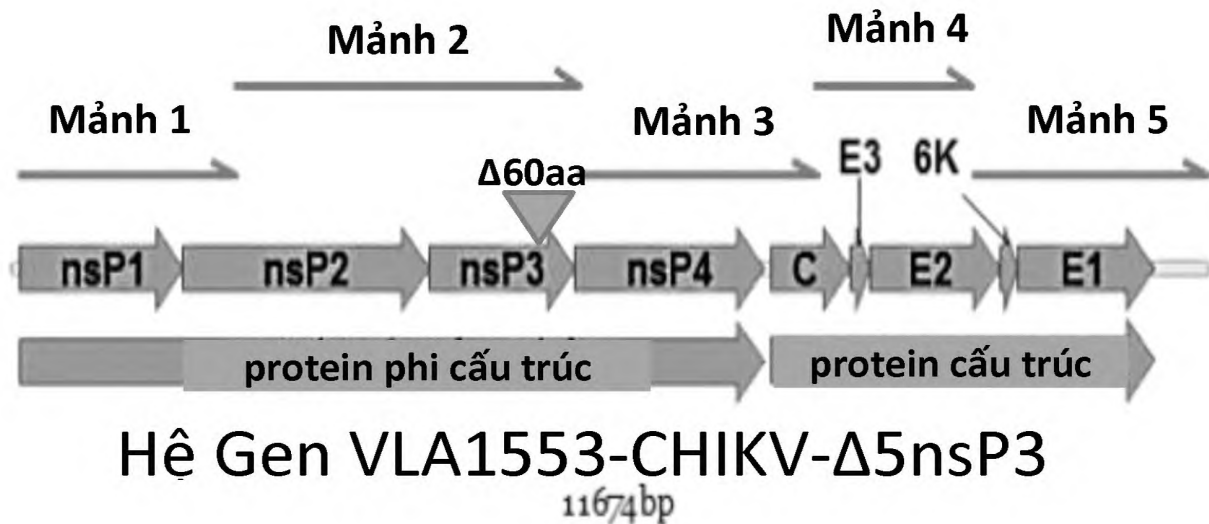
Fig. 1



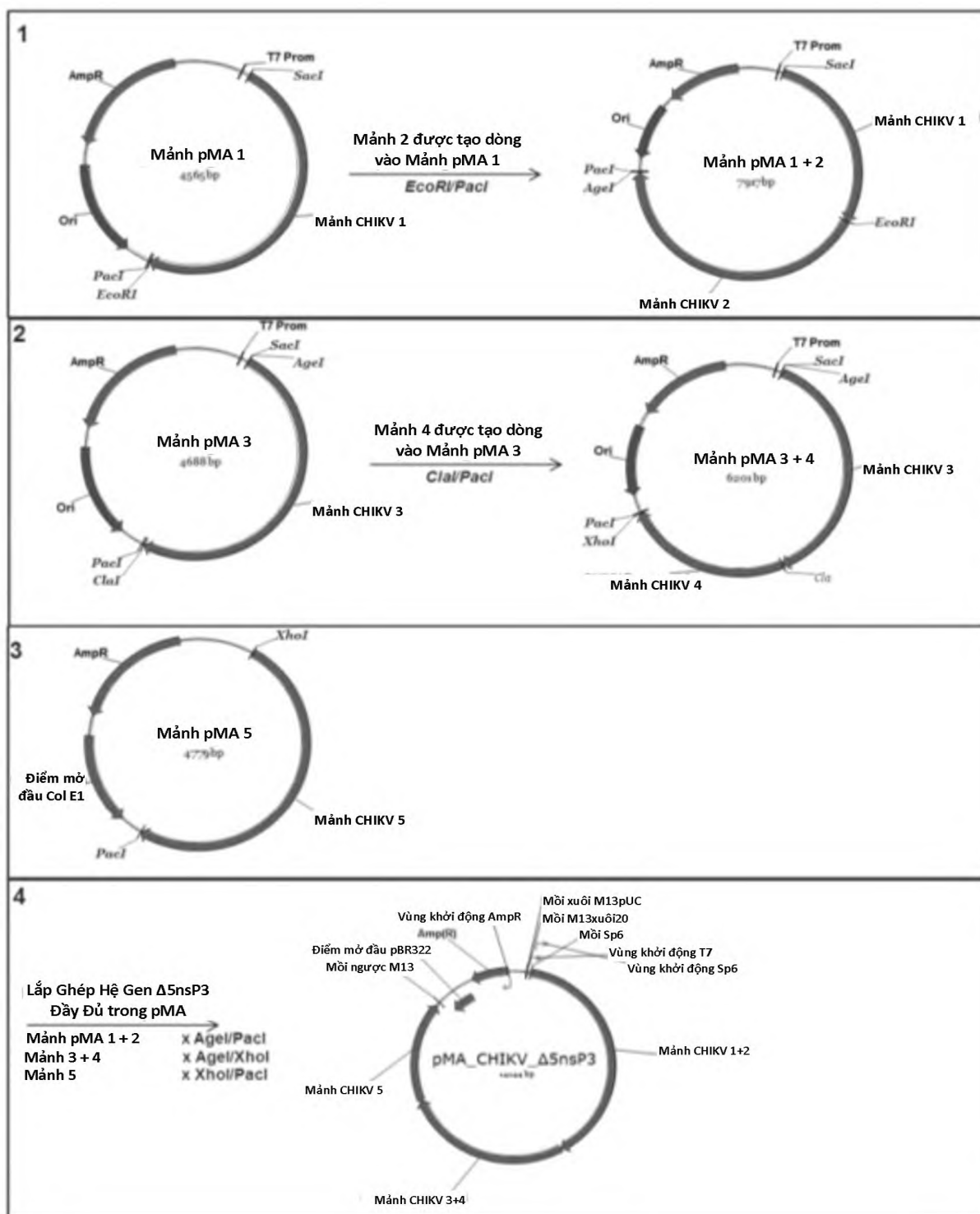
2/23

**Fig. 2**

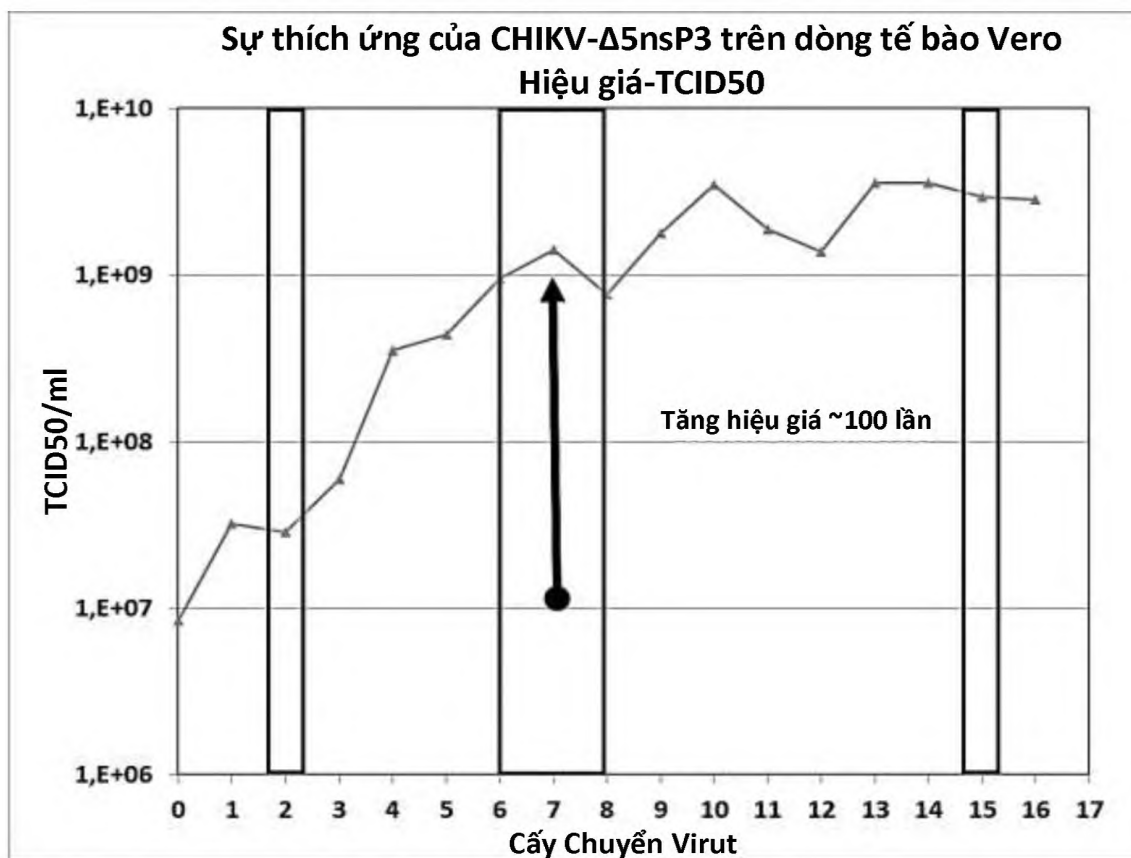
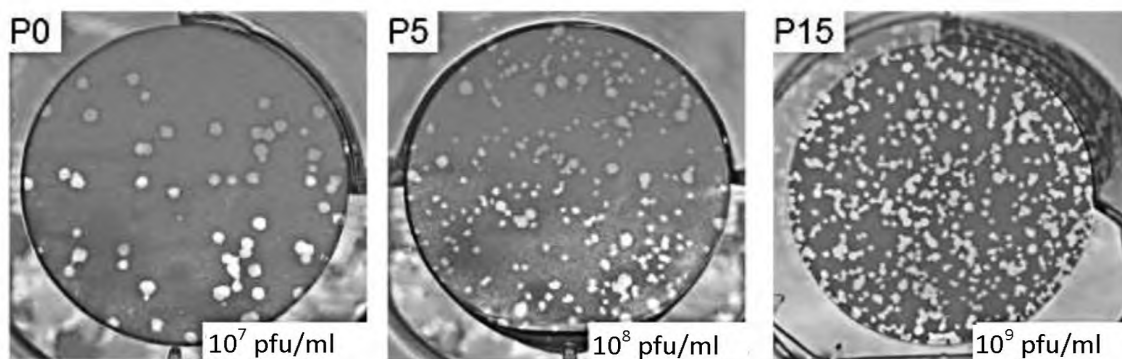
3/23

**Fig. 3****A.**

4/23

**Fig. 3 (tiếp)****B.**

5/23

**Fig. 4****A.****B.****Kích thước mảng, Khả năng gây miễn dịch****Hiệu giá virut**

6/23

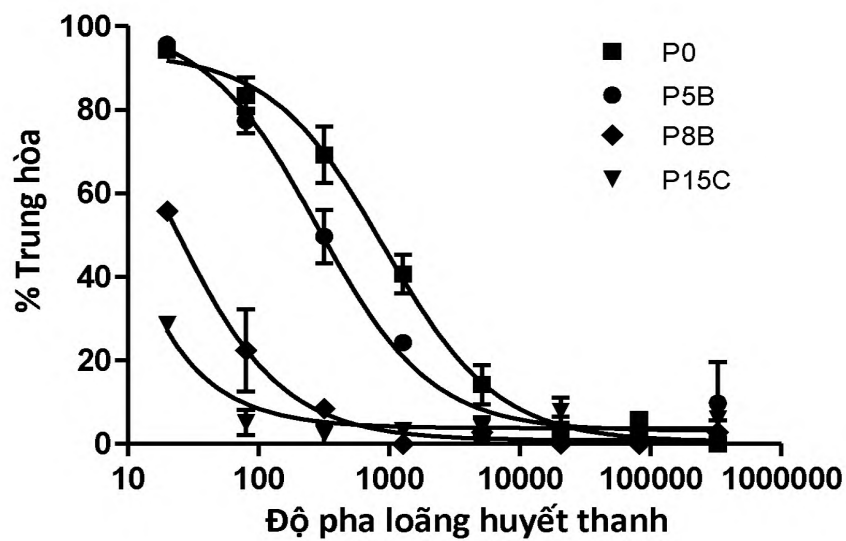
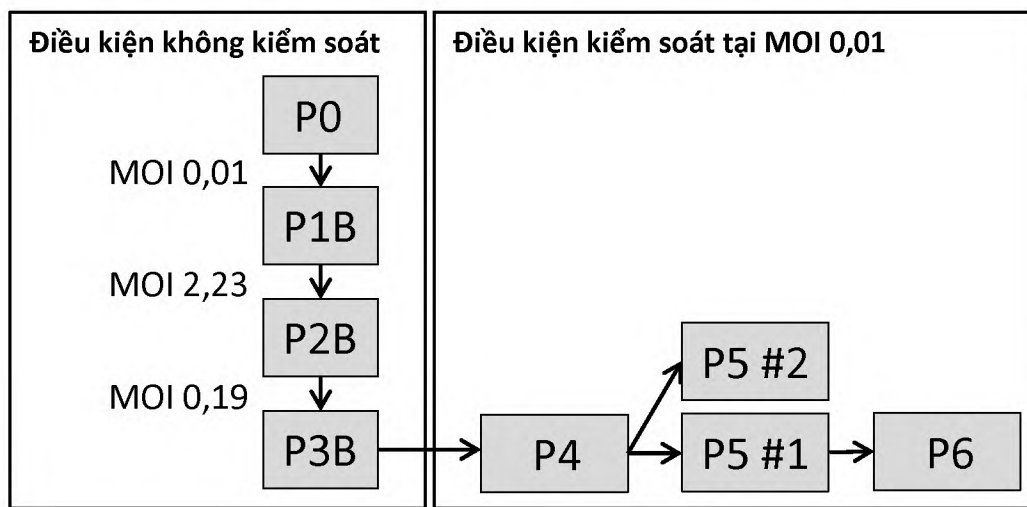
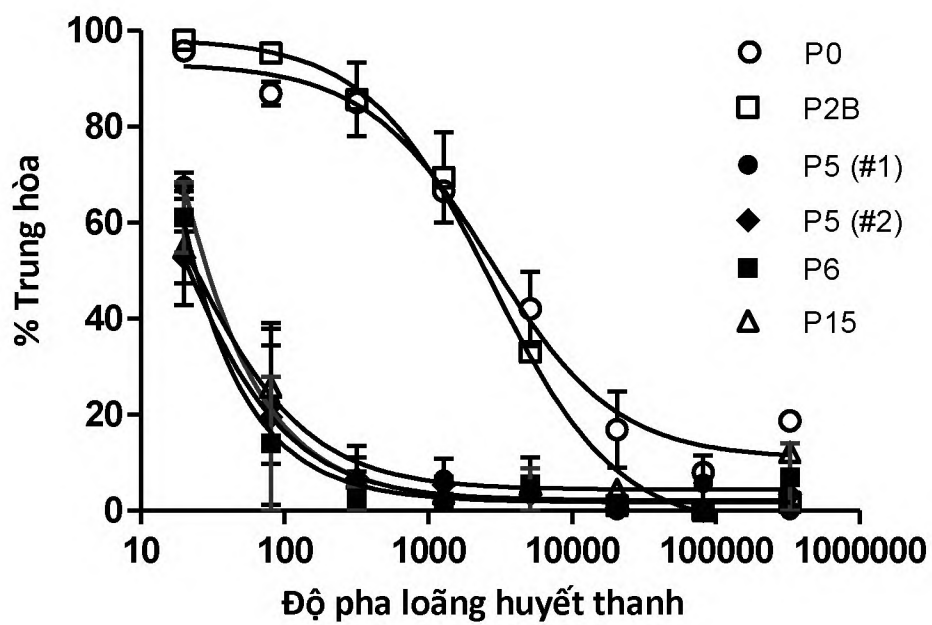
**Fig. 4 (tiếp)****C.**

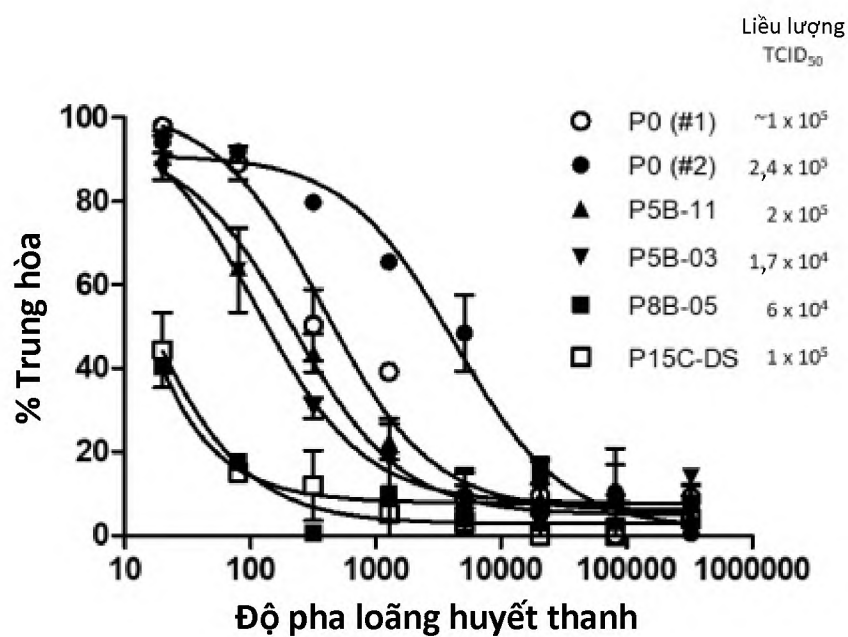
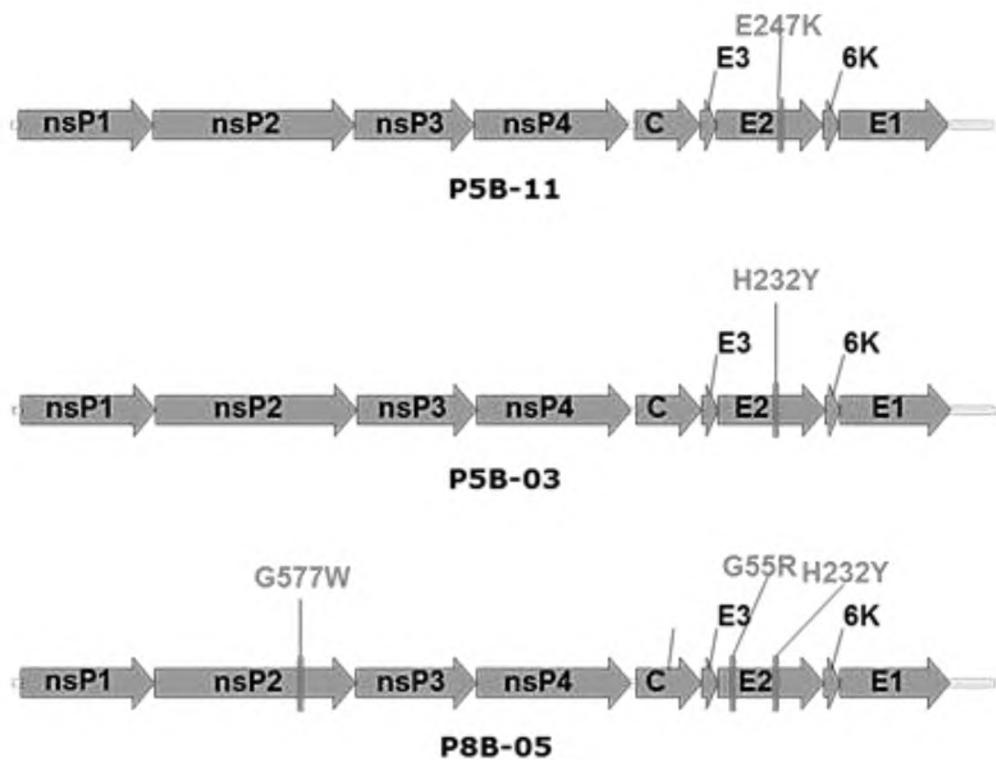
Fig. 5

A.



B.

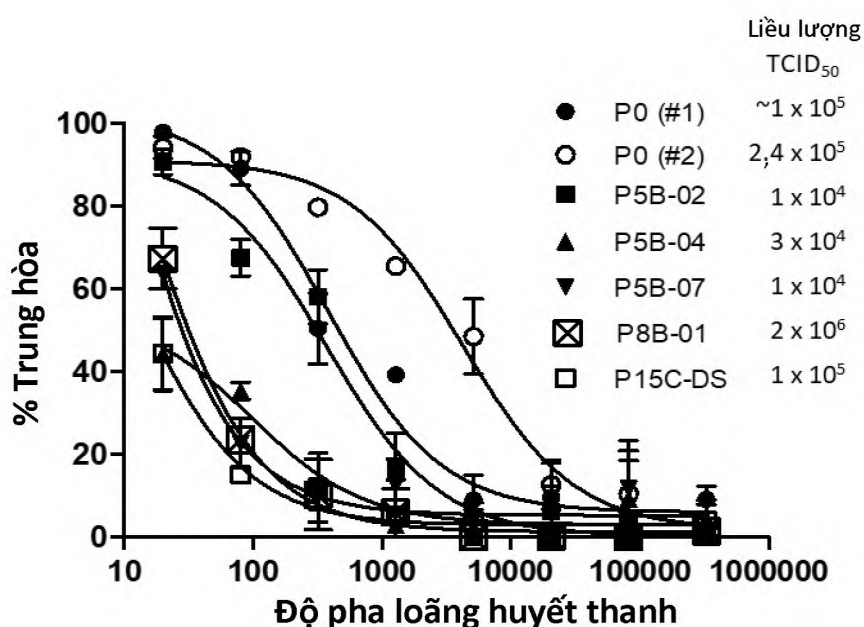


**Fig. 6****A.****B.**

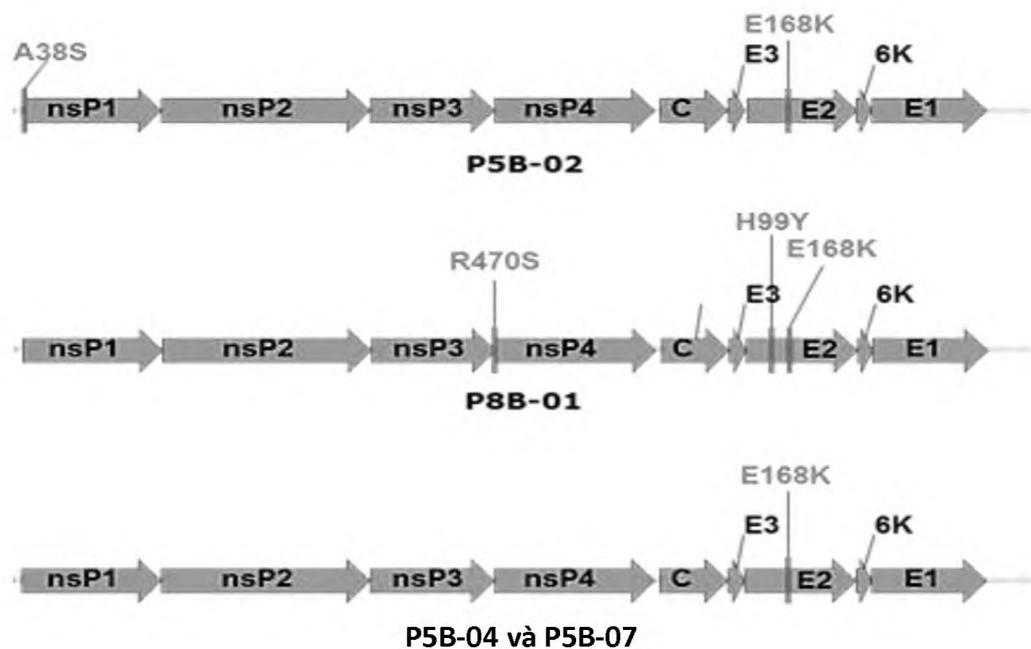
9/23

Fig. 6 (tiếp)

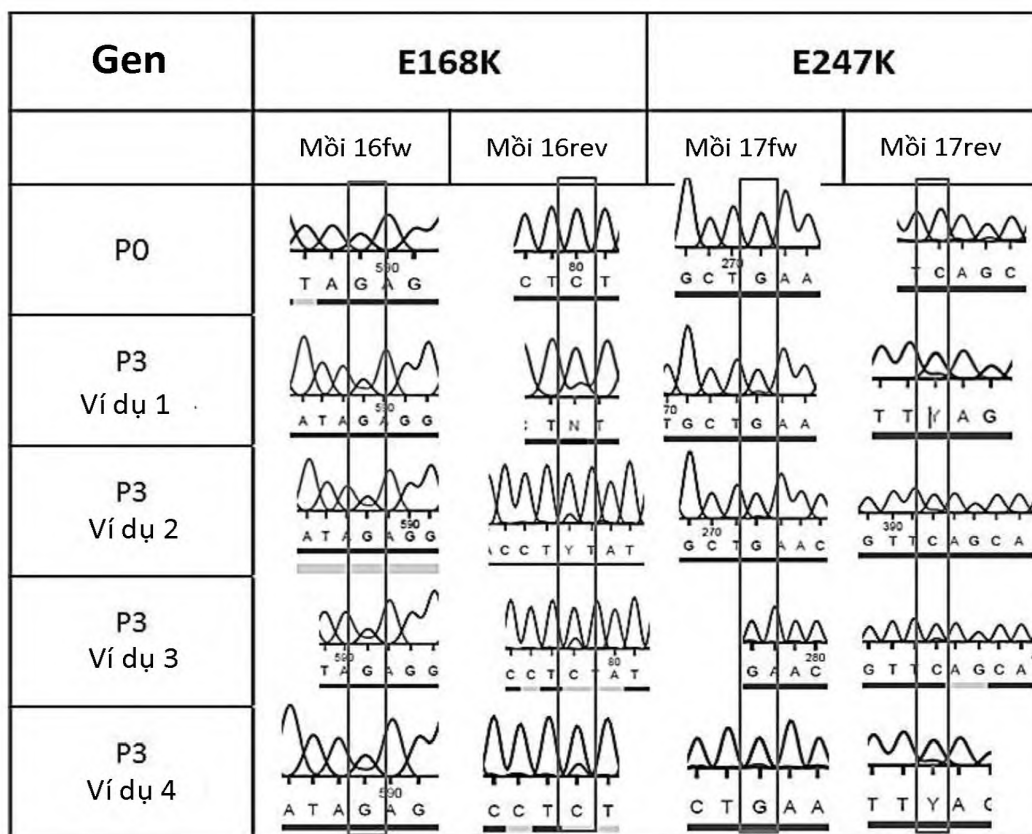
C.



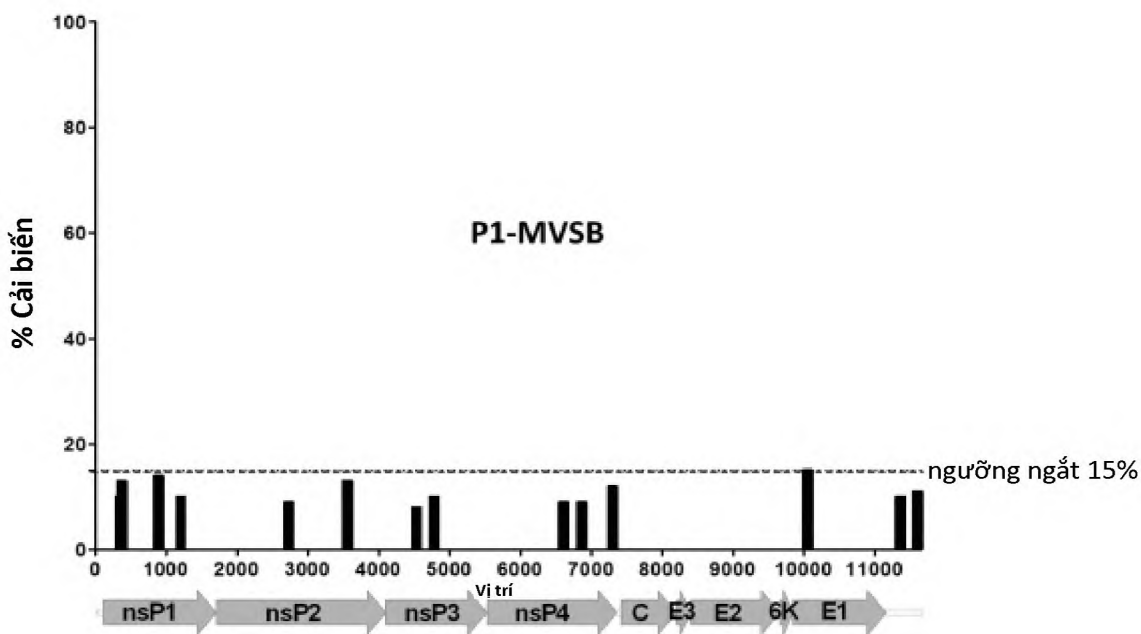
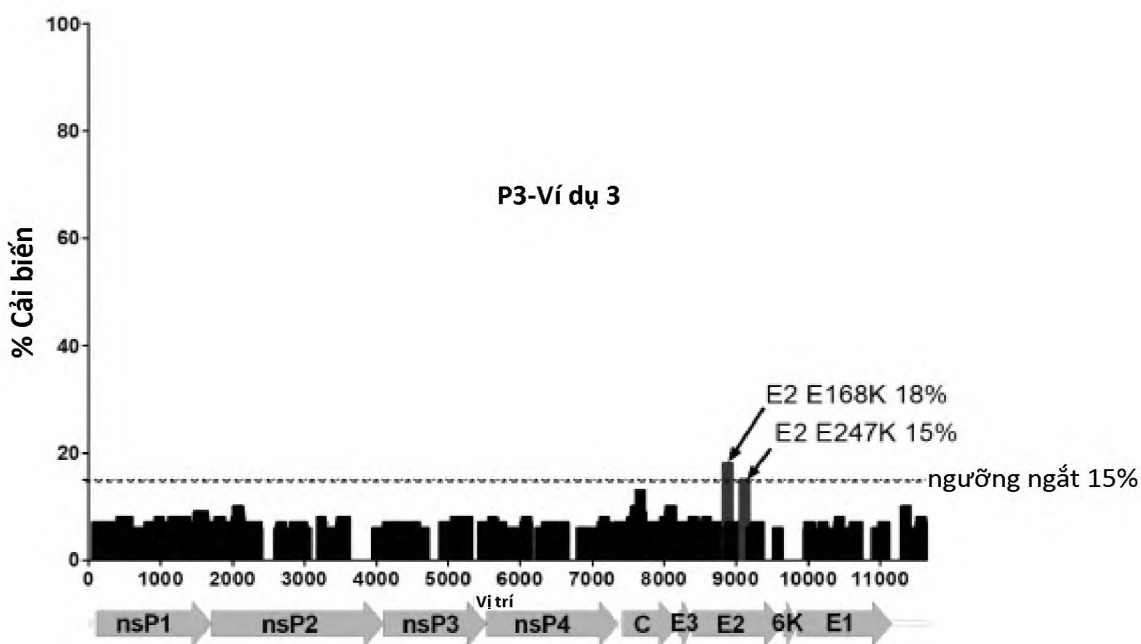
D.



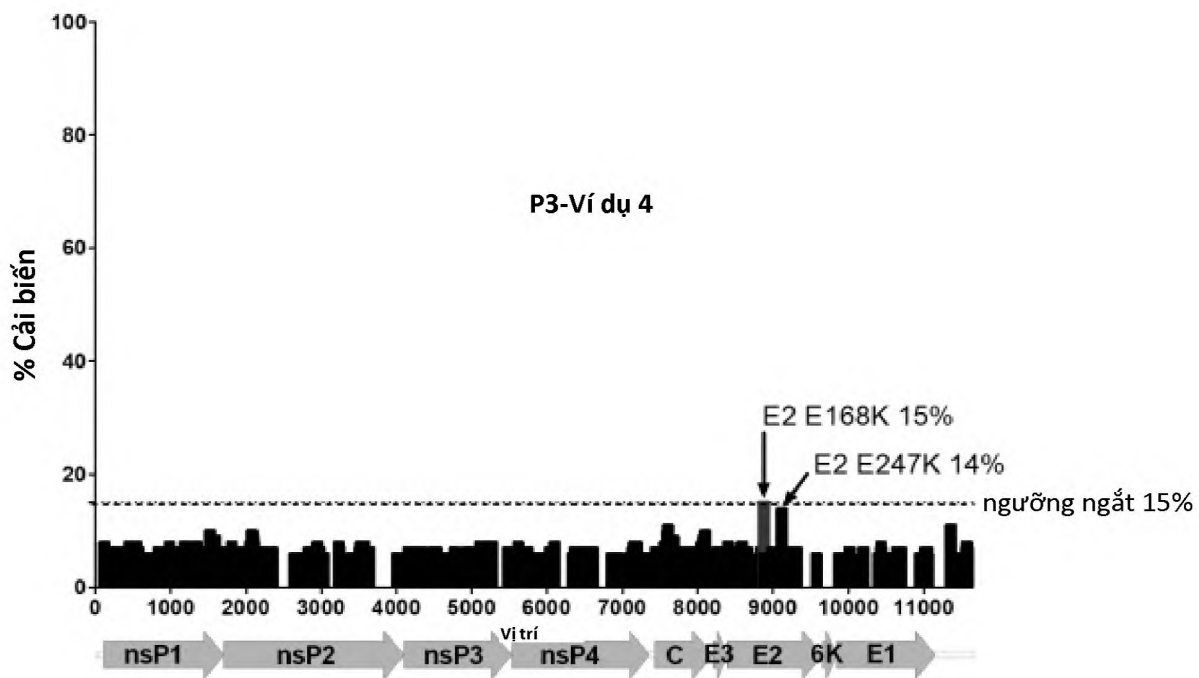
10/23

**Fig. 7**

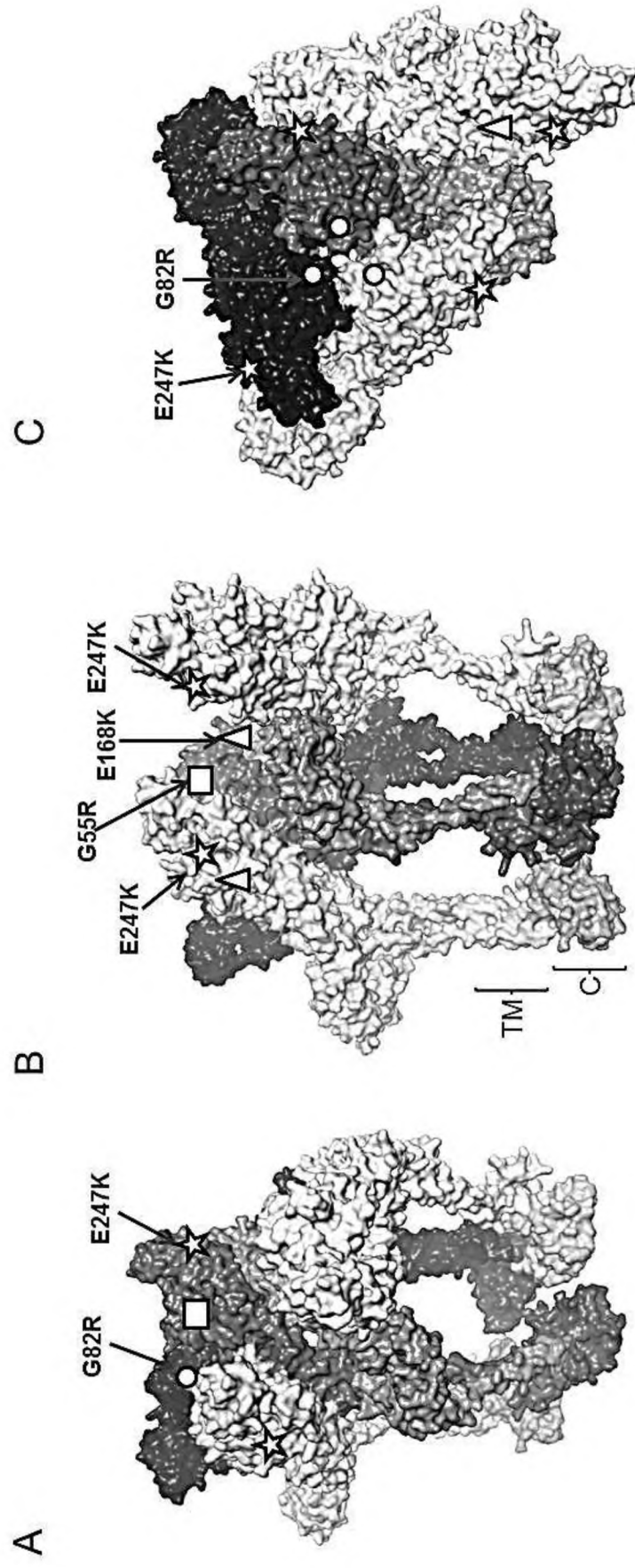
11/23

**Fig. 8****A.****B.**

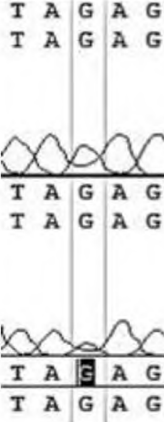
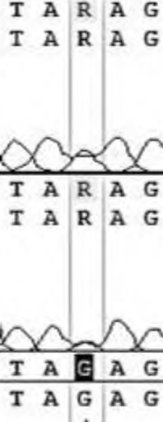
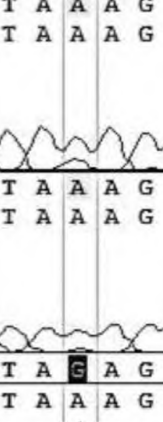
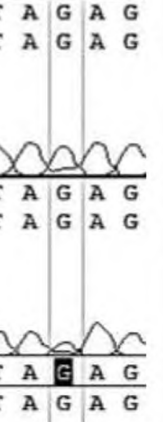
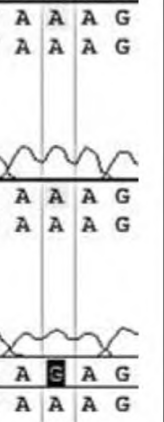
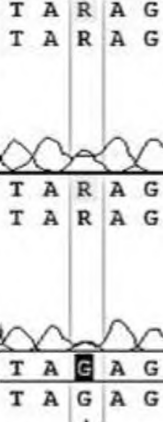
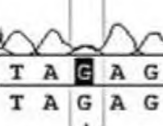
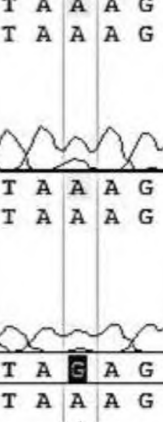
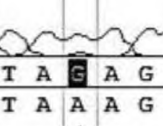
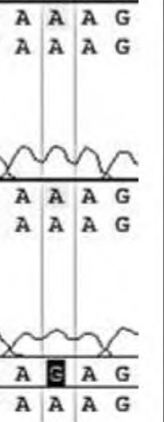
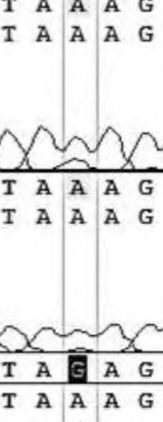
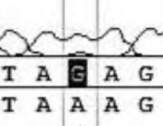
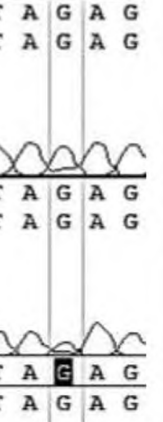
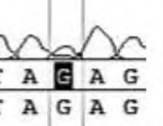
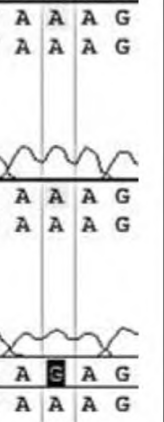
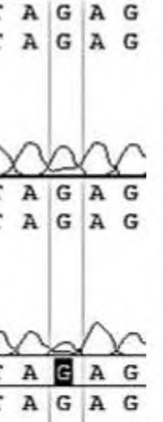
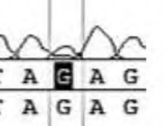
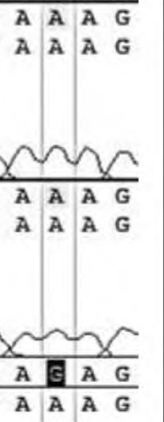
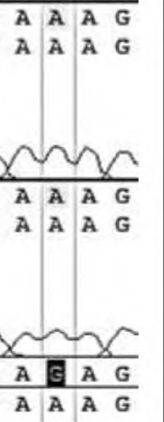
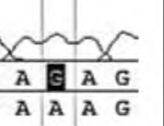
12/23

**Fig. 8 (tiếp)****C.**

13/23

**Fig. 9**

**Fig. 10**

		<b>Nhóm để gây miễn dịch dưới da gồm các con chuột C57Bl/6</b>				
		<b>Nhóm 1</b>	<b>Nhóm 3</b>	<b>Nhóm 5</b>	<b>Nhóm 6</b>	<b>Nhóm 7</b>
<b>Tỉ lệ tạo chế phẩm của P3 và P5B-07 (E168K)</b>		P3:E168K 1:0,1	P3:E168K 1:1	P3:E168K 1:10	P3	P5B-7
<b>Trình tự tham chiếu</b>		G	G	G	G	G
<b>Tính không đồng nhất</b>		G>A	G=A	G<A	G>A	A
<b>Sắc ký đồ</b>		    	    	    	  	 

15/23

Fig. 11

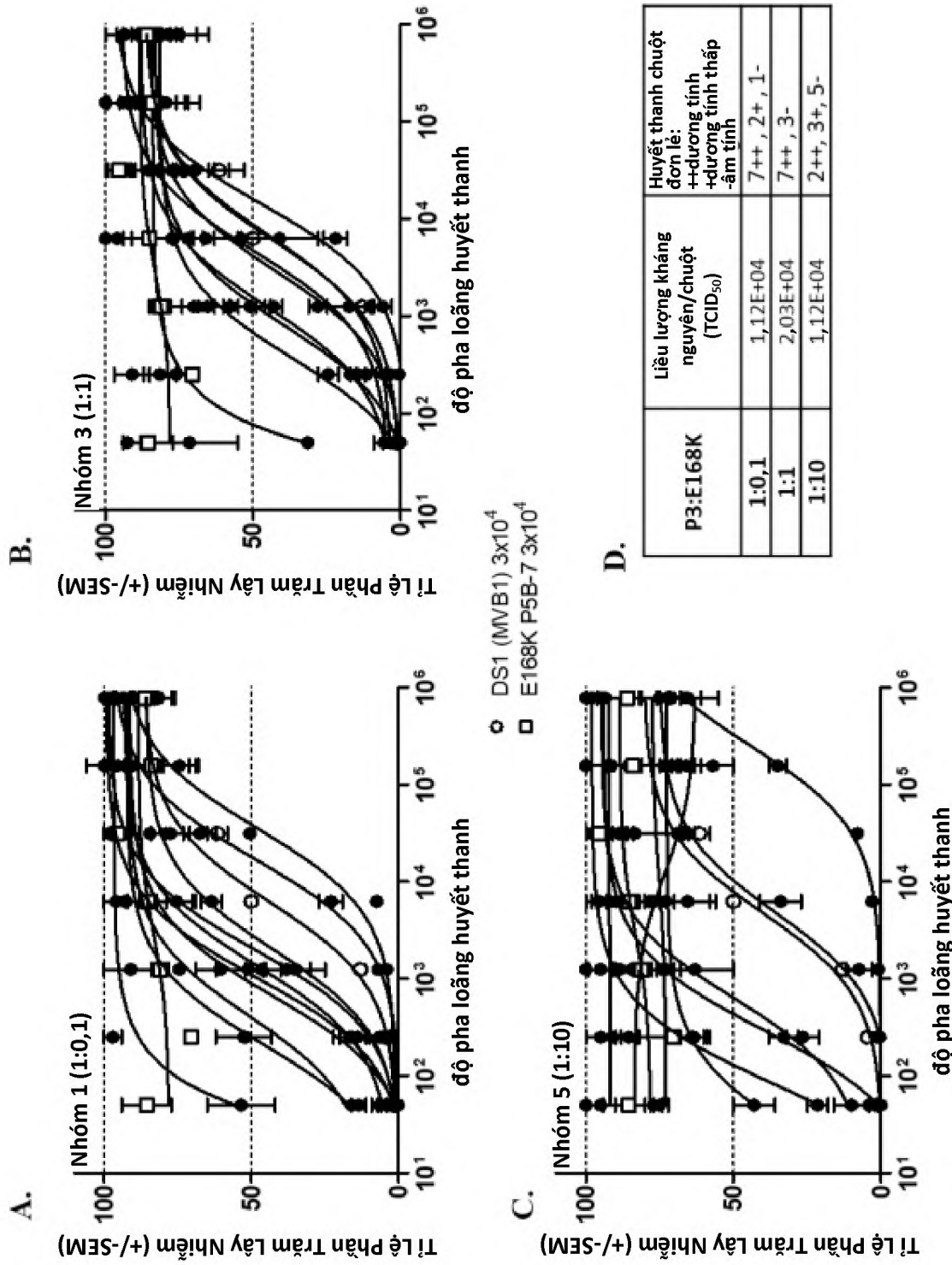
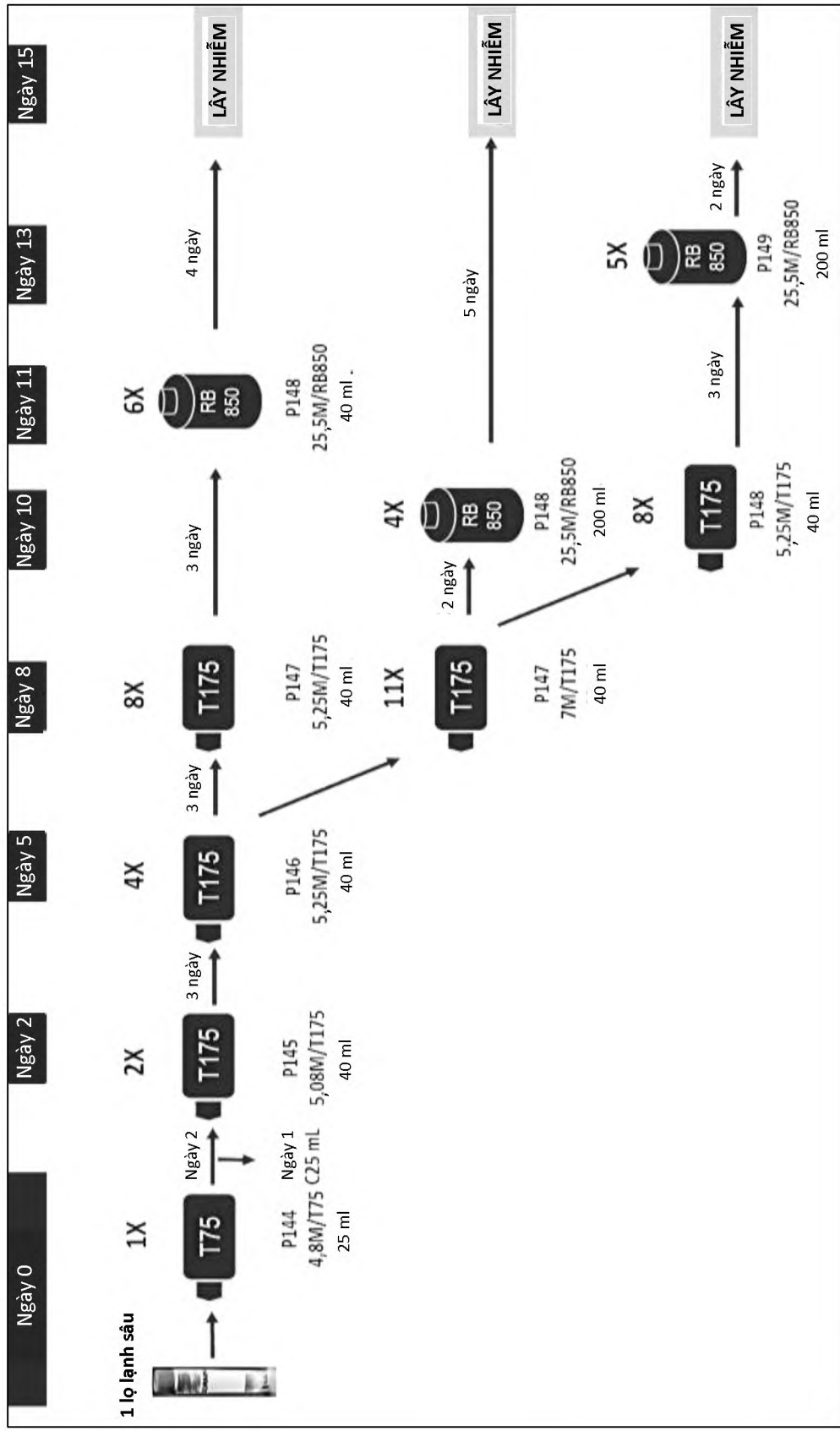
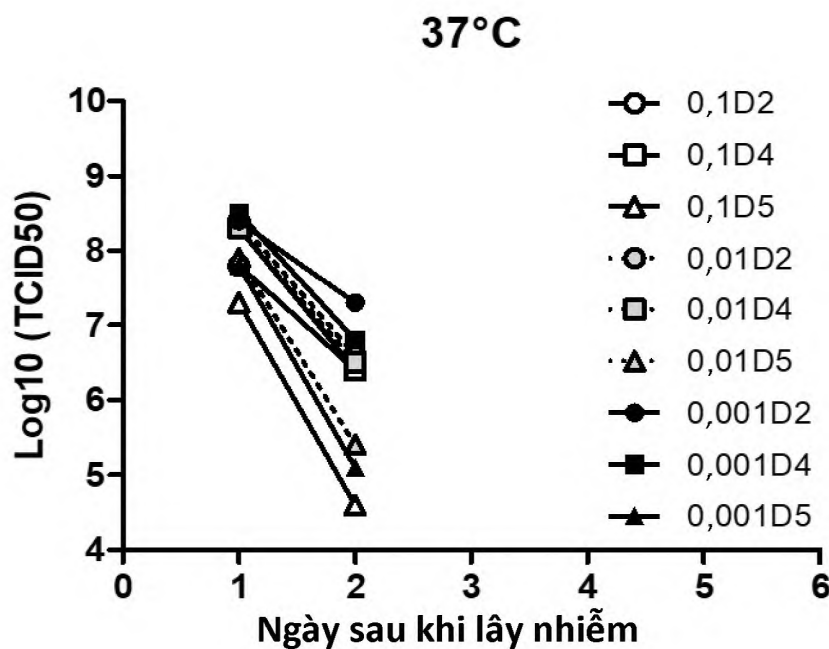
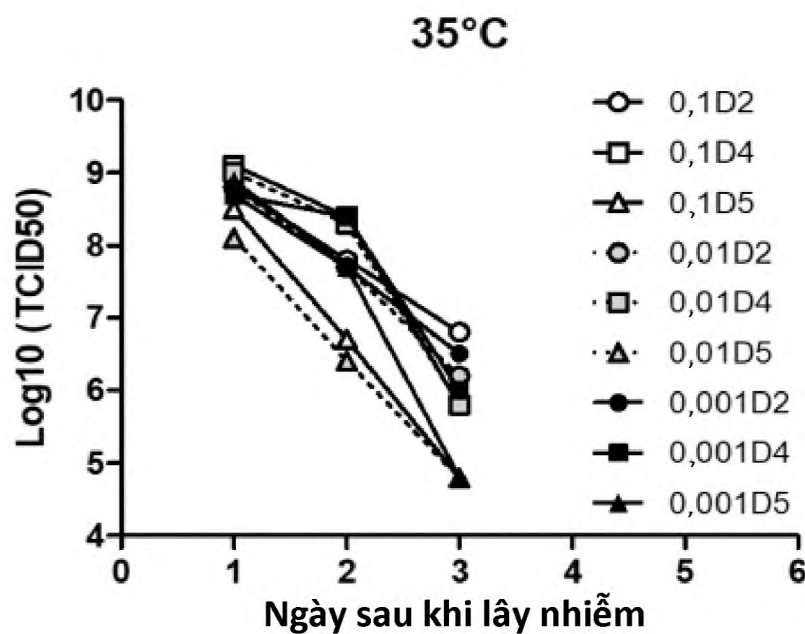


Fig. 12



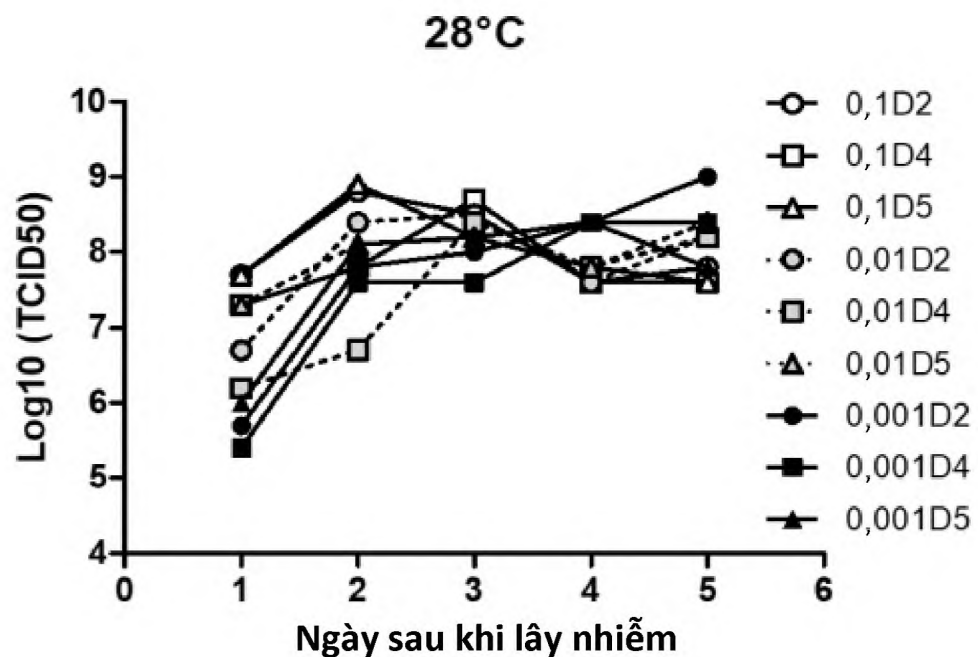
17/23

**Fig. 13****A.****B.**

18/23

Fig. 13 (tiếp)

C.



19/23

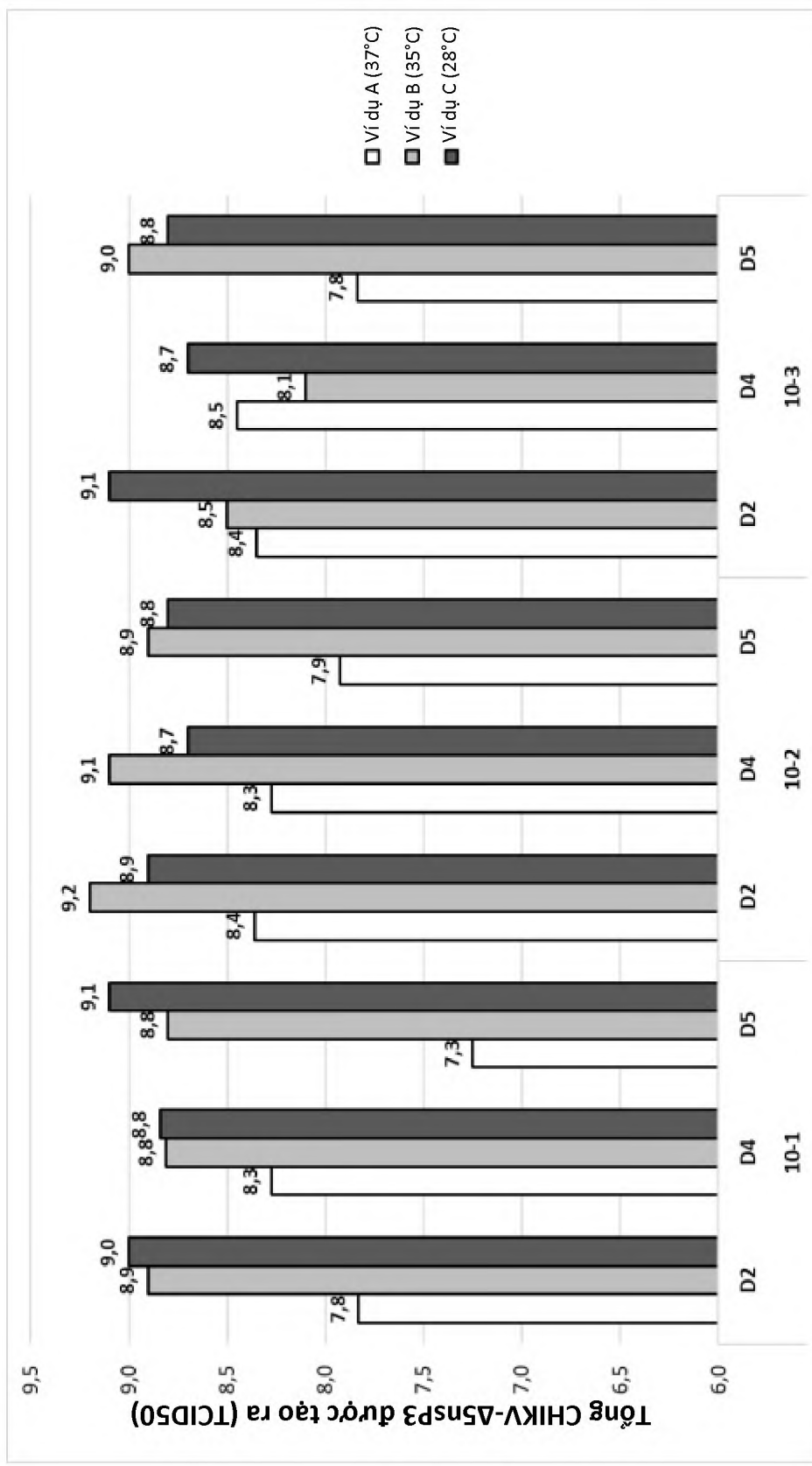
**Fig. 14**

Fig. 15

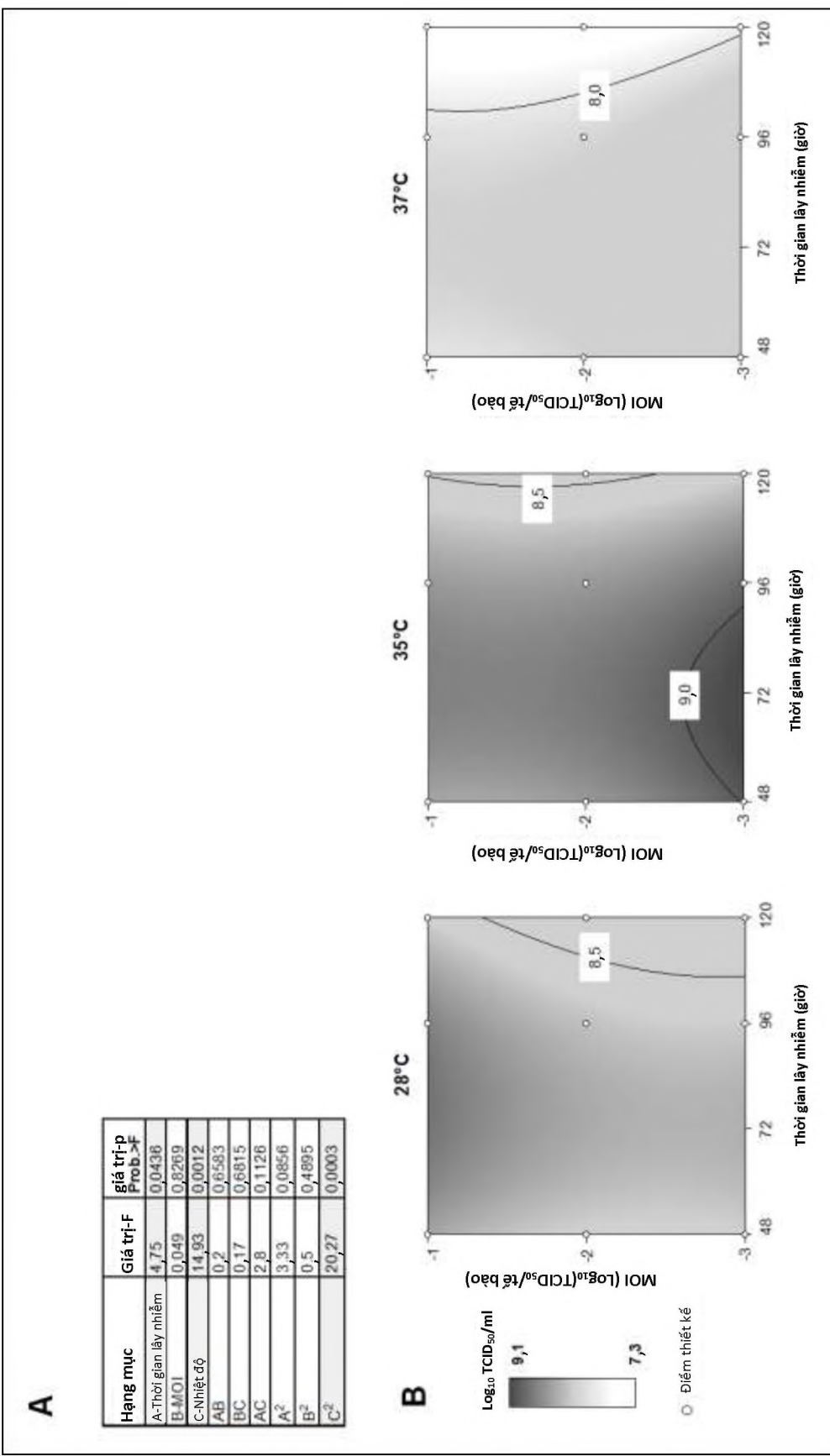


Fig. 16

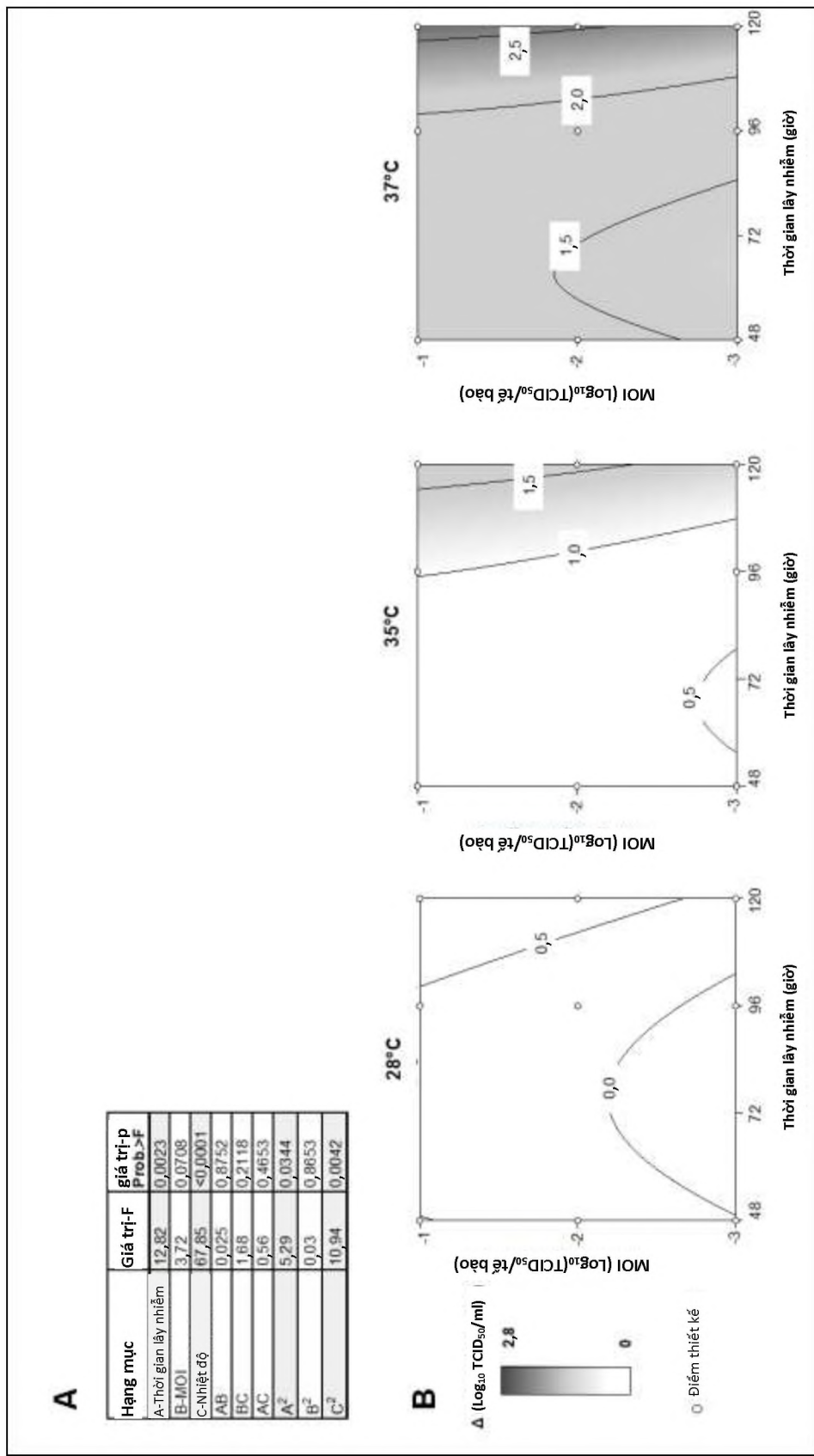


Fig. 17

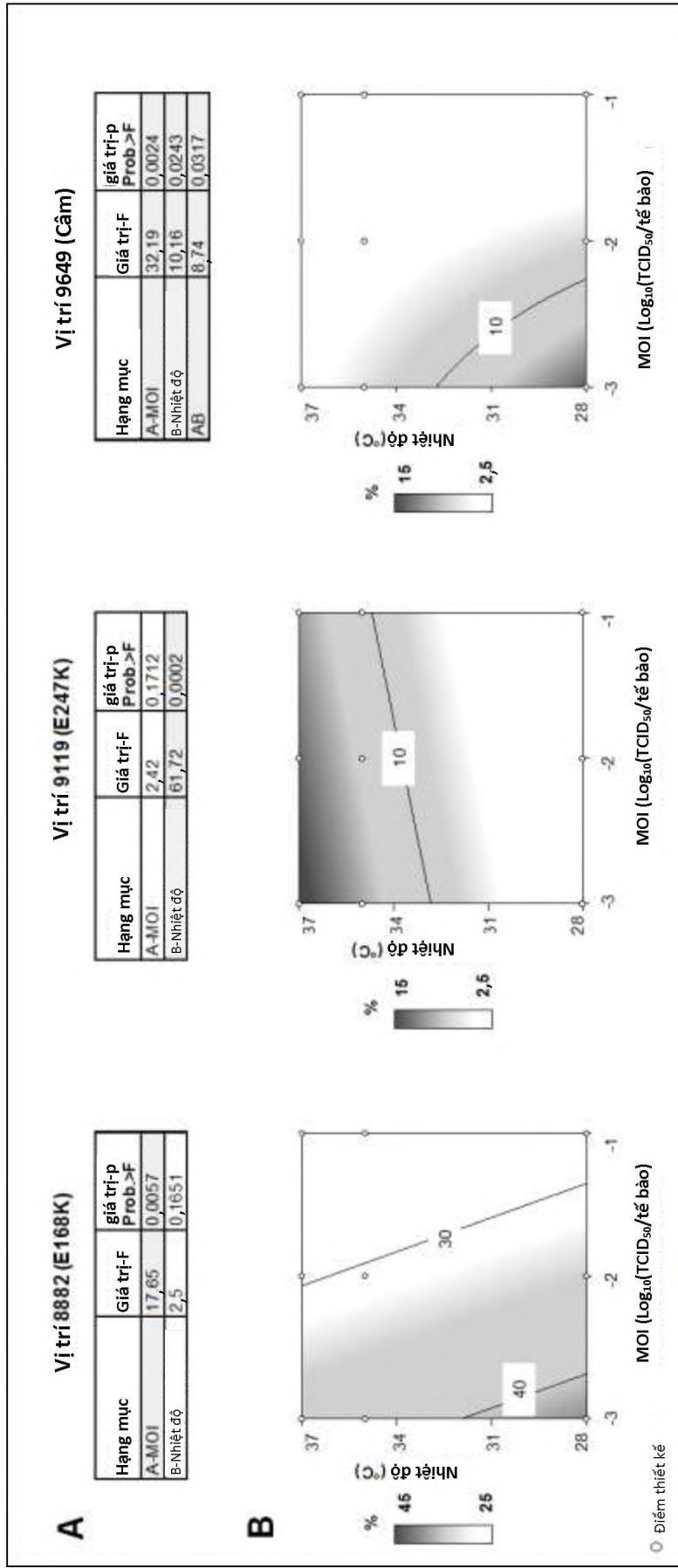
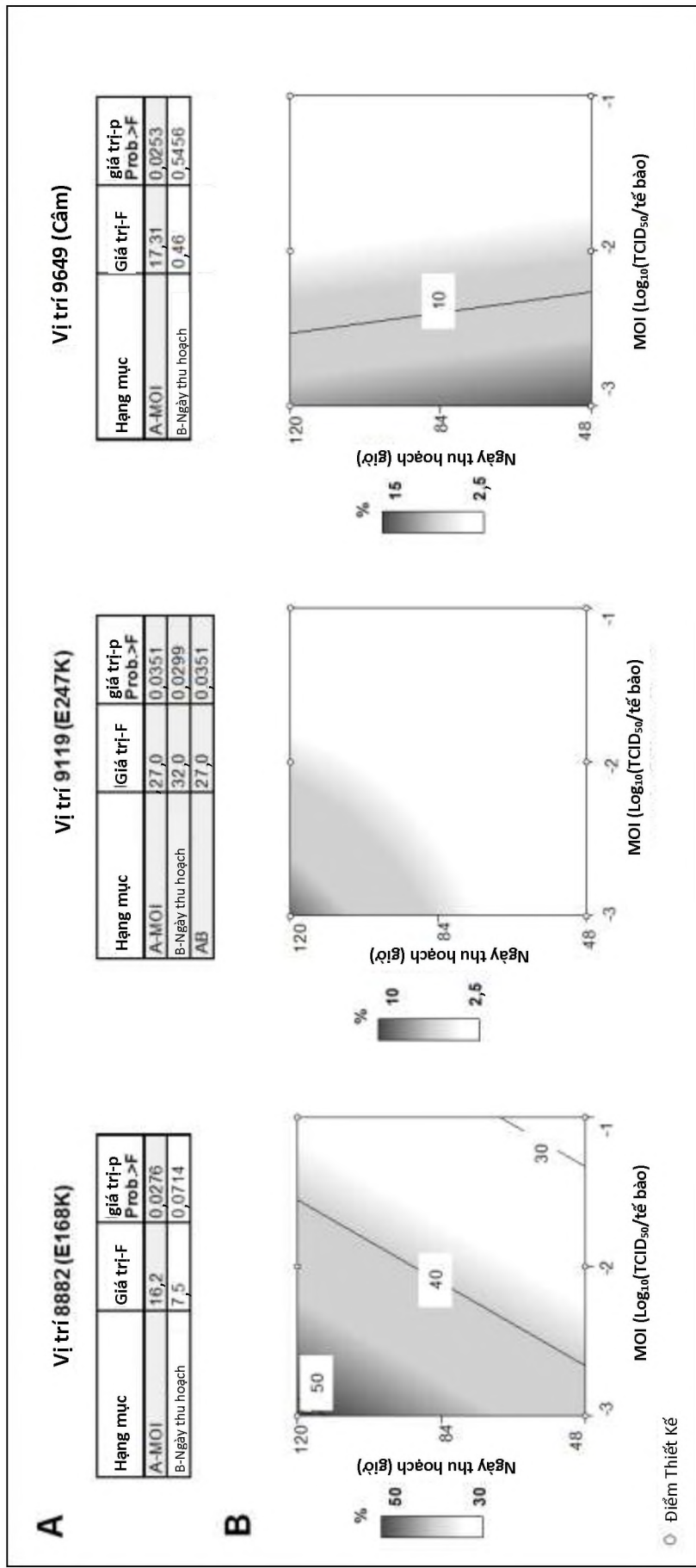


Fig. 18



## DANH MỤC TRÌNH TỰ

<110> Valneva SE

<120> Virut Chikungunya gây miễn dịch

<130> PAT028/PCT

<150> EP17192374.1

<151> 21-09-2017

<160> 49

<170> PatentIn phiên bản 3.5

<210> 1

<211> 11674

<212> ADN

<213> Virut Chikungunya

<400> 1	
gatggctgcg tgagacacac gtagcctacc agtttcttac tgctctactc tgcaaagcaa	60
gagattaata accccatcatg gatcctgtgt acgtggacat agacgctgac agcgccttt	120
tgaaggccct gcaacgtgcg tacccatgt ttgaggtgga accaaggcag gtcacaccga	180
atgaccatgc taatgctaga gcgttctcgc atctagctat aaaactaata gagcaggaaa	240
ttgaccccga ctcaaccatc ctggatatcg gcagtgcgcc agcaaggagg atgatgtcgg	300
acaggaagta ccactgcgtc tgcccgatgc gcagtgcgga agatcccgag agactcgcca	360
attatgcgag aaagctagca tctgcccgag gaaaagtcct ggacagaaac atctctggaa	420
agatcgggga cttacaagca gtaatggccg tgccagacac ggagacgcca acattctgct	480
tacacacaga cgtctcatgt agacagagag cagacgtcgc tatataccaa gacgtctatg	540
ctgtacacgc acccacgtcg ctataccacc aggcgattaa aggggtccga gtggcgtact	600
gggttgggtt cgacacaacc ccgttcatgt acaatgccat ggcgggtgcc taccctcat	660
actcgacaaa ctggcagat gagcaggtac tgaaggctaa gaacatagga ttatgttcaa	720
cagacctgac ggaaggtaga cgaggcaagt tgtctattat gagagggaaa aagctaaaac	780
cgtgcgaccg tgtgctgttc tcagtagggt caacgctcta cccggaaagc cgcaagctac	840
ttaagagctg gcacctgcca tcgggtttcc atttaaaggg caaactcagc ttcacatgcc	900
gctgtgatac agtggtttcg tgtgagggct acgtcgtaa gagaataacg atgagccag	960
gccttatgg aaaaaccaca gggtatgcgg taacccacca cgccagacgga ttcctgatgt	1020

gcaagactac cgacacgggtt gacggcgaaa gaatgtcatt ctcggtgtgc acataacgtgc	1080
cggcgaccat ttgtgatcaa atgaccggca tccttgctac agaagtcacg ccggaggatg	1140
cacagaagct gttgggtgggg ctgaaccaga gaatagtggt taacggcaga acgcaacgga	1200
atacgaacac catgaaaaat tatctgcttc ccgtggtcgc ccaaggcttc agtaagtggg	1260
caaaggagtg ccggaaagac atggaagatg aaaaactcct gggggtcaga gaaagaacac	1320
tgacctgctg ctgtctatgg gcattcaaga agcagaaaaac acacacggtc tacaagaggc	1380
ctgataccca gtcaattcag aaggttcagg ccgagttga cagcttgtg gtaccgagtc	1440
tgtggtcgtc cgggttgtca atccctttga ggactagaat caaatggttg ttaagcaagg	1500
tgccaaaaac cgacctgatc ccatacagcg gagacgcccgg agaagccccgg gacgcagaaaa	1560
aagaagcaga ggaagaacga gaagcagaac tgactcgcgagccctacca cctctacagg	1620
cagcacagga agatgttcag gtcgaaatcg acgtggaaaca gcttggaggac agagcggcgg	1680
caggaataat agagactccg agaggagcta tcaaagttac tgcccaacca acagaccacg	1740
tcgtgggaga gtacctggta ctctccccgc agaccgtact acgttagccag aagctcagtc	1800
tgattcacgc tttggcggag caagtgaaga cgtgcacgca caacggacga gcagggaggt	1860
atgcggtcga agcgtacgac ggccgagtc tagtgcctc aggctatgca atctcgctg	1920
aagacttcca gagtctaagc gaaagcgcaa cgatggtgta taacgaaaga gagttcgtaa	1980
acagaaagct acaccatatt gcgatgcacg gaccagccct gaacaccgac gaagagtcgt	2040
atgagctggt gagggcagag aggacagaac acgagttacgt ctacgacgtg gatcagagaa	2100
gatgctgtaa gaaggaagaa gccgcaggac tggtaactggt gggcgacttg actaatccgc	2160
cctaccacga attcgcatat gaaggctaa aaatccgccc tgcctgccc tacaaaattg	2220
cagtcatagg agtcttcgga gtaccggat ctggcaagtc agctattatc aagaacctag	2280
ttaccaggca ggacctggtg actagcggaa agaaagaaaa ctgccaagaa atcaccaccg	2340
acgtgatgag acagagaggt ctagagatat ctgcacgtac ggttactcg ctgctttga	2400
atggatgcaa cagaccagtc gacgtgttgt acgttagacga ggcgtttgcg tgccactctg	2460
gaacgctact tgctttgatc gccttggta gaccaaggca gaaagttgta ctttgggtg	2520
acccgaagca gtgcggcttc ttcaatatga tgcagatgaa agtcaactat aatcacaaca	2580
tctgcacccca agtgttaccac aaaagtatct ccaggcggtg tacactgcct gtgaccgcca	2640

tttgtcatc gttgcattac gaaggcaaaa tgcgcactac gaatgagtac aacaagccga	2700
ttgttagtgg a cactacaggc tcaacaaaac ctgaccctgg agacctcgta ttaacgtgct	2760
tcagagggtg ggttaaaca ctgcaaattg actatcgta atacgaggtc atgacagcag	2820
ccgcatccca agggttaacc agaaaaggag tttacgcagt tagacaaaaa gttaatgaaa	2880
acccgctcta tgcatacaacg tcagagcagc tcaacgtact cctaacgcgt acggaaggta	2940
aactggtatg gaagacactt tccggcgacc cgtggataaa gacgctgcag aaccaccgaa	3000
aaggaaactt caaagcaact attaaggagt gggaggtgg a catgcata ataatggcgg	3060
gcatctgcag tcaccaa atg accttcgata cattccaaa taaagccaac gtttgggg	3120
ctaagagctt ggtccctatc ctcgaaacag cgggataaa actaaatgat aggca ggt	3180
ctcagataat tcaagccttc aaagaagaca aagcatactc acctgaagta gccctgaatg	3240
aaatatgtac gcgcatgtat ggggtggatc tagacagcgg gctat tttct aaaccgttgg	3300
tgtctgtgtt ttacgcccgtt aaccactggg ataataggcc tggagggaaa atgttcggat	3360
ttaacccga ggcagcatcc attctagaaa gaaagtatcc attcacaaa ggaaagtggaa	3420
acatcaacaa gcagatctgc gtgactacca ggaggataga agactttaac cttaccacca	3480
acatcataacc ggccaacagg agactaccac actcattatg ggccgaacac cgcccatgaa	3540
aaggggaaag aatggaatgg ctggtaaca agataaacgg ccaccacgtg ctcctggta	3600
gtggctataa cttgcactg cctactaaga gagtcacttg ggtagcgccg ttaggtgtcc	3660
gcggagcgga ctacacatac aacctagatg tgggtctgcc agcaacgctt ggtaggtatg	3720
acctagtggt cataaacatc cacacaccc ttgcataca ccattacca cagtgcgtcg	3780
accacgcaat gaaactgcaa atgctgggg gtgactcatt gagactgctc aaaccggcgc	3840
gctctctatt gatcagagca tatggtaacg cagatagaac cagtgaacga gtcatactgc	3900
tattggacg caagtttgcg tgcgtcttagag cgttggaaacc accatgtgtc accagcaaca	3960
ctgagatgtt ttccctattc agcaacttg acaatggcag aaggaatttc acaactcatg	4020
tcatgaacaa tcaactgaat gcagcctcg taggacaggt cacccgagca ggatgtgcac	4080
cgtcgtaaccg ggtaaaacgc atggacatcg cgaagaacga tgaagagtgc gtagtcaacg	4140
ccgctaacc ctcgggtta ccgggtggcg gtgttgcaa ggcagtatac aaaaaatggc	4200
cggagtcctt taagaacagt gcaacaccag tggaaaccgc aaaaacagtt atgtcggtt	4260

cgtatccagt aatccacgct gttggaccaa acttctctaa ttattcggag tctgaagggg	4320
accgggaatt ggcagctgcc tatcgagaag tcgcaaagga agtaactagg ctggagtaa	4380
atagtgttagc tatacctctc ctctccacag gtgtatactc aggagggaaa gacaggctga	4440
cccagtcact gaaccacctc tttacagcca tggactcgac ggatgcagac gtggcatct	4500
actgccgcga caaagaatgg gagaagaaaa tatctgaggc catacagatg cggacccaag	4560
tagagctgct ggatgagcac atctccatag actgcgatat tggtcgctg caccctgaca	4620
gcagcttggc aggcagaaaa ggatacagca ccacggaagg cgcaactgtac tcatactag	4680
aagggacccg ttttcatcag acggctgtgg atatggcga gatacatact atgtggccaa	4740
agcaaacaga ggccaatgag caagtctgcc tatatgccct gggggaaagt attgaatcga	4800
tcagggcagaa atgcccggtg gatgatgcag acgcatcatc tcccccaaa actgtcccgt	4860
gcctttgccg ttacgctatg actccagaac gcgtcacccg gcttcgcgt aaccacgtca	4920
caagcataat tgtgtgttct tcgtttcccc tcccaaagta caaaatagaa ggagtgcaaa	4980
aagtcaaatg ctctaaggta atgctatttgc accacaacgt gccatcgcbc gtaagtccaa	5040
gggcttatag aggtgcccgt gccggtaacc ttgcggccgt gtctgattgg gtaatgagca	5100
ccgtacctgt cgccgcgcgc agaagaaggc gagggagaaaa cctgactgtg acatgtgacg	5160
agagagaagg gaatataaca cccatggcta gcgtccgatt cttagggca gagctgtgtc	5220
cggtcgtaca agaaacagcg gagacgcgtg acacagcaat gtctttcag gcaccaccga	5280
gtaccgcccac ggaaccgaat catccgcccga tctccttcgg agcatcaagc gagacgttcc	5340
ccattacatt tggggacttc aacgaaggag aaatgaaag cttgtttct gagctactaa	5400
cttcggaga cttcttacca ggagaagtgg atgacttgac agacagcgcac tggccacgt	5460
gctcagacac ggacgacgag ttaagactag acagggcagg tgggtatata ttctcgccgg	5520
acaccggtcc aggtcattta caacagaagt cagtgccca gtcagtgcgt ccggtaaca	5580
ccctggagga agtccacgag gagaagtgtt acccacctaa gctggatgaa gcaaaggagc	5640
aactattact taagaaactc caggagagtg catccatggc caacagaagc aggtatcgt	5700
cgcgcaaagt agaaaacatg aaagcagcaa tcatccagag actaaagaga ggctgttagac	5760
tatacttaat gtcagagacc cccaaagtcc ctacttaccg gactacatat ccggcgccctg	5820
tgtactcgcc tccgatcaac gtccgattgt ccaatcccga gtccgcagtg gcagcatgca	5880

atgagttctt agctagaaaac tatccaactg tctcatcata ccaaattacc gacgagtatg	5940
atgcatatct agacatggtg gacgggtcg agagttgcct ggaccgagcg acattcaatc	6000
cgtcaaaact caggagctac cgaaacagc acgcttacca cgccctcc atcagaagcg	6060
ctgtaccgtc cccattccag aacacactac agaatgtact ggcagcagcc acgaaaagaa	6120
actgcaacgt cacacagatg aggaaattac ccactttgga ctcagcagta ttcaacgtgg	6180
agtgttcaa aaaattcgca tgcaaccaag aatactggga agaatttgct gccagcccta	6240
ttaggataac aactgagaat ttagcaacct atgttactaa actaaaaggg caaaaagcag	6300
cagcgctatt cgcaaaaacc cataatctac tgccactaca ggaagtacca atggataggt	6360
tcacagtaga tatgaaaagg gacgtaaagg tgactcctgg tacaaagcat acagaggaaa	6420
gaccttaaggt gcaggttata caggcggctg aacccttggc gacagcatac ctatgtggga	6480
ttcacagaga gctggtagg aggctgaacg ccgtccctt acccaatgtta catabactat	6540
ttgacatgtc tgccgaggat ttcatgtccca tcataccgc acacttaag ccaggagaca	6600
ctgttttggaa aacggacata gcctcctttg ataagagcca agatgattca cttgcgttta	6660
ctgctttgat gctgttagag gatttagggg tggatcactc cctgctggac ttgatagagg	6720
ctgctttcgag agagatttcc agctgtcacc taccgacagg tacgcgttc aagttcggcg	6780
ccatgtgaa atcaggtatg ttccataactc tggtcgtaa cacattgtta aacatcacca	6840
tcgccagccg agtgcggaa gatcgctga caaaatccgc gtgcgcggcc ttcatcgccg	6900
acgacaacat aatacatgga gtcgtctccg atgaattgat ggcagccaga tgtgccactt	6960
ggatgaacat ggaagtgaag atcatagatg cagttgtatc cttgaaagcc cttactttt	7020
gtggagggtt tatactgcac gatactgtga caggaacagc ttgcagagtgc gcaagccgc	7080
taaaaaggct ttttaaactg ggcaaacccgc tagcggcagg tgacgaacaa gatgaagata	7140
gaagacgagc gctggctgac gaagtgtatca gatggcaacg aacagggcta attgtatgagc	7200
tggagaaagc ggtatactct aggtacgaag tgcagggtat atcagttgtgc gtaatgtcca	7260
tggccacctt tgcaagctcc agatccaaact tcgagaagct cagaggaccc gtcataactt	7320
tgtacggcgg tcctaaatag gtacgcacta cagctaccta tttgcagaa gccgacagca	7380
agtatctaaa cactaatcag ctacaatgga gttcatccca acccaaactt tttacaatag	7440
gaggtaccag cctcgaccct ggactccgcg ccctactatc caagtcataa ggcccagacc	7500

gcgcctcag aggcaagctg ggcaacttgc ccagctgatc tcagcagtta ataaactgac	7560
aatgcgcggt gtaccacaac agaagccacg caggaatcg aagaataaga agcaaaagca	7620
aaaacaacag gcgcacaaa acaacacaaa tcaaaagaag cagccaccta aaaagaaacc	7680
ggctcaaaag aaaaagaagc cggccgcag agagaggatg tgcataaaa tcgaaaatga	7740
ttgtatccc gaagtcaagc acgaaggtaa ggtaacaggt tacgcgtgcc tggggggga	7800
caaagtaatg aaaccagcac acgtaaaggg gaccatcgat aacgcggacc tggccaaact	7860
ggccttaag cggtcatcta agtatgacct tgaatgcgc tagatacccg tgcacatgaa	7920
gtccgacgct tcgaaggta cccatgagaa accgggggg tactacaact ggcaccacgg	7980
agcagtacag tactcaggag gccgggtcac catccctaca ggtgctggca aaccagggga	8040
cagcggcaga ccgatctcg acaacaaggg acgcgtggtg gccatagtct taggaggagc	8100
taatgaagga gcccgtacag ccctctcggt ggtgacctgg aataaagaca ttgtcactaa	8160
aatcaccccc gagggggccg aagagtggag tcttgcac ccagttatgt gcctgttggc	8220
aaacaccacg ttccccgtcc cccagccccc ttgcacgccc tgctgctacg aaaaggaacc	8280
ggagggaaacc ctacgcatgc ttgaggacaa cgtcatgaga cctgggtact atcagctgct	8340
acaaggcatcc ttaacatgtt ctccccaccg ccagcgacgc agcaccaagg acaacttcaa	8400
tgtctataaa gccacaagac catacttagc tcactgtccc gactgtggag aagggcactc	8460
gtgccatagt cccgtacgt tagaacgtac cagaaatgaa gcgcacagacg ggacgctgaa	8520
aatccaggtc tccttgcaaa tcggaataaa gacggatgac agccacgatt ggaccaagct	8580
gcgttatatg gacaaccaca tgccagcaga cgcagagagg gcggggctat ttgtaagaac	8640
atcagcaccg tgtacgatta ctggaacaat gggacacttc atcctggccc gatgtccaaa	8700
agggaaact ctgacggtgg gattcactga cagtaggaag attagtcact catgtacgca	8760
cccatccac cacgaccctc ctgtgatagg tcggaaaaaa ttccattccc gaccgcagca	8820
cggtaaagag ctacccgtca gcacgtacgt gcagagcacc gccgcaacta ccgaggagat	8880
agaggtacac atgccccca gacccctga tcgcacatta atgtcacaac agtccggcaa	8940
cgtaaagatc acagtcaatg gccagacggt gcggtacaag tggatgcgt gtggctaaa	9000
tgaaggacta acaactacag acaaagtgat taataactgc aaggttgc aatgtcatgc	9060
cgcggtcacc aatcacaaaa agtggcagta taactccct ctggccgc gtaatgctga	9120

acttggggac	cgaaaaggaa	aaattcacat	cccgttccg	ctggcaaatg	taacatgcag	9180
ggtcctaaa	gcaaggaacc	ccaccgtgac	gtacggaaa	aaccaagtca	tcatgctact	9240
gtatcctgac	cacccaacac	tcctgtccta	ccggaatatg	ggagaagaac	caaactatca	9300
agaagagtgg	gtgatgcata	agaaggaagt	cgtctaacc	gtgccgactg	aagggctcga	9360
ggtcacgtgg	ggcaacaacg	agccgtataa	gtattggccg	cagttatcta	caaacggtag	9420
agcccatggc	cacccgcatg	agataattct	gtattattat	gagctgtacc	ccactatgac	9480
tgttagtagtt	gtgtcagtgg	ccacgttcat	actcctgtcg	atggtggta	tggcagcggg	9540
gatgtgcattg	tgtgcacgac	gcagatgcat	cacaccgtat	gaactgacac	caggagctac	9600
cgtccctttc	ctgcttagcc	taatatgctg	catcagaaca	gctaaagcgg	ccacatacca	9660
agaggctgcg	atatacctgt	ggaacgagca	gcaacccttg	ttttggctac	aagcccttat	9720
tccgctggca	gccctgattg	ttctatgcaa	ctgtctgaga	ctcttaccat	gctgctgtaa	9780
aacgttggct	tttttagccg	taatgagcgt	cggtccccac	actgtgagcg	cgtacgaaca	9840
cgtaacagtg	atcccgaaca	cggtgggagt	accgtataag	actctagtca	atagacctgg	9900
ctacagcccc	atggtattgg	agatggaact	actgtcagtc	actttggagc	caacactatc	9960
gcttgattac	atcacgtgcg	agtacaaaac	cgtcatcccg	tctccgtacg	tgaagtgctg	10020
cggtagca	gagtgcaagg	acaaaaaccc	acctgactac	agctgtaagg	tcttcaccgg	10080
cgtctaccca	tttatgtggg	gcggcgccct	ctgcttctgc	gacgctgaaa	acacgcagtt	10140
gagcgaagca	cacgtggaga	agtccgaatc	atgaaaaca	gaatttgcac	cagcatacag	10200
ggctcatacc	gcatctgcat	cagctaagct	ccgcgtcctt	taccaaggaa	ataacatcac	10260
tgttaactgcc	tatgcaaacg	gcgaccatgc	cgtcacagtt	aaggacgcca	aattcattgt	10320
ggggccaatg	tcttcagcct	ggacaccctt	cgacaacaaa	attgtggtgt	acaaagggtga	10380
cgtctataac	atggactacc	cgcctttgg	cgcaggaaga	ccaggacaat	ttggcgatata	10440
ccaaagtgc	acacctgaga	gtaaagacgt	ctatgcta	acacaactgg	tactgcagag	10500
accggctgtg	ggtacggtac	acgtgccata	ctctcaggca	ccatctggct	ttaagtattg	10560
gctaaaagaa	cgcggggcgt	cgctgcagca	cacagcacca	tttggctgcc	aaatagcaac	10620
aaacccggta	agagcgggtga	actgcgcgt	agggAACATG	cccatctcca	tcgacatacc	10680
ggaagcggcc	ttcacttaggg	tcgtcgacgc	gccctctta	acggacatgt	cgtgcgaggt	10740

accagcctgc acccattcct cagactttgg gggcgtcgcc attattaaat atgcagccag	10800
caagaaaaggc aagtgtgcgg tgcattcgat gactaacgccc gtcactattc ggaaagctga	10860
gatagaagtt gaaggaaatt ctcagctgca aatctcttc tcgacggcct tagccagcgc	10920
cgaattccgc gtacaagtct gttctacaca agtacactgt gcagccgagt gccacccccc	10980
gaaggaccac atagtcaact acccggcgtc acataccacc ctcgggtcc aggacatctc	11040
cgctacggcg atgtcatggg tgcagaagat cacggaggt gtgggactgg ttgttgctgt	11100
tgccgcactg attctaattcg tggtgctatg cgtgtcggttc agcaggcact aacttgacaa	11160
ttaagtatga aggtatatgt gtcccctaag agacacactg tacatagcaa ataatctata	11220
gatcaaaggg ctacgcaacc cctgaatagt aacaaaatac aaaatcacta aaaattataa	11280
aaacagaaaa atacataaat aggtatacgt gtcccctaag agacacattg tatgttaggt	11340
ataagtatag atcaaagggc cgaataaccc ctgaatagta aacaaaatatg aaaatcaata	11400
aaaatcataa aatagaaaaa ccataaacag aagtagttca aagggtata aaacccctga	11460
atagtaacaa aacataaat taataaaaat caaatgaata ccataattgg caaacggag	11520
agatgttaggt acttaagctt cctaaaagca gccgaactca ctttgagaag taggcatagc	11580
ataccgaact cttccacgat tctccgaacc cacagggacg taggagatgt tattttgttt	11640
ttaatatttc aaaaaaaaaa aaaaaaaaaa aaaa	11674

<210> 2  
 <211> 423  
 <212> PRT  
 <213> Virut Chikungunya

<400> 2

Ser	Thr	Lys	Asp	Asn	Phe	Asn	Val	Tyr	Lys	Ala	Thr	Arg	Pro	Tyr	Leu
1															

Ala	His	Cys	Pro	Asp	Cys	Gly	Glu	Gly	His	Ser	Cys	His	Ser	Pro	Val
20															

Ala	Leu	Glu	Arg	Ile	Arg	Asn	Glu	Ala	Thr	Asp	Gly	Thr	Leu	Lys	Ile
35															

Gln	Val	Ser	Leu	Gln	Ile	Gly	Ile	Lys	Thr	Asp	Asp	Ser	His	Asp	Trp
50															

Thr Lys Leu Arg Tyr Met Asp Asn His Met Pro Ala Asp Ala Glu Arg  
65 70 75 80

Ala Gly Leu Phe Val Arg Thr Ser Ala Pro Cys Thr Ile Thr Gly Thr  
85 90 95

Met Gly His Phe Ile Leu Ala Arg Cys Pro Lys Gly Glu Thr Leu Thr  
100 105 110

Val Gly Phe Thr Asp Ser Arg Lys Ile Ser His Ser Cys Thr His Pro  
115 120 125

Phe His His Asp Pro Pro Val Ile Gly Arg Glu Lys Phe His Ser Arg  
130 135 140

Pro Gln His Gly Lys Glu Leu Pro Cys Ser Thr Tyr Val Gln Ser Thr  
145 150 155 160

Ala Ala Thr Thr Glu Glu Ile Glu Val His Met Pro Pro Asp Thr Pro  
165 170 175

Asp His Thr Leu Met Ser Gln Gln Ser Gly Asn Val Lys Ile Thr Val  
180 185 190

Asn Gly Gln Thr Val Arg Tyr Lys Cys Asn Cys Gly Gly Ser Asn Glu  
195 200 205

Gly Leu Thr Thr Asp Lys Val Ile Asn Asn Cys Lys Val Asp Gln  
210 215 220

Cys His Ala Ala Val Thr Asn His Lys Lys Trp Gln Tyr Asn Ser Pro  
225 230 235 240

Leu Val Pro Arg Asn Ala Glu Leu Gly Asp Arg Lys Gly Lys Ile His  
245 250 255

Ile Pro Phe Pro Leu Ala Asn Val Thr Cys Arg Val Pro Lys Ala Arg  
260 265 270

Asn Pro Thr Val Thr Tyr Gly Lys Asn Gln Val Ile Met Leu Leu Tyr  
 275 280 285

Pro Asp His Pro Thr Leu Leu Ser Tyr Arg Asn Met Gly Glu Glu Pro  
 290 295 300

Asn Tyr Gln Glu Glu Trp Val Met His Lys Lys Glu Val Val Leu Thr  
 305 310 315 320

Val Pro Thr Glu Gly Leu Glu Val Thr Trp Gly Asn Asn Glu Pro Tyr  
 325 330 335

Lys Tyr Trp Pro Gln Leu Ser Thr Asn Gly Thr Ala His Gly His Pro  
 340 345 350

His Glu Ile Ile Leu Tyr Tyr Glu Leu Tyr Pro Thr Met Thr Val  
 355 360 365

Val Val Val Ser Val Ala Thr Phe Ile Leu Leu Ser Met Val Gly Met  
 370 375 380

Ala Ala Gly Met Cys Met Cys Ala Arg Arg Arg Cys Ile Thr Pro Tyr  
 385 390 395 400

Glu Leu Thr Pro Gly Ala Thr Val Pro Phe Leu Leu Ser Leu Ile Cys  
 405 410 415

Cys Ile Arg Thr Ala Lys Ala  
 420

<210> 3

<211> 423

<212> PRT

<213> Trình tự nhân tạo

<220>

<223> đột biến phát sinh từ việc cấy chuyển Vero

<400> 3

Ser Thr Lys Asp Asn Phe Asn Val Tyr Lys Ala Thr Arg Pro Tyr Leu  
 1 5 10 15

Ala His Cys Pro Asp Cys Gly Glu Gly His Ser Cys His Ser Pro Val  
20 25 30

Ala Leu Glu Arg Ile Arg Asn Glu Ala Thr Asp Gly Thr Leu Lys Ile  
35 40 45

Gln Val Ser Leu Gln Ile Gly Ile Lys Thr Asp Asp Ser His Asp Trp  
50 55 60

Thr Lys Leu Arg Tyr Met Asp Asn His Met Pro Ala Asp Ala Glu Arg  
65 70 75 80

Ala Gly Leu Phe Val Arg Thr Ser Ala Pro Cys Thr Ile Thr Gly Thr  
85 90 95

Met Gly His Phe Ile Leu Ala Arg Cys Pro Lys Gly Glu Thr Leu Thr  
100 105 110

Val Gly Phe Thr Asp Ser Arg Lys Ile Ser His Ser Cys Thr His Pro  
115 120 125

Phe His His Asp Pro Pro Val Ile Gly Arg Glu Lys Phe His Ser Arg  
130 135 140

Pro Gln His Gly Lys Glu Leu Pro Cys Ser Thr Tyr Val Gln Ser Thr  
145 150 155 160

Ala Ala Thr Thr Glu Glu Ile Lys Val His Met Pro Pro Asp Thr Pro  
165 170 175

Asp His Thr Leu Met Ser Gln Gln Ser Gly Asn Val Lys Ile Thr Val  
180 185 190

Asn Gly Gln Thr Val Arg Tyr Lys Cys Asn Cys Gly Gly Ser Asn Glu  
195 200 205

Gly Leu Thr Thr Asp Lys Val Ile Asn Asn Cys Lys Val Asp Gln  
210 215 220

Cys His Ala Ala Val Thr Asn His Lys Lys Trp Gln Tyr Asn Ser Pro  
225 230 235 240

Leu Val Pro Arg Asn Ala Glu Leu Gly Asp Arg Lys Gly Lys Ile His  
 245 250 255

Ile Pro Phe Pro Leu Ala Asn Val Thr Cys Arg Val Pro Lys Ala Arg  
 260 265 270

Asn Pro Thr Val Thr Tyr Gly Lys Asn Gln Val Ile Met Leu Leu Tyr  
 275 280 285

Pro Asp His Pro Thr Leu Leu Ser Tyr Arg Asn Met Gly Glu Glu Pro  
 290 295 300

Asn Tyr Gln Glu Glu Trp Val Met His Lys Lys Glu Val Val Leu Thr  
 305 310 315 320

Val Pro Thr Glu Gly Leu Glu Val Thr Trp Gly Asn Asn Glu Pro Tyr  
 325 330 335

Lys Tyr Trp Pro Gln Leu Ser Thr Asn Gly Thr Ala His Gly His Pro  
 340 345 350

His Glu Ile Ile Leu Tyr Tyr Glu Leu Tyr Pro Thr Met Thr Val  
 355 360 365

Val Val Val Ser Val Ala Thr Phe Ile Leu Leu Ser Met Val Gly Met  
 370 375 380

Ala Ala Gly Met Cys Met Cys Ala Arg Arg Arg Cys Ile Thr Pro Tyr  
 385 390 395 400

Glu Leu Thr Pro Gly Ala Thr Val Pro Phe Leu Leu Ser Leu Ile Cys  
 405 410 415

Cys Ile Arg Thr Ala Lys Ala  
 420

<210> 4

<211> 423

<212> PRT

<213> Trình tự nhân tạo

&lt;220&gt;

&lt;223&gt; đột biến phát sinh từ việc cấy chuyển Vero

&lt;400&gt; 4

Ser Thr Lys Asp Asn Phe Asn Val Tyr Lys Ala Thr Arg Pro Tyr Leu  
 1 5 10 15

Ala His Cys Pro Asp Cys Gly Glu Gly His Ser Cys His Ser Pro Val  
 20 25 30

Ala Leu Glu Arg Ile Arg Asn Glu Ala Thr Asp Gly Thr Leu Lys Ile  
 35 40 45

Gln Val Ser Leu Gln Ile Arg Ile Lys Thr Asp Asp Ser His Asp Trp  
 50 55 60

Thr Lys Leu Arg Tyr Met Asp Asn His Met Pro Ala Asp Ala Glu Arg  
 65 70 75 80

Ala Gly Leu Phe Val Arg Thr Ser Ala Pro Cys Thr Ile Thr Gly Thr  
 85 90 95

Met Gly His Phe Ile Leu Ala Arg Cys Pro Lys Gly Glu Thr Leu Thr  
 100 105 110

Val Gly Phe Thr Asp Ser Arg Lys Ile Ser His Ser Cys Thr His Pro  
 115 120 125

Phe His His Asp Pro Pro Val Ile Gly Arg Glu Lys Phe His Ser Arg  
 130 135 140

Pro Gln His Gly Lys Glu Leu Pro Cys Ser Thr Tyr Val Gln Ser Thr  
 145 150 155 160

Ala Ala Thr Thr Glu Glu Ile Glu Val His Met Pro Pro Asp Thr Pro  
 165 170 175

Asp His Thr Leu Met Ser Gln Gln Ser Gly Asn Val Lys Ile Thr Val  
 180 185 190

Asn Gly Gln Thr Val Arg Tyr Lys Cys Asn Cys Gly Gly Ser Asn Glu  
195 200 205

Gly Leu Thr Thr Thr Asp Lys Val Ile Asn Asn Cys Lys Val Asp Gln  
210 215 220

Cys His Ala Ala Val Thr Asn His Lys Lys Trp Gln Tyr Asn Ser Pro  
225 230 235 240

Leu Val Pro Arg Asn Ala Glu Leu Gly Asp Arg Lys Gly Lys Ile His  
245 250 255

Ile Pro Phe Pro Leu Ala Asn Val Thr Cys Arg Val Pro Lys Ala Arg  
260 265 270

Asn Pro Thr Val Thr Tyr Gly Lys Asn Gln Val Ile Met Leu Leu Tyr  
275 280 285

Pro Asp His Pro Thr Leu Leu Ser Tyr Arg Asn Met Gly Glu Glu Pro  
290 295 300

Asn Tyr Gln Glu Glu Trp Val Met His Lys Lys Glu Val Val Leu Thr  
305 310 315 320

Val Pro Thr Glu Gly Leu Glu Val Thr Trp Gly Asn Asn Glu Pro Tyr  
325 330 335

Lys Tyr Trp Pro Gln Leu Ser Thr Asn Gly Thr Ala His Gly His Pro  
340 345 350

His Glu Ile Ile Leu Tyr Tyr Glu Leu Tyr Pro Thr Met Thr Val  
355 360 365

Val Val Val Ser Val Ala Thr Phe Ile Leu Leu Ser Met Val Gly Met  
370 375 380

Ala Ala Gly Met Cys Met Cys Ala Arg Arg Arg Cys Ile Thr Pro Tyr  
385 390 395 400

Glu Leu Thr Pro Gly Ala Thr Val Pro Phe Leu Leu Ser Leu Ile Cys  
405 410 415

Cys Ile Arg Thr Ala Lys Ala  
420

<210> 5  
<211> 423  
<212> PRT  
<213> Trình tự nhân tạo

<220>  
<223> đột biến phát sinh từ việc cấy chuyển Vero

<400> 5

Ser Thr Lys Asp Asn Phe Asn Val Tyr Lys Ala Thr Arg Pro Tyr Leu  
1 5 10 15

Ala His Cys Pro Asp Cys Gly Glu Gly His Ser Cys His Ser Pro Val  
20 25 30

Ala Leu Glu Arg Ile Arg Asn Glu Ala Thr Asp Gly Thr Leu Lys Ile  
35 40 45

Gln Val Ser Leu Gln Ile Gly Ile Lys Thr Asp Asp Ser His Asp Trp  
50 55 60

Thr Lys Leu Arg Tyr Met Asp Asn His Met Pro Ala Asp Ala Glu Arg  
65 70 75 80

Ala Gly Leu Phe Val Arg Thr Ser Ala Pro Cys Thr Ile Thr Gly Thr  
85 90 95

Met Gly His Phe Ile Leu Ala Arg Cys Pro Lys Gly Glu Thr Leu Thr  
100 105 110

Val Gly Phe Thr Asp Ser Arg Lys Ile Ser His Ser Cys Thr His Pro  
115 120 125

Phe His His Asp Pro Pro Val Ile Gly Arg Glu Lys Phe His Ser Arg  
130 135 140

Pro Gln His Gly Lys Glu Leu Pro Cys Ser Thr Tyr Val Gln Ser Thr  
145 150 155 160

Ala Ala Thr Thr Glu Glu Ile Glu Val His Met Pro Pro Asp Thr Pro  
165 170 175

Asp His Thr Leu Met Ser Gln Gln Ser Gly Asn Val Lys Ile Thr Val  
180 185 190

Asn Gly Gln Thr Val Arg Tyr Lys Cys Asn Cys Gly Gly Ser Asn Glu  
195 200 205

Gly Leu Thr Thr Thr Asp Lys Val Ile Asn Asn Cys Lys Val Asp Gln  
210 215 220

Cys His Ala Ala Val Thr Asn His Lys Lys Trp Gln Tyr Asn Ser Pro  
225 230 235 240

Leu Val Pro Arg Asn Ala Lys Leu Gly Asp Arg Lys Gly Lys Ile His  
245 250 255

Ile Pro Phe Pro Leu Ala Asn Val Thr Cys Arg Val Pro Lys Ala Arg  
260 265 270

Asn Pro Thr Val Thr Tyr Gly Lys Asn Gln Val Ile Met Leu Leu Tyr  
275 280 285

Pro Asp His Pro Thr Leu Leu Ser Tyr Arg Asn Met Gly Glu Glu Pro  
290 295 300

Asn Tyr Gln Glu Glu Trp Val Met His Lys Lys Glu Val Val Leu Thr  
305 310 315 320

Val Pro Thr Glu Gly Leu Glu Val Thr Trp Gly Asn Asn Glu Pro Tyr  
325 330 335

Lys Tyr Trp Pro Gln Leu Ser Thr Asn Gly Thr Ala His Gly His Pro  
340 345 350

His Glu Ile Ile Leu Tyr Tyr Glu Leu Tyr Pro Thr Met Thr Val  
355 360 365

Val Val Val Ser Val Ala Thr Phe Ile Leu Leu Ser Met Val Gly Met  
 370 375 380

Ala Ala Gly Met Cys Met Cys Ala Arg Arg Arg Cys Ile Thr Pro Tyr  
 385 390 395 400

Glu Leu Thr Pro Gly Ala Thr Val Pro Phe Leu Leu Ser Leu Ile Cys  
 405 410 415

Cys Ile Arg Thr Ala Lys Ala  
 420

<210> 6

<211> 423

<212> PRT

<213> Trình tự nhân tạo

<220>

<223> đột biến phát sinh từ việc cấy chuyển Vero

<400> 6

Ser Thr Lys Asp Asn Phe Asn Val Tyr Lys Ala Thr Arg Pro Tyr Leu  
 1 5 10 15

Ala His Cys Pro Asp Cys Gly Glu Gly His Ser Cys His Ser Pro Val  
 20 25 30

Ala Leu Glu Arg Ile Arg Asn Glu Ala Thr Asp Gly Thr Leu Lys Ile  
 35 40 45

Gln Val Ser Leu Gln Ile Gly Ile Lys Thr Asp Asp Ser His Asp Trp  
 50 55 60

Thr Lys Leu Arg Tyr Met Asp Asn His Met Pro Ala Asp Ala Glu Arg  
 65 70 75 80

Ala Arg Leu Phe Val Arg Thr Ser Ala Pro Cys Thr Ile Thr Gly Thr  
 85 90 95

Met Gly His Phe Ile Leu Ala Arg Cys Pro Lys Gly Glu Thr Leu Thr  
 100 105 110

Val Gly Phe Thr Asp Ser Arg Lys Ile Ser His Ser Cys Thr His Pro  
115 120 125

Phe His His Asp Pro Pro Val Ile Gly Arg Glu Lys Phe His Ser Arg  
130 135 140

Pro Gln His Gly Lys Glu Leu Pro Cys Ser Thr Tyr Val Gln Ser Thr  
145 150 155 160

Ala Ala Thr Thr Glu Glu Ile Glu Val His Met Pro Pro Asp Thr Pro  
165 170 175

Asp His Thr Leu Met Ser Gln Gln Ser Gly Asn Val Lys Ile Thr Val  
180 185 190

Asn Gly Gln Thr Val Arg Tyr Lys Cys Asn Cys Gly Gly Ser Asn Glu  
195 200 205

Gly Leu Thr Thr Thr Asp Lys Val Ile Asn Asn Cys Lys Val Asp Gln  
210 215 220

Cys His Ala Ala Val Thr Asn His Lys Lys Trp Gln Tyr Asn Ser Pro  
225 230 235 240

Leu Val Pro Arg Asn Ala Glu Leu Gly Asp Arg Lys Gly Lys Ile His  
245 250 255

Ile Pro Phe Pro Leu Ala Asn Val Thr Cys Arg Val Pro Lys Ala Arg  
260 265 270

Asn Pro Thr Val Thr Tyr Gly Lys Asn Gln Val Ile Met Leu Leu Tyr  
275 280 285

Pro Asp His Pro Thr Leu Leu Ser Tyr Arg Asn Met Gly Glu Glu Pro  
290 295 300

Asn Tyr Gln Glu Glu Trp Val Met His Lys Lys Glu Val Val Leu Thr  
305 310 315 320

Val Pro Thr Glu Gly Leu Glu Val Thr Trp Gly Asn Asn Glu Pro Tyr  
325 330 335

Lys Tyr Trp Pro Gln Leu Ser Thr Asn Gly Thr Ala His Gly His Pro  
 340 345 350

His Glu Ile Ile Leu Tyr Tyr Glu Leu Tyr Pro Thr Met Thr Val  
 355 360 365

Val Val Val Ser Val Ala Thr Phe Ile Leu Leu Ser Met Val Gly Met  
 370 375 380

Ala Ala Gly Met Cys Met Cys Ala Arg Arg Arg Cys Ile Thr Pro Tyr  
 385 390 395 400

Glu Leu Thr Pro Gly Ala Thr Val Pro Phe Leu Leu Ser Leu Ile Cys  
 405 410 415

Cys Ile Arg Thr Ala Lys Ala  
 420

<210> 7  
 <211> 423  
 <212> PRT  
 <213> Trình tự nhân tạo

<220>  
 <223> đột biến phát sinh từ việc cấy chuyển Vero

<400> 7

Ser Thr Lys Asp Asn Phe Asn Val Tyr Lys Ala Thr Arg Pro Tyr Leu  
 1 5 10 15

Ala His Cys Pro Asp Cys Gly Glu Gly His Ser Cys His Ser Pro Val  
 20 25 30

Ala Leu Glu Arg Ile Arg Asn Glu Ala Thr Asp Gly Thr Leu Lys Ile  
 35 40 45

Gln Val Ser Leu Gln Ile Gly Ile Lys Thr Asp Asp Ser His Asp Trp  
 50 55 60

Thr Lys Leu Arg Tyr Met Asp Asn His Met Pro Ala Asp Ala Glu Arg  
 65 70 75 80

Ala Gly Leu Phe Val Arg Thr Ser Ala Pro Cys Thr Ile Thr Gly Thr  
85 90 95

Met Gly His Phe Ile Leu Ala Arg Cys Pro Lys Gly Glu Thr Leu Thr  
100 105 110

Val Gly Phe Thr Asp Ser Arg Lys Ile Ser His Ser Cys Thr His Pro  
115 120 125

Phe His His Asp Pro Pro Val Ile Gly Arg Glu Lys Phe His Ser Arg  
130 135 140

Pro Gln His Gly Lys Glu Leu Pro Cys Ser Thr Tyr Val Gln Ser Thr  
145 150 155 160

Ala Ala Thr Thr Glu Glu Ile Glu Val His Met Pro Pro Asp Thr Pro  
165 170 175

Asp His Thr Leu Met Ser Gln Gln Ser Gly Asn Val Lys Ile Thr Val  
180 185 190

Asn Gly Gln Thr Val Arg Tyr Lys Cys Asn Cys Gly Gly Ser Asn Glu  
195 200 205

Gly Leu Thr Thr Thr Asp Lys Val Ile Asn Asn Cys Lys Val Asp Gln  
210 215 220

Cys His Ala Ala Val Thr Asn Tyr Lys Lys Trp Gln Tyr Asn Ser Pro  
225 230 235 240

Leu Val Pro Arg Asn Ala Glu Leu Gly Asp Arg Lys Gly Lys Ile His  
245 250 255

Ile Pro Phe Pro Leu Ala Asn Val Thr Cys Arg Val Pro Lys Ala Arg  
260 265 270

Asn Pro Thr Val Thr Tyr Gly Lys Asn Gln Val Ile Met Leu Leu Tyr  
275 280 285

Pro Asp His Pro Thr Leu Leu Ser Tyr Arg Asn Met Gly Glu Glu Pro  
 290 295 300

Asn Tyr Gln Glu Glu Trp Val Met His Lys Lys Glu Val Val Leu Thr  
 305 310 315 320

Val Pro Thr Glu Gly Leu Glu Val Thr Trp Gly Asn Asn Glu Pro Tyr  
 325 330 335

Lys Tyr Trp Pro Gln Leu Ser Thr Asn Gly Thr Ala His Gly His Pro  
 340 345 350

His Glu Ile Ile Leu Tyr Tyr Glu Leu Tyr Pro Thr Met Thr Val  
 355 360 365

Val Val Val Ser Val Ala Thr Phe Ile Leu Leu Ser Met Val Gly Met  
 370 375 380

Ala Ala Gly Met Cys Met Cys Ala Arg Arg Arg Cys Ile Thr Pro Tyr  
 385 390 395 400

Glu Leu Thr Pro Gly Ala Thr Val Pro Phe Leu Leu Ser Leu Ile Cys  
 405 410 415

Cys Ile Arg Thr Ala Lys Ala  
 420

<210> 8  
 <211> 27  
 <212> ADN  
 <213> Trình tự nhân tạo

<220>  
 <223> mồi

<400> 8  
 ttaggatccg atggctgcgt gagacac

27

<210> 9  
 <211> 29  
 <212> ADN  
 <213> Trình tự nhân tạo

<220>

<223> mồi

<400> 9  
taactcgagc cgtcaggct gttgaacat

29

<210> 10  
<211> 28  
<212> ADN  
<213> Trình tự nhân tạo

<220>  
<223> mồi

<400> 10  
ttaggatcct accaccaggc gattaaag

28

<210> 11  
<211> 29  
<212> ADN  
<213> Trình tự nhân tạo

<220>  
<223> mồi

<400> 11  
taactcgagc tttgccact tactgaagg

29

<210> 12  
<211> 27  
<212> ADN  
<213> Trình tự nhân tạo

<220>  
<223> mồi

<400> 12  
ttaggatcct gctacagaag tcacgcc

27

<210> 13  
<211> 26  
<212> ADN  
<213> Trình tự nhân tạo

<220>  
<223> mồi

<400> 13  
taactcgagg ccaaagcgtg aatcag

26

<210> 14		
<211> 29		
<212> ADN		
<213> Trình tự nhân tạo		
<220>		
<223> mồi		
<400> 14		
ttaggatcca acagcttgag gacagagcg		29
<210> 15		
<211> 28		
<212> ADN		
<213> Trình tự nhân tạo		
<220>		
<223> mồi		
<400> 15		
taactcggac tctgtctcat cacgtcgg		28
<210> 16		
<211> 32		
<212> ADN		
<213> Trình tự nhân tạo		
<220>		
<223> mồi		
<400> 16		
ttaggatcca aattgcagtc ataggagtct tc		32
<210> 17		
<211> 29		
<212> ADN		
<213> Trình tự nhân tạo		
<220>		
<223> mồi		
<400> 17		
taactcggaga gtacgttgac gtgctctga		29
<210> 18		
<211> 29		
<212> ADN		
<213> Trình tự nhân tạo		
<220>		

<223> mồi

<400> 18

ttaggatccg tgggttaaac aactgcaaa

29

<210> 19

<211> 33

<212> ADN

<213> Trình tự nhân tạo

<220>

<223> mồi

<400> 19

taactcgagg gttaaagtct tctatcctcc tgg

33

<210> 20

<211> 31

<212> ADN

<213> Trình tự nhân tạo

<220>

<223> mồi

<400> 20

ttaggatccg gataaccact gggataatag g

31

<210> 21

<211> 30

<212> ADN

<213> Trình tự nhân tạo

<220>

<223> mồi

<400> 21

taactcgaga gttgtgaaat tccttctgcc

30

<210> 22

<211> 29

<212> ADN

<213> Trình tự nhân tạo

<220>

<223> mồi

<400> 22

ttaggatccc gcagatagaa ccagtgaac

29

<210> 23		
<211> 28		
<212> ADN		
<213> Trình tự nhân tạo		
<220>		
<223> mồi		
<400> 23		
taactcgagc agcagctcta cttgggtc		28
<210> 24		
<211> 27		
<212> ADN		
<213> Trình tự nhân tạo		
<220>		
<223> mồi		
<400> 24		
ttaggatcca ggagggaaag acaggct		27
<210> 25		
<211> 25		
<212> ADN		
<213> Trình tự nhân tạo		
<220>		
<223> mồi		
<400> 25		
taactcgagc cctcgcccttc ttctg		25
<210> 26		
<211> 32		
<212> ADN		
<213> Trình tự nhân tạo		
<220>		
<223> mồi		
<400> 26		
ttaggatccc aaaatagaag gagtgcaaaa ag		32
<210> 27		
<211> 35		
<212> ADN		
<213> Trình tự nhân tạo		
<220>		

<223> mồi

<400> 27  
taactcgagc ctggagtttc ttaagtaata gttgc 35

<210> 28  
<211> 27  
<212> ADN  
<213> Trình tự nhân tạo

<220>  
<223> mồi

<400> 28  
ttaggatcca ccgggtccagg tcattta 27

<210> 29  
<211> 27  
<212> ADN  
<213> Trình tự nhân tạo

<220>  
<223> mồi

<400> 29  
taactcgagg cagcaaattc ttcccag 27

<210> 30  
<211> 30  
<212> ADN  
<213> Trình tự nhân tạo

<220>  
<223> mồi

<400> 30  
ttaggatccc cattccagaa cacactacag 30

<210> 31  
<211> 29  
<212> ADN  
<213> Trình tự nhân tạo

<220>  
<223> mồi

<400> 31  
taactcgaga tacctgattt catcatggc 29

<210> 32		
<211> 30		
<212> ADN		
<213> Trình tự nhân tạo		
<220>		
<223> mồi		
<400> 32		
ttaggatccc ctttgataag agccaagatg		30
<210> 33		
<211> 30		
<212> ADN		
<213> Trình tự nhân tạo		
<220>		
<223> mồi		
<400> 33		
taactcgagt acaaagttat gacgggtcct		30
<210> 34		
<211> 28		
<212> ADN		
<213> Trình tự nhân tạo		
<220>		
<223> mồi		
<400> 34		
ttaggatccc aacgaacagg gctaattg		28
<210> 35		
<211> 26		
<212> ADN		
<213> Trình tự nhân tạo		
<220>		
<223> mồi		
<400> 35		
taactcgagg accgcttaaa ggccag		26
<210> 36		
<211> 29		
<212> ADN		
<213> Trình tự nhân tạo		
<220>		

<223> mồi

<400> 36

ttaggatccg tgcataaaa tcgaaaatg

29

<210> 37

<211> 31

<212> ADN

<213> Trình tự nhân tạo

<220>

<223> mồi

<400> 37

taactcgagt ggtcttgtgg ctttatagac a

31

<210> 38

<211> 27

<212> ADN

<213> Trình tự nhân tạo

<220>

<223> mồi

<400> 38

ttaggatcca accggaggaa accctac

27

<210> 39

<211> 25

<212> ADN

<213> Trình tự nhân tạo

<220>

<223> mồi

<400> 39

taactcgagg taccgcacccg tctgg

25

<210> 40

<211> 27

<212> ADN

<213> Trình tự nhân tạo

<220>

<223> mồi

<400> 40

ttaggatcca gctacccttgc agcacgt

27

<210> 41  
<211> 24  
<212> ADN  
<213> Trình tự nhân tạo

<220>  
<223> mồi

<400> 41  
taactcgagc ccaccatcga cagg 24

<210> 42  
<211> 29  
<212> ADN  
<213> Trình tự nhân tạo

<220>  
<223> mồi

<400> 42  
ttaggatccc gagccgtata agtattggc 29

<210> 43  
<211> 27  
<212> ADN  
<213> Trình tự nhân tạo

<220>  
<223> mồi

<400> 43  
taactcgagc gccgggtgaag accttac 27

<210> 44  
<211> 32  
<212> ADN  
<213> Trình tự nhân tạo

<220>  
<223> mồi

<400> 44  
ttaggatcca ctactgtcag tcactttgga gc 32

<210> 45  
<211> 29  
<212> ADN  
<213> Trình tự nhân tạo

<220>

<223> mồi

<400> 45  
taactcgagt accgggtttg ttgctattt

29

<210> 46  
<211> 30  
<212> ADN  
<213> Trình tự nhân tạo

<220>  
<223> mồi

<400> 46  
ttaggatccc acaactggta ctgcagagac

30

<210> 47  
<211> 30  
<212> ADN  
<213> Trình tự nhân tạo

<220>  
<223> mồi

<400> 47  
taactcgagg cgttagccctt tgatctata

30

<210> 48  
<211> 26  
<212> ADN  
<213> Trình tự nhân tạo

<220>  
<223> mồi

<400> 48  
ttaggatccg gtgctatgcg tgtcgt

26

<210> 49  
<211> 29  
<212> ADN  
<213> Trình tự nhân tạo

<220>  
<223> mồi

<400> 49  
taactcgaga tctcctacgt ccctgtggg

29